

EXPERTISE DES MATERIAUX DE LA FUTURE CARRIERE DE LA RAVINE DU TROU A LA REUNION

Rapport phase A



Expertise des matériaux de la future carrière de la Ravine du Trou pour la Nouvelle Route du Littoral à la Réunion

Rapport phase A

Historique des versions du document

Version	Date	Commentaire
V0	14/12/2016	Version provisoire trame du rapport – note technique des modélisations
V1	09/01/2017	Version finale des modélisations (phase A de l'étude) sans la démonstration de l'exposition des matériaux 0/300mm (amortissement de l'onde harmonique dans l'ouvrage)

Affaire suivie par

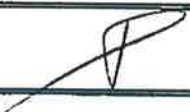
Valéry LE TURDU - DLRCA – Infrastructures Durables et Matériaux / Gestion Durable des Ressources
Tél. : 02 41 79 13 09
Courriel : valery.le-turdu@cerema.fr
CEREMA Ouest

Références

N° d'affaire : C16OA0356

Maître d'Ouvrage : SCPR (Monsieur Sébastien LANGLOIS) et COLAS (Monsieur Jean-Luc GAUTIER)

Devis n° D16OA0356-1 du 05/10/2016

Rapport	Nom	Date	Visa
Établi par	Valéry LE TURDU	10/01/2017	
Contrôlé par	Sébastien BARLIER et Nicolas ROUXEL	10/01/2017	
Validé par	René-Henri MILIN	10/01/2017	

SOMMAIRE

1.	INTRODUCTION.....	4
2.	NOTE TECHNIQUE SUR L'APPLICATION DES MODELES DE DEGRADATION EN SERVICE DUE A L'USURE.....	5
2.1.	Méthode d'évaluation globale de la qualité de l'enrochement : paramètre AQD.....	8
2.2.	Les différentes caractéristiques (roche, localisation du site de l'ouvrage et enrochement) et leurs estimations.....	11
2.3.	Les différents modèles de dégradation en service due à l'usure et leurs représentations graphiques.....	14
2.3.1.	Le modèle M _{DE} et sa représentation graphique.....	15
2.3.2.	Le modèle AQD et sa représentation graphique.....	17
2.3.3.	Discussion à propos des modèles de dégradation en service due à l'usure suivant les deux approches MDE et AQD	17
3.	DECLINAISON DES MODELES DE DEGRADATION EN SERVICE DUE A L'USURE SUR LES MATERIEUX DE LA FUTURE CARRIERE DE LA RAVINE DU TROU A LA REUNION	19
3.1.	Matériaux LMB 1/500 kg.....	19
3.1.1.	Matériaux LMB 1/500 kg, influence des paramètres Bn, Cs et IC sur la dégradation en service due à l'usure.....	19
3.1.2.	Matériaux LMB 1/500 kg influence de la hauteur significative de la houle pour des périodes de retour 10 ans et 100 ans sur la dégradation en service due à l'usure.	22
3.1.3.	Matériaux LMB 1/500 kg influence de la zone de l'ouvrage.....	23
3.1.4.	Synthèse des matériaux LMB 1/500 kg	23
3.2.	Matériaux HMA 200/1000 kg.	25
3.2.1.	Matériaux HMA 200/1000 kg influence des paramètres Bn, Cs et IC sur la dégradation en service due à l'usure.....	25
3.2.2.	Matériaux HMA 200/1000 kg influence de la zone de l'ouvrage.....	25
3.2.3.	Synthèse des matériaux HMA 200/1000 kg.	26
3.3.	Matériaux CP 0/300 mm.	28
3.3.1.	Matériaux CP 0/300 mm influence des paramètres Bn, Cs et IC sur la dégradation en service due à l'usure.....	28
3.3.2.	Cas A - LA = 35 et M _{DE} = 30.	28
3.3.3.	Cas B - LA = 45 et MDE = 45.	28
3.3.4.	Synthèse des matériaux CP 0/300 mm.	29
4.	CONCLUSIONS.....	31

1. INTRODUCTION

La société de Concassage et de Préfabrication de la Réunion (SCPR filiale du groupe COLAS), a sollicité le CEREMA Ouest afin qu'il puisse apporter une expertise sur les matériaux dédiés au projet de la Nouvelle Route du Littoral (NRL) issus du site de la future carrière de la Ravine du Trou.

Cette expertise a fait l'objet d'une proposition technique et financière décomposée en trois phases distinctes :

- La phase A est principalement axée sur la modélisation de l'usure des matériaux LMB1/500 kg, HMA 200/1000 kg et CP0/300 mm en fonction des paramètres de dimensionnement tels que la hauteur significative de houle, les essais sur les matériaux, l'agressivité des agents climatiques.
- La phase B consiste à réaliser des essais sur des matériaux prélevés par carottage en différents endroits du site conformément aux normes en vigueur afin de pouvoir prendre en considération ces résultats d'essais dans les modélisations.
- La phase C est, quant à elle, dédiée à la remise d'un avis technique concernant le contenu de l'étude de gisement de la future carrière de la Ravine du Trou.

Le présent rapport rend compte de la phase A à l'exception de la vérification de l'exposition des matériaux du cœur de digue qui doit être complétée par une simulation des amortissements de houle. La phase B fait l'objet d'un rapport séparé. Enfin la phase C pourra être menée dans une phase ultérieure.

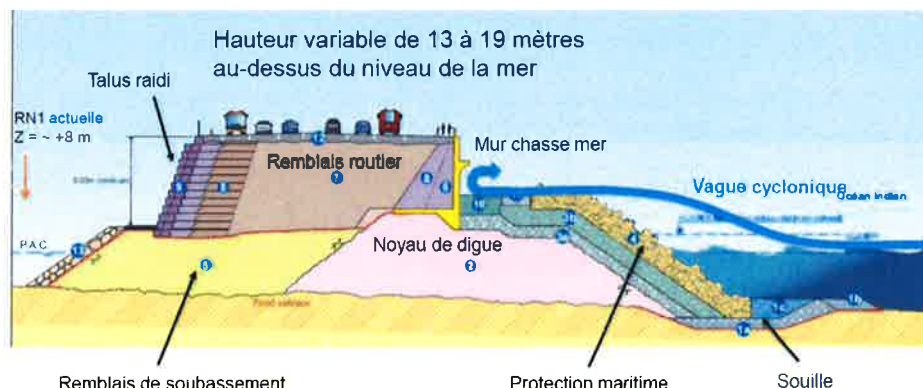


Figure 0 : Coupe digue NRL

Nb : Les expositions ne tiennent pas compte des ouvrages routiers supportés par la digue, ce qui est une hypothèse défavorable et va de ce point de vue dans le sens de la sécurité.

Inversement, les interactions entre ces ouvrages routiers et la digue ne sont pas pris en compte, notamment pour l'évaluation de l'impact des tassements.

2. NOTE TECHNIQUE SUR L'APPLICATION DES MODELES DE DEGRADATION EN SERVICE DUE A L'USURE

Cette note technique présente comment les fiches de synthèse de durabilité ont été élaborées en prenant en compte la section 3.6.5 du chapitre 3 du Rock Manual de 2009.

La note va principalement décrire la fiche de synthèse et expliquer les différents modules nécessaires à son élaboration. La figure 1 présente une fiche de synthèse telle qu'elle est éditée lors des simulations.

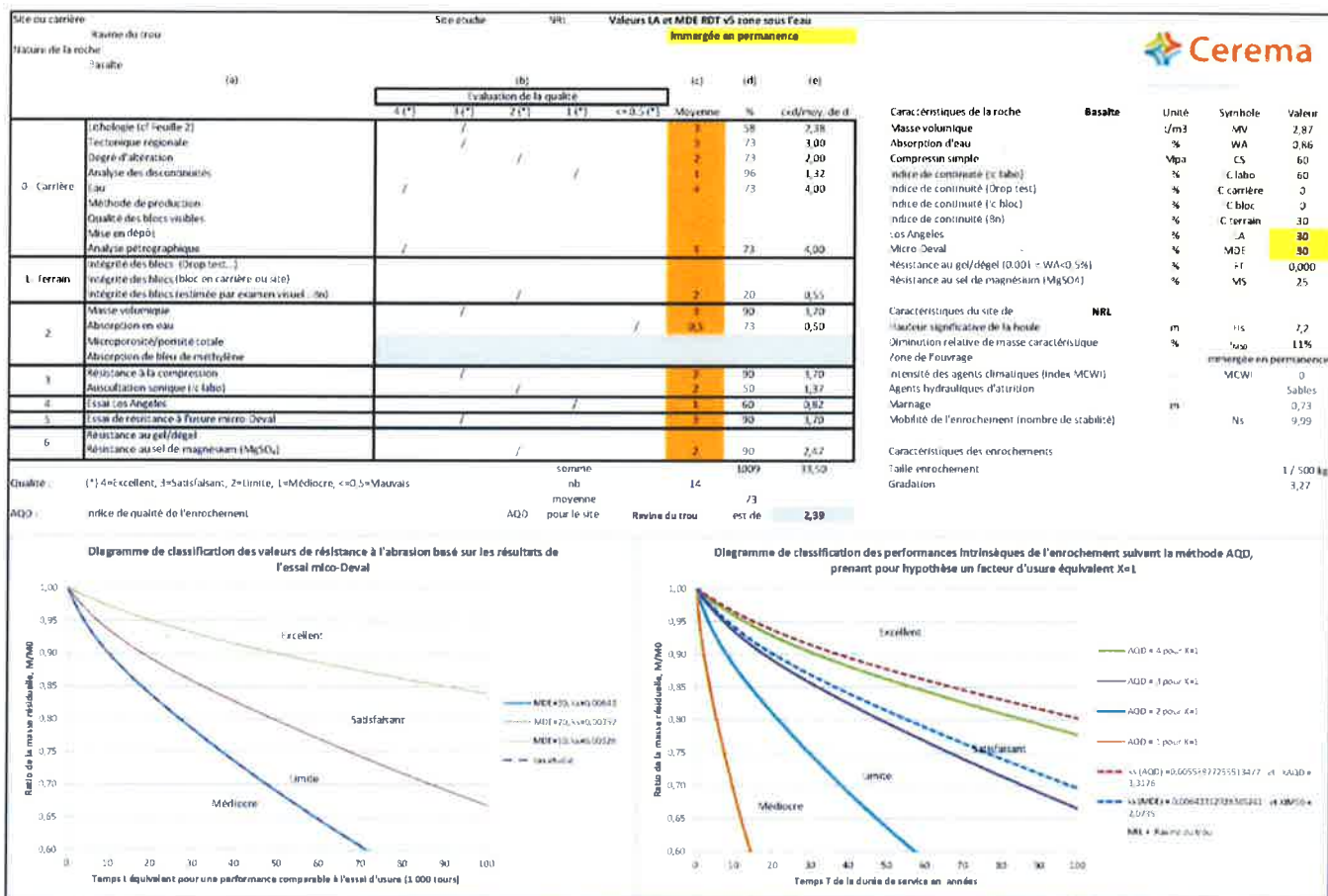


Figure 1 : Exemple d'une fiche de synthèse

La fiche de synthèse est organisée en quatre parties décomposées de la manière suivante :

- Un tableau encadré (figure 2 ci-dessous). Ce tableau est composé de sept grands thèmes décrivant de manière relativement exhaustive la carrière, les méthodes de production des enrochements et les résultats d'essais. De façon pragmatique, ce tableau traduit, via la description du gisement, la qualité de l'enrochement (AQD). Cet indice AQD sera décrit dans la deuxième partie de cette note.

		(a)	(b) Evaluation de la qualité					(c)	(d)	(e)
			4 (*)	3 (*)	2 (*)	1 (*)	<= 0,5 (*)	Moyenne	%	cxd/moy. de d
0 - Carrière	Lithologie (cf Feuille 2)		/					3	58	2,38
	Tectonique régionale		/					3	73	3,00
	Degré d'altération			/				2	73	2,00
	Analyse des discontinuités				/			1	96	1,32
	Eau		/					4	73	4,00
	Méthode de production									
	Qualité des blocs visibles									
1- Terrain	Mise en dépôt									
	Analyse pétrographique		/					4	73	4,00
	Intégrité des blocs (Drop test...)									
2	Intégrité des blocs (bloc en carrière ou site)			/				2	20	0,55
	Intégrité des blocs (estimée par examen visuel : 8n)							3	90	3,70
	Masse volumique		/					0,5	73	0,50
	Absorption en eau									
3	Microporosité/porosité totale									
	Absorption de bleu de méthylène									
	Résistance à la compression		/					3	90	3,70
4	Auscultation sonique (lc labo)			/				2	50	1,37
	Essai Los Angeles				/			1	60	0,82
5	Essai de résistance à l'usure micro-Deval		/					3	90	3,70
	Résistance au gel/dégel							2	90	2,47
6	Résistance au sel de magnésium ($MgSO_4$)		/							
	Qualité :	(*) 4=Excellent, 3=Satisfaisant, 2=Limite, 1=Médiocre, <=0,5=Mauvais					somme nb	14	1009	33,50
AQD :		Indice de qualité de l'enrochement			AQD	moyenne pour le site	Ravine du trou	73	est de	2,39

Figure 2 : Tableau présentant la carrière ou le gisement

- Trois listes de paramètres dont l'une est axée sur les caractéristiques de la roche, l'autre sur les paramètres de la localisation du site de l'ouvrage et la dernière reprend les caractéristiques des enrochements (voir figure 3).

Caractéristiques de la roche	Basalte	Unité	Symbol	Valeur
Massé volumique	t/m ³	MV	2,87	
Absorption d'eau	%	WA	0,86	
Compressin simple	Mpa	CS	60	
Indice de continuité (ic labo)	%	IC labo	60	
Indice de continuité (Drop test)	%	IC carrière	0	
Indice de continuité (ic bloc)	%	IC bloc	0	
Indice de continuité (Bn)	%	IC terrain	30	
Los Angeles	%	LA	30	
Micro-Deval	%	MDE	30	
Résistance au gel/dégel (0.001 = WA<0.5%)	%	FT	0,000	
Résistance au sel de magnésium (MgSO ₄)	%	MS	25	
Caractéristiques du site de l'ouvrage	NRL			
Hauteur significative de la houle	m	Hs	7,2	
Diminution relative de masse caractéristique	%	I _{NEO}	11%	
Zone de l'ouvrage			Immergée en permanence	
Intensité des agents climatiques (index MCWI)	-	MCWI	0	
Agents hydrauliques d'attrition	-		Sables	
Marnage	m		0,73	
Mobilité de l'enrochement (nombre de stabilité)	-	Ns	9,99	
Caractéristiques des enrochements				
Taille enrochement			1 / 500 kg	
Gradation			3,27	

Figure 3 : Listes des paramètres de la roche et de la situation de l'ouvrage

- Deux graphiques (figure 4 – graphique de dégradation en service due à l'usure).

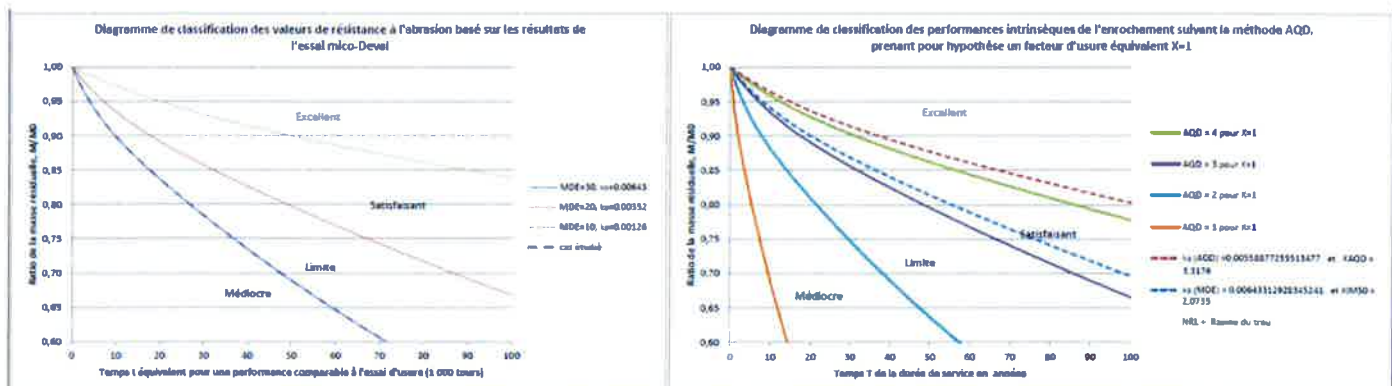


Figure 4 : graphiques de dégradation en service due à l'usure

Ces graphiques permettent de situer de façon visuelle, les performances d'un gisement en fonction du M_{DE} uniquement (graphique de gauche) et en fonction de l'AQD, du M_{DE} et de la situation du site (graphique de droite).

EXPERTISE DES MATERIAUX DE LA FUTURE CARRIERE DE LA RAVINE DU TROU A LA REUNION

Rapport phase A



2.1. Méthode d'évaluation globale de la qualité de l'enrochement : paramètre AQD.

La méthode consiste à évaluer trois catégories en affectant des notes (de 0,5 à 4) à différents paramètres. Les catégories sont la carrière, le terrain et les essais. Chacune des catégories est composée de plusieurs paramètres devant faire l'objet d'une notation. Le tableau ci-dessous présente le système de notation des paramètres.

4	Excellent
3	Satisfaisant
2	Limite
1	Médiocre
0,5	Mauvais

Tableau 1 : Notation des paramètres

La notation des paramètres peut se faire à la fois sur un aspect bibliographique et/ou documentaire et à la fois sur le terrain par des visites sur les carrières. Prenons, comme exemple, le paramètre de la tectonique régionale. Ce paramètre doit rendre compte de la probable (ou pas) fracturation du gisement par des failles majeures. Afin de répondre à cette question, l'étude détaillée de la carte géologique est bien évidemment la première méthode à mettre en œuvre. L'analyse de photographies aériennes (en stéréoscopie) peut être une solution complémentaire. Ces deux méthodes restent uniquement sur une approche documentaire. Il est aussi possible de déterminer la fracturation par un passage en carrière. La méthode de production des enrochements ainsi que la qualité visuelle des enrochements nécessitent obligatoirement une visite sur la carrière.

La figure 5 présente la méthodologie pour la cotation du paramètre "lithologie" dans la fiche de synthèse. Dans notre cas d'étude, la nature de la roche est un basalte de densité 2,87 t/m³. Cette roche doit être utilisée pour des enrochements situés en couche de filtre avec une blocostétrie LMB 1/500 kg se rapportant à la classe des enrochements moyens.

Tableau 3.2 - Evaluation générale de l'utilisation de roche non altérée dans les ouvrages hydrauliques

										C = Carapace	GE = Gros Enrochements
										F = Filtre	ME = Moyens Enrochements
										N = Noyau	CP = Petits Enrochements
							MV	Usage	Bloco		
							2,87	F	ME		
provient de la Feuille 2											

Les paramètres d'usage et de blocométrie ont été notés 4 (excellent). La note globale est calculée en multipliant la note de chaque paramètre par son coefficient de pondération en pourcentage. Dans notre cas :

$$\text{Note} = (2 \times 50\%) + (4 \times 30\%) + (4 \times 20\%) = 3.$$

MV	Usage	Bloco
----	-------	-------

Cette note est ensuite injectée dans la fiche de synthèse afin qu'elle fasse l'objet d'une nouvelle harmonisation par rapport à l'importance du critère avec : **essentielle** = plus de 90 ; **importante** = 80-90, **standard** = 70-80 ; **mineur** = 50-70 (colonne (d) en %).

Le tableau 3 ci-dessous, est fortement inspiré du tableau 3.12 du Rock Manual qui présente un guide pour l'évaluation de la qualité et de la durabilité de l'enrochement à partir d'évaluations sur site et de mesures en laboratoire. Le tableau 3 décline les principaux paramètres ayant trait à la catégorie « carrière » afin de leur attribuer une note.

	Excellent	Satisfaisant	Limite	Médiocre
	4	3	2	1
Tectonique régionale	Contrainte faibles, absence de plis ou de failles	Contraintes modérées, éventuellement épisodes sans contraintes	Fortes contraintes, présence éventuelle de fractures parallèles au front, induites par une relaxation des contraintes	Très fortes contraintes; présence éventuelle de failles sur le front de taille; présence éventuelle d'écaillage de roche au mur
Degré d'altération	IA - roche inaltérée	IB - Altération minime (changement de couleur des surfaces principales)	II - Altération légère (changement de couleur présent sur la majeure partie du massif)	III - Altération modérée (moins de la moitié du massif est décomposée)
Analyse des discontinuités				
Eaux	Massif sec	Massif humide	Infiltration par les parois de la carrière	Ecoulement d'eau par les parois et accumulation au sol
Méthode de production	Pas d'abattage à l'explosif : par exemple pierre de taille	Tir spécial à rangée unique de trou; faible énergie de détonation, charge spécifique <0.2 kg/m ³ ; diamètre du sondage d' ~ 75mm	Tir classique avec de l'ANFO; charge spécifique de 0.2 à 0.4 kg/m ³ ; diamètre du sondage d' ~ 100mm	Tir pour granulats avec, comme sous-produit, des enrochements de grandes dimensions; charge spécifique > 0.4 kg/m ³

Qualité des blocs visibles	<5% des blocs ont un LT>3; 95% des blocs sont de degré d'altération IA, exempts de cavité et extrêmement résistant	5-10% des blocs ont un LT>3; 95% des blocs sont de degré d'altération IB ou mieux, denses ou à drainage libre mais résistant	10-15% des blocs ont un LT>3; 95% des blocs sont au moins de degré d'altération II, soit microporeux soit dotés de cavités vides, résistants	> 15% des blocs ont un LT>3; 95% des blocs sont au moins de degré d'altération III, argileux ou micacés
Mise en dépôt	Les blocs sont stockés durant 3 mois en cure et pour permettre la relaxation des contraintes	Les blocs sont stockés pendant 2 mois	Les blocs sont stockés pendant 1 mois	Les blocs récemment abattus sont transportés directement sur le site pour être mis en œuvre
Analyse pétrographique	Roche saine, cristalline et roche fortement consolidée et compacte	Roche cristalline dolomitique et modérément consolidée	Schistes, phyllites, craie, marnes et roches contenant des minéraux argileux ou de la pyrite ou roches faiblement cimentées	Roche altérée, brèches et conglomérats

Tableau 3 : Grille d'évaluation et de notation pour la catégorie carrière

Une fois que l'ensemble ou une partie des paramètres des trois catégories ont fait l'objet d'une notation et d'une harmonisation, il est possible de calculer l'AQD de l'enrochement provenant de cette carrière ou du gisement. Plus l'AQD se rapproche de la note de 4 plus sa qualité est excellente (et inversement).

Dans notre cas, l'AQD est de 2,39 pour la qualité de l'enrochement provenant du gisement ou de la carrière.

2.2. Les différentes caractéristiques (roche, localisation du site de l'ouvrage et enrochement) et leurs estimations.

Cette partie de la note sera principalement consacrée à la description des caractéristiques concernant la localisation du site de l'ouvrage. En effet, les caractéristiques de la roche ainsi que des enrochements sont respectivement connues par les essais (évalués dans la partie carrière) et par les caractéristiques granulométriques ou blocométriques des enrochements (avec des critères calculés comme par exemple la gradation de l'enrochement ($M_{85}/M_{15})^{1/3}$ ou le D_{n50}).

Les paramètres décrivant le site et son exposition sont importants car ils vont être utilisés pour caler les modèles de dégradation en service due à l'usure. Les paramètres sont au nombre de dix.

La liste ci-dessous décrit brièvement les dix paramètres (K_s et X_1 à X_9) où :

K_s = Résistance de la matrice rocheuse (M_{DE} ou AQD indice de qualité de l'enrochement).

X_1 = taille de l'enrochement (M_{50} en m).

X_2 = gradation ($(M_{85}/M_{15})^{1/3}$).

X_3 = forme initiale de l'enrochement (angulaire irrégulière à arrondie).

X_4 = énergie de la houle ou du courant (Hauteur significative de la houle H_s (m)).

X_5 = zone de l'ouvrage (intertidale... immergée).

X_6 = intensité des agents climatiques (gel, dégel, précipitations, températures extrêmes...).

X_7 = agents hydrauliques d'attrition (sable, sédiments...galets).

X_8 = concentration de l'attaque de la houle (en fonction de la pente du projet).

X_9 = mobilité de l'enrochement (calculé avec IM_{50} , H_s , D_{n50}).

La figure 6 présente une copie du tableau 3.14 du Rock Manual décrivant de manière détaillée les paramètres, leurs variations ainsi que leurs fiabilités.

Paramètre	Estimations de notation					Influence du paramètre $X_{\text{max}}/X_{\text{min}}$	Fidélité du calibrage *
k_v	Résistance de la matrice rocheuse Utiliser la valeur de M_{50} et le rapport : $k_v = 4.12 \cdot 10^{-6} M_{50}^{-1}$ ou la valeur d'AQD et le rapport : $k_v = 0.032 \text{ AQD}^{2.0}$					-500	Excellent
X_1	Taille Effect, obtenu par la formule $0.5(M_{50})^{1/3}$ (M_{50} en tonnes)					-10	Bonne
	M_{50}	15.0	8.0	1	0.1	0.01	
X_2	Gradation $(M_{50}/M_{12})^{1/2}$					-2.5	Satisfaisante
	Notation	1.23	1.00	0.50	0.23	0.11	
X_3	Forme initiale					-2	Satisfaisante
		Angulaire irrégulière	Blockiness élevé/équidimensionnelle	Semi-arrondie	Arrondie		
X_4	Notation	1.00	1.10	1.50	2.00	-10	Satisfaisante
	Énergie de la houle incidente ou du courant (Influence indépendamment de la taille de l'enrochement)						
X_5		Hauteur significative de la houle H_s (m)	> 8.0	4.0 - 8.0	< 4.0	-10	Satisfaisante
	Notation	Pour $\text{f}_{50} > 15\%$	0.3	1.0	2.0		
		Pour $\text{f}_{50} = 5.0\text{-}15.0\%$	0.5	1.3	2.3		
		Pour $\text{f}_{50} = 2.0\text{-}5.0\%$	0.7	1.8	2.8		
		Pour $\text{f}_{50} < 2\%$	1.0	2.0	3.0		
X_6	Notation	Avec la méthode AQD	0.7	1.6	2.6	-10	Bonne
	Zone de l'ouvrage						
X_7		intertidale	Supratidale / climat chaud	Supratidale / climat tempéré	immersion en permanence	-10	Bonne
	Notation	1.0	2.5	8	10		
X_8	Intensité des agents climatiques (Utiliser l'index MCWT de Lienhart – voir le Tableau 3.15)					-7	Bonne
	Index MCWT		< 100	100 - 300	300 - 600	-7	Bonne
	Notation	Pour $W = 2.0\%$	0.8	0.8	0.4		
		Pour $W = 0.5\text{-}2.0\%$	1.0	0.8	0.6		
		Pour $W < 0.5\%$	1.4	1.2	1.0		
X_9	Notation	Avec la méthode AQD	1.0	0.8	0.6	7.5	Médiocre
	Agents hydrauliques d'attrition						
X_{10}	Type de sédiment	galets	graviers	sable	limon	-	
	Notation	0.2	0.5	1.0	1.2		

Paramètre	Estimations de notation					Influence du paramètre $X_{\text{m}}/X_{\text{ref}}$	Fiabilité du calibrage *
X_3	Concentration de l'attaque de la houle					+2	Satisfaisant
	Méamage (m):	< 2.0	2.0 - 6.0	> 6.0			
	Notation pour un talus de pente 5/2 (ou plus raide)	1.0	1.2	1.5			
	Notation pour un talus de pente 3/1 (ou plus raide)	1.5	1.8	2.0			
X_9	Mobilité de l'enrochement					+20	Satisfaisant
	$H_s/(D_{\text{ref}})$	1 - 2.4	2.5 - 3.0	4 - 6.0	7 - 20		
	Notation	Pour $I_{\text{MDD}} > 15 \%$	1.5	0.8	0.3		
		Pour $I_{\text{MDD}} = 5.0 - 15.0 \%$	2.0	1.0	0.5		
		Pour $I_{\text{MDD}} = 2.0 - 5.0 \%$	2.0	1.5	1.0		
		Pour $I_{\text{MDD}} < 2 \%$	2.0	1.8	1.6		
Notation		Avec la méthode AQD	1.5	1.3	1.1	0.7	

* Le calibrage des paramètres d'évaluation présente une fiabilité variable, allant d'un raisonnement simple comprenant des observations qualitatives sur l'influence des paramètres, effectuées sur le terrain (fiabilité médiocre) à des données de contrôle détaillées (excellente fiabilité).

Figure 6 : Tableau 3.14 extrait du Rock Manual

La caractérisation de ces différents paramètres permet d'établir un critère X qui sera pris en compte dans les modèles de dégradation en service due à l'usure décrits dans la partie suivante de la note. Pour information $X = X_1 X_2 X_3 X_4 X_5 X_6 X_7 X_8 X_9$.

2.3. Les différents modèles de dégradation en service due à l'usure et leurs représentations graphiques.

La modélisation des dégradations fait l'objet d'une section entière dans le Rock Manual. L'idée, ici, est de tenter de synthétiser la démarche suivie afin d'appliquer les modèles de prédiction de l'usure pour l'ouvrage considéré.

Il existe deux approches différentes : la première approche est basée préférentiellement sur la notion de MDE (essai normalisé d'usure des granulats) et la deuxième approche est quant à elle axée sur la prise en compte de l'agressivité de l'environnement ainsi que l'application du dimensionnement.

2.3.1. Le modèle M_{DE} et sa représentation graphique.

La première étape consiste à transformer la valeur de l'essai M_{DE} en k_s où k_s (coefficients adimensionnel) représente la résistance de la matrice rocheuse avec :

$$K_s = 4.12 \cdot 10^{-5} M_{DE}^{1.485}$$

La seconde étape consiste à tracer la courbe du ratio de masse résiduelle M/M_0 en fonction du temps équivalent t (milliers de tours de broyeur) suivant l'équation ci-dessous :

$$M/M_0 = 0.05 \exp(-30 k_s t) + 0.95 \exp(-k_s t)$$

Où

M = masse résiduelle après le temps équivalent t (t) ou (kg).

M_0 = masse initiale (t) ou (kg).

La représentation graphique de cette équation est fournie dans la figure 7 ci-dessous qui fait partie intégrante de la fiche de synthèse (graphique en bas à gauche).

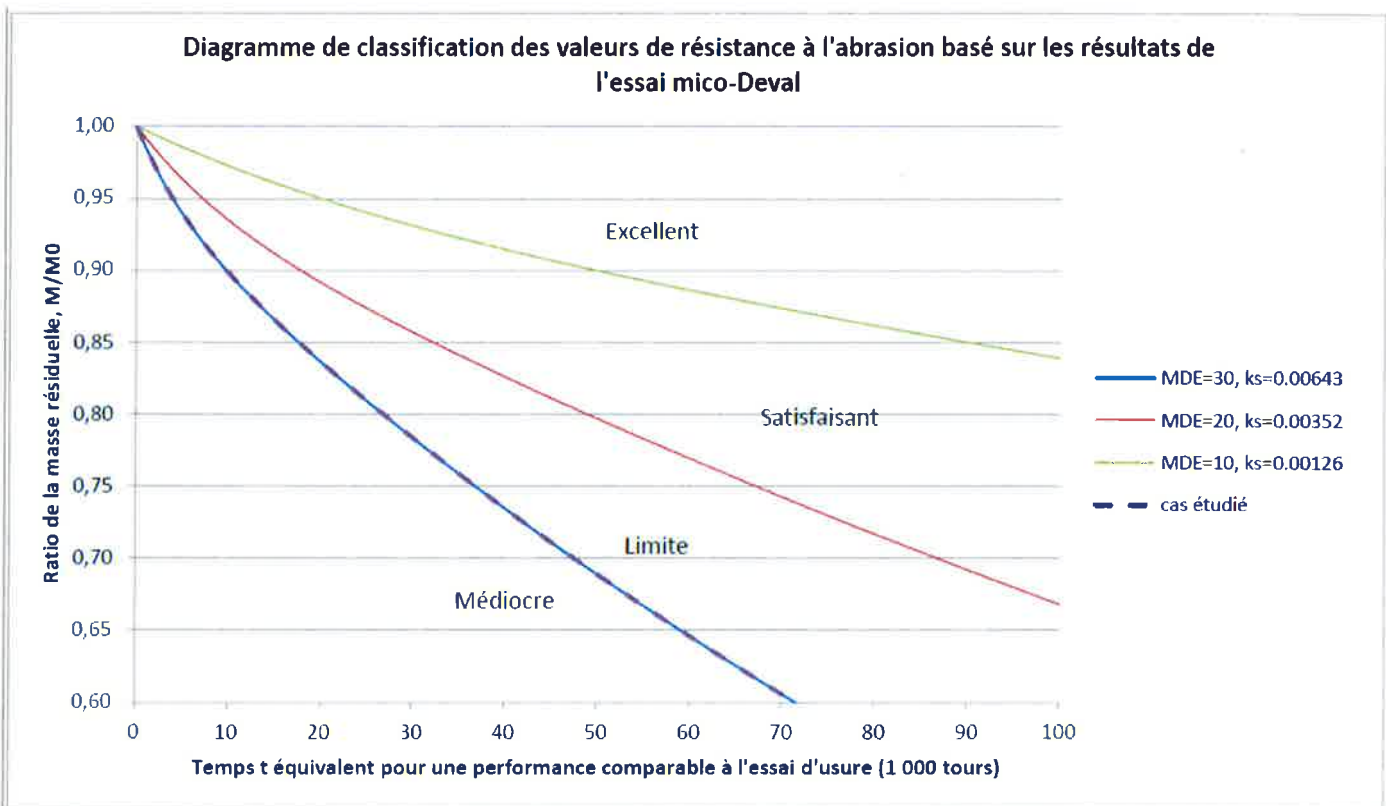


Figure 7 : Ratio de la masse résiduelle en fonction du temps équivalent t (milliers de tours de broyeur)

La courbe étudiée se situe sur exactement sur la courbe $M_{DE} = 20$, $k_s = 0,00352$ qui correspond à la séparation des domaines "Médiocre" et "Limite".

La dernière étape consiste à décliner ce modèle en fonction de l'agressivité du site afin de pouvoir évaluer une durée de service en années. L'équation permettant le tracé de cette courbe est la suivante :

$$M/M_0 = 0.05\exp[-30 (k_s / X)T] + 0.95\exp[(-k_s / X)T]$$

Où

M = masse résiduelle après un temps T .

M_0 = masse initiale.

T = années de vie de l'ouvrage.

X = facteur d'usure équivalent (détermination de l'agressivité du site) ici XIM_{50} .

La courbe représentant ce modèle est visible sur la figure 8 ci-dessous.

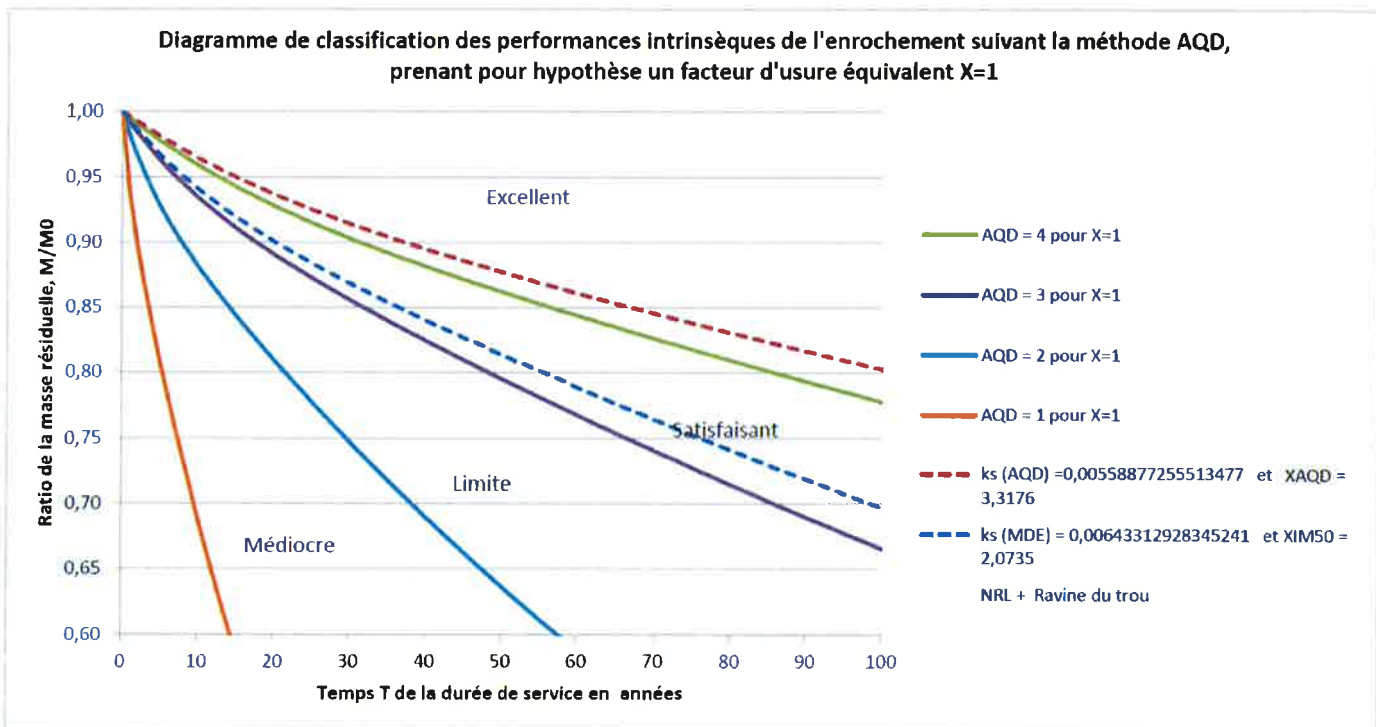


Figure 8 : Diagramme de classification des performances intrinsèques de l'enrochement suivant le modèle M_{DE} ; X en pointillé bleu

La courbe étudiée est dans le domaine "satisfaisant" et représentée par des pointillés bleus.

2.3.2. Le modèle AQD et sa représentation graphique.

Ce modèle prend en compte l'AQD déterminé lors de la phase de notation des paramètres des trois grandes catégories (carrière, terrain et essais). Cette méthode tente d'évaluer la baisse des performances à l'aide d'un coefficient représentant à la fois l'agressivité et l'application du dimensionnement. Ce coefficient est donc global et contrairement au premier modèle indépendant de la propriété intrinsèque globale déterminée par la méthode MDE.

De la même manière que le premier modèle, l'étape 1 consiste à convertir l'AQD en k_s à l'aide de l'équation suivante :

$$K_s = 0.032 \text{ AQD}^{-2.0}$$

Les courbes de références AQD (de 1 à 4) sont représentées sur la figure 8 (ci-dessus) avec un facteur d'usure équivalent $X = 1$.

La courbe $k_s ; XAqd$ est tracée selon le même modèle (exponentielle négative) prenant en compte l'agressivité du site afin de pouvoir évaluer une durée de service en années. L'équation permettant le tracé de cette courbe est la suivante :

$$\frac{M}{M_0} = 0.05\exp[-30 (k_s / X)T] + 0.95\exp[(-k_s / X)T]$$

Où

M = masse résiduelle après un temps T .

M_0 = masse initiale.

T = années de vie de l'ouvrage.

X = facteur d'usure équivalent (détermination de l'agressivité du site) ici XAqd.

La courbe étudiée est dans le domaine "excellent" et représentée par des pointillés rouges.

2.3.3. Discussion à propos des modèles de dégradation en service due à l'usure suivant les deux approches MDE et AQD

Il semblerait que le modèle basé sur l'essai M_{DE} soit probablement mieux calibré que le modèle AQD (du fait de retour d'expérience des essais M_{DE} sur granulats). Néanmoins le modèle AQD présente l'avantage de prendre en compte plus de facteurs et notamment de pouvoir par le biais d'évaluations de paramètres (carrière, gisement et essais) fournir ou tenter de fournir un indicateur de la qualité de l'enrochement. De plus, ces modèles basés sur la prise en compte de l'agressivité du site permettent d'appréhender l'usure des matériaux en fonction des conditions extérieures (et pas uniquement au travers d'un essai).

Le CEREMA attire l'attention sur le fait que les modèles fournissent des ordres de grandeur de dégradation et qu'il est difficile de vérifier avec exactitude les durées prédictes. L'intérêt de ces modèles est de pouvoir comparer de façon relative les solutions techniques proposées ainsi que de pouvoir appréhender l'influence de la variation d'un ou plusieurs paramètres sur le résultat de durabilité de l'ouvrage.

Enfin la durabilité des matériaux dans l'ouvrage dépend bien évidemment de leurs performances mais aussi de leur position dans l'ouvrage. En effet, dans la section 3.6.2 le Rock Manual distingue bien les caractéristiques des matériaux en carapace ou en sous-couche de celles des matériaux du noyau. Ainsi il est noté que "*les matériaux de qualité médiocre présentant une faible résistance à l'altération peuvent résister parfaitement dans les environnements modérés, avec une exposition réduite aux conditions climatiques, et en présence d'agents de dégradation quasiment inexistant, par exemple dans la partie du noyau d'une digue imperméable immergée en permanence*".

3. DECLINAISON DES MODELES DE DEGRADATION EN SERVICE DUE A L'USURE SUR LES MATERIEUX DE LA FUTURE CARRIERE DE LA RAVINE DU TROU A LA REUNION

Une déclinaison des modèles a été effectuée pour chacun des matériaux suivants : LMB 1/500kg (noyau), HMA 200/1000kg (sous-couche de carapace) et CP 0/300 mm (remblais de soubassement).

3.1. Matériaux LMB 1/500 kg.

3.1.1. Matériaux LMB 1/500 kg, influence des paramètres Bn, Cs et IC sur la dégradation en service due à l'usure.

Concernant les matériaux LMB 1/500kg, les hypothèses de travail et les paramètres de calage des modèles sont les suivants :

Pour la catégorie carrière :

- La présence d'eau et la pétrographie sont classées "excellent".
- La lithologie et la tectonique régionale sont classées "satisfaisant".
- Le degré d'altération est classé "limite".
- L'analyse des discontinuités est classée "médiocre".

Pour la catégorie essais :

- Masse volumique de la roche = 2,87 t/m³ (Colas) à 2,90 t/m³ (CEREMA).
- Coefficient d'absorption d'eau = 0,87 % (Colas) et 0,90 % (CEREMA).
- Los Angeles et M_{DE} sont pris à 30 et 30 (spécifications du CCTP).
- Résistance à la cristallisation du sel de magnésium = 25 % (COLAS).

Pour la catégorie localisation du site et son environnement :

- La hauteur significative de la houle H_s (m) est fixée à 2,00 m. Cette valeur est déduite de la bouée N° 97404 - Pointe du Gouffre (voir figure 9 ci-dessous).



97404 - Pointe du Gouffre

Caractéristiques générales

Période de mesure :

du 15/05/2000 au 02/01/2013

Durée effective : 10.01 ans

Latitude : 20°51,830'S

Longitude : 55°23,750'E

Profondeur : 31 m

Distance à la côte : 1.8 km

Marnage VEM : 0.65 m

Matériel :

Type : Bouée

Réf : Datawell Non Directionnelle



CEREMA / DTecEMF / DI / IE / IHS / PDH

07/02/14

Climatologie moyenne

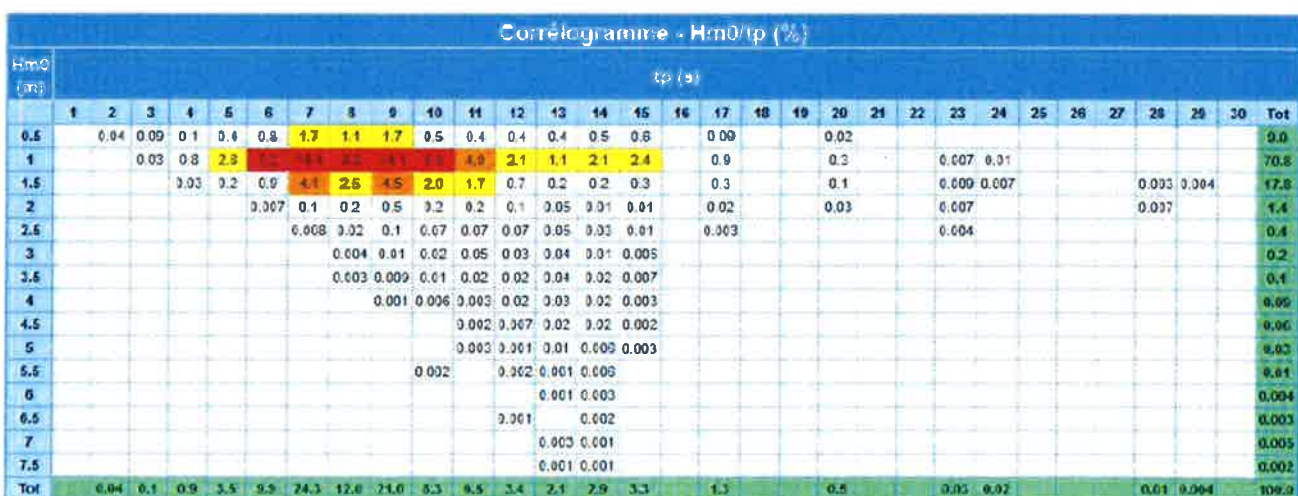


Figure 9 : Localisation de la bouée 97404 – Pointe du Gouffre et corrélogramme entre H_m0 et T_p en (s)

- Le corrélogramme montre que 70 % des hauteurs H_{m0} sont de l'ordre de 1 m. Les hauteurs de houle de 2 mètres ne représentent qu'un 1,4 %. Cette valeur pourra être augmentée à 7,2 mètres avec une période T_p de 13,4 secondes pour une houle de période de retour à 10 ans.
- La zone de l'ouvrage : intertidale, supratidale ou immergée. Dans le cas de ces matériaux, des modélisations ont été effectuées en zones intertidale et immergée.
- L'intensité des agents climatiques calculée est inférieure à 100.
- Les agents hydrauliques d'attrition sont des sédiments de type "sable" selon les sondages de la société FUGRO ayant effectué les études de reconnaissance géotechnique.
- La concentration de l'attaque de la houle en fonction de la hauteur de marnage et de la pente de l'ouvrage.

Pour les enrochements :

- La diminution relative de la blocmétrie est prise à 11 %.
- La forme initiale de l'enrochement est équidimensionnelle (et non pas arrondie).
- La taille de l'enrochement est appréhendée par le calcul de la masse M_{50} (t).
- La gradation de l'enrochement est calculée à partir des M_{15} et M_{85} (t).
- La mobilité de l'enrochement est calculée en prenant en considération la masse M_{50} afin de calculer le D_{n50} , le delta entre la masse volumique apparente et la masse volumique de l'eau salée ainsi que la hauteur significative H_s .

Les modélisations sont généralement réalisées de la manière suivante :

- 1 - Calage des essais pris en compte COLAS ou CEREMA.
- 2 - Calcul de l'AQD de la carrière (évolution possible par la variation de paramètres).
- 3 - Calage des paramètres de l'environnement du projet.
- 4 - Variation du paramètre à évaluer. Les paramètres évalués seront par ordre le B_n (représente un pourcentage de blocs cassés lors d'essais ou d'observations sur le terrain), la CS (compression simple) et l'IC (indice de continuité). Le B_n oscillera entre $B_n = 30$ et $B_n = 10$ en passant par $B_n = 15$. La compression simple variera de CS = 60 MPa à CS = 80 MPa et CS = 120 MPa. Enfin l'IC sera évalué pour des valeurs de 60, 70 et 80 %.

L'ensemble des modélisations est présenté en annexe 1 (formules LMB 1/500 kg-F1 à F12).

Les simulations montrent que la tendance à la dégradation des matériaux est relativement faible car les courbes des $ks(AQD)$ et $ks(M_{DE})$ sont systématiquement positionnées dans le domaine "excellent" pour une mise en œuvre dans une zone totalement immergée. L'influence de chacun des paramètres est décrite ci-dessous :

- B_n : pas d'impact (85% de masse résiduelle à 100 ans).
- CS : 1% de variation (86 à 87% de masse résiduelle à 100 ans).
- IC : 2% de variation (85 à 87% de masse résiduelle à 100 ans).
- La combinaison des extrêmes B_n , CS et IC : 2% de variation (86 à 88 % de masse résiduelle à 100 ans).

3.1.2. Matériaux LMB 1/500 kg influence de la hauteur significative de la houle pour des périodes de retour 10 ans et 100 ans sur la dégradation en service due à l'usure.

Pour tester la sensibilité du modèle à la hauteur de houle retenue en donnée d'entrée, des modélisations ont été faites avec les critères suivants :

- $LA = 30$, $MDE = 30$, $B_n = 30$, $CS = 60 \text{ MPa}$ et $IC = 60$
- $H_s = 7,2 \text{ m}$ pour périodes de retour de 10 ans et $H_s = 12,5 \text{ m}$ pour une période de retour de 100 ans.

Il faut bien comprendre que les résultats des modélisations ci-dessous ne correspondent pas à des sollicitations réalistes. En effet, il est improbable qu'un ouvrage soit soumis à des hauteurs significatives de la houle de 7,2 ou 12,5 m durant des périodes respectives de 10 ans ou 100 ans.

Par comparaison avec la simulation F10 (mêmes caractéristiques intrinsèques de la roche et hauteur de houle de 2 mètres), la simulation F13 montre que pour une exposition continue à des conditions de tempête cyclonique décennale, les performances des matériaux LMB 1/500 kg seraient comprises entre les domaines "médiocre" et "satisfaisant". Pour une exposition aux conditions centennales (simulation F14), la diminution des performances est notable et atteint les domaines "inférieur à médiocre" à "limite".

3.1.3. Matériaux LMB 1/500 kg influence de la zone de l'ouvrage.

Les modélisations numérotées F15 et F16, en annexe 3, présentent les matériaux LMB 1/500 kg exposés en zone intertidale avec respectivement un $B_n = 30$, une $CS = 60 \text{ MPa}$ et un $IC = 60$ pour la simulation F15 et $B_n = 10$, $CS = 120 \text{ MPa}$ et $IC = 80$ pour la simulation F16.

Les simulations montrent qu'en zone intertidale, les performances des matériaux LMB 1/500 kg se situent dans les domaines "médiocres" avec des durées de service sensiblement comprises entre 25 et 50 ans (en moyenne) pour une perte de masse de 40 %. Il importe toutefois de noter que cette modélisation est réalisée sans prendre en compte l'effet protecteur de la carapace constituée d'acropodes et d'HMA et de la sous couche en HMA 200/1000 kg ni l'effet d'amortissement de l'onde harmonique (hauteur des vagues).

Dans ce contexte, les simulations montrent ici aussi un impact réduit de l'influence des paramètres B_n , CS et IC sur la durée de vie en service de l'ouvrage, soit 47 ans pour F15 et 55 ans pour F16 selon le modèle AQD et 26 ans dans les deux cas pour le modèle M_{DE}.

3.1.4. Synthèse des matériaux LMB 1/500 kg.

Le tableau 4 ci-dessous présente de manière synthétique l'ensemble des résultats des modélisations. Les paramètres qui varient sont de couleur rouge dans le tableau. Les résultats sont exprimés soit en pourcentage de masse résiduelle pour une durée de 100 ans ou en années de service pour une perte de masse de 40 % (coupure de l'axe horizontal des graphiques).

Matériaux LMB 1-500 kg

Influence des paramètres sur la dégradation en service due à l'usure

Fichiers	F1	F2	F3	F4	F5	F6	F7	F8	F9	F10	F11	F12	F13	F14	F15	F16
Essais	Colas	Cerema	Cerema													
AQD carrière	2,35	2,38	2,42	2,42	2,52	2,34	2,40	2,45	2,39	2,46	2,60	2,39	2,39	2,39	2,48	2,69
MV	2,87	2,87	2,87	2,87	2,87	2,87	2,87	2,87	2,87	2,87	2,87	2,87	2,87	2,87	2,9	2,9
W ₃	0,86	0,86	0,86	0,86	0,86	0,86	0,86	0,86	0,86	0,86	0,86	0,86	0,86	0,86	0,9	0,9
LA	30	30	30	30	30	30	30	30	30	30	30	30	30	30	30	30
MDE	30	30	30	30	30	30	30	30	30	30	30	30	30	30	30	30
Bn	30	15	10	60	80	120	60	70	80	60	60	60	60	60	30	10
CS															60	120
IC															60	80
Zone Ouvrage															inférieure	inférieure
Ks AQD	0,005779	0,005669	0,005669	0,005456	0,005456	0,005054	0,005836	0,005572	0,005326	0,005589	0,005282	0,00474	0,005589	0,005589	0,005199	0,004434
XAQD	5,3911	5,3911	5,3911	5,3911	5,3911	5,3911	5,3911	5,3911	5,3911	5,3911	5,3911	5,3911	5,3911	5,3911	5,3911	5,3911
Temps équiv (ans)															0,53911	0,53911
100 ans (M/M ₀)															47 ans	47 ans
Classe	85%	85%	85%	85%	85%	85%	85%	85%	85%	85%	85%	85%	85%	85%	85%	85%
Ks MDE	0,006433	0,006433	0,006433	0,006433	0,006433	0,006433	0,006433	0,006433	0,006433	0,006433	0,006433	0,006433	0,006433	0,006433	0,006433	0,006433
XIM50	3,6685	3,6685	3,6685	3,6685	3,6685	3,6685	3,6685	3,6685	3,6685	3,6685	3,6685	3,6685	3,6685	3,6685	0,36685	0,36685
Temps équiv (ans)															26 ans	26 ans
100 ans (M/M ₀)															6 ans	6 ans
Classe	80%	80%	80%	80%	80%	80%	80%	80%	80%	80%	80%	80%	80%	80%	Mediocre	Mediocre

Tableau 4 : résultats des modélisations pour les matériaux LMB 1/500 kg

3.2. Matériaux HMA 200/1000 kg.

3.2.1. Matériaux HMA 200/1000 kg influence des paramètres Bn, Cs et IC sur la dégradation en service due à l'usure.

La même procédure que pour les matériaux LMB 1/500 kg est déclinée pour les matériaux 200/1000 kg.

Les modélisations ci-dessous reprennent les mêmes conditions d'exposition et les mêmes variations de critères Bn, CS et IC.

La numérotation des modélisations suit elle aussi la même logique que la numérotation précédemment employée pour les LMB 1/500 kg.

L'ensemble des modélisations est présenté en annexe 4 (formules HMA 200/1000 kg-F1 à F12).

Les simulations montrent que la tendance à la dégradation des matériaux est relativement faible car les courbes des $ks(AQD)$ et $ks(MDE)$ sont systématiquement positionnées dans le domaine "excellent" pour une mise en œuvre dans une zone totalement immergée. L'influence de chacun des paramètres est décrite ci-dessous :

- Bn : pas d'impact (92 % de masse résiduelle à 100 ans).
- CS : 1% de variation (92 à 93 % de masse résiduelle à 100 ans).
- IC : 1% de variation (92 à 93 % de masse résiduelle à 100 ans).
- La combinaison des extrêmes Bn, CS et IC : 1% de variation (93 à 94 % de masse résiduelle à 100 ans).

3.2.2. Matériaux HMA 200/1000 kg influence de la zone de l'ouvrage.

Les modélisations numérotées F13 et F14, en annexe 5, présentent les matériaux HMA 200/1000 kg exposés en zone intertidale avec respectivement un $Bn = 30$, une $CS = 60 \text{ MPa}$ et un $IC = 60$ pour la simulation F13 et $Bn = 10$, $CS = 120 \text{ MPa}$ et $IC = 80$ pour la simulation F14.

Les simulations montrent qu'en zone intertidale, les performances des matériaux HMA 200/1000 kg se situent dans les domaines « limites » avec des masses résiduelles à 100 ans d'environ 60 à 65 %. Il importe toutefois de noter que cette modélisation est réalisée sans prendre en compte l'effet protecteur de la carapace constituée d'acropodes et d'HMA ni l'effet d'amortissement de l'onde harmonique (hauteur des vagues).

Dans ce contexte, les simulations montrent ici aussi un impact réduit de l'influence des paramètres Bn, CS et IC sur la masse résiduelle à 100 ans soit 63 % pour F13 et 67 % pour F14 selon le modèle AQD et 61 % dans les deux cas pour le modèle MDE.

3.2.3. Synthèse des matériaux HMA 200/1000 kg.

Le tableau 5 ci-dessous présente de manière synthétique l'ensemble des résultats des modélisations. Les paramètres qui varient sont de couleur rouge dans le tableau. Les résultats sont exprimés soit en pourcentage de masse résiduelle pour une durée de 100 ans ou en années de service pour une perte de masse de 40 % (coupure de l'axe horizontal des graphiques).

Matiériaux HMA 0,2 - 1 tonne

Influence des paramètres sur la dégradation en service due à l'usure

Fichiers Essais	F1 Colas	F2 Colas	F3 Colas	F4 Colas	F5 Colas	F6 Colas	F7 Colas	F8 Colas	F9 Colas	F10 Colas	F11 Colas	F12 Colas	F13 Cerema	F14 Cerema
AQD carrière	2,46	2,45	2,48	2,48	2,52	2,52	2,62	2,44	2,49	2,55	2,55	2,7	2,57	2,79
MV	2,87	2,87	2,87	2,87	2,87	2,87	2,87	2,87	2,87	2,87	2,87	2,87	2,90	2,90
Wa	0,86	0,86	0,86	0,86	0,86	0,86	0,86	0,86	0,86	0,86	0,86	0,86	0,9	0,9
LA														
MDE	20	20	20	20	20	20	20	20	20	20	20	20	20	20
Bn		30	15	10									30	10
CS													60	120
IC													60	80
Zone ouvrage	immergée	immergée	immergée	immergée	immergée									
Ks AQD	0,005274	0,005323	0,005219	0,005219	0,00505	0,00505	0,004668	0,004668	0,005392	0,005141	0,004908	0,004912	0,004396	0,004106
XAQD	11,8976	11,8976	11,8976	11,8976	11,8976	11,8976	11,8976	11,8976	11,8976	11,8976	11,8976	11,8976	11,8976	11,8976
Temps équiv (ans)														
100 ans (M/M0)	92%	92%	92%	92%	92%	92%	93%	92%	92%	93%	93%	94%	63%	67%
Classe	Excellent	Excellent	Excellent	Limité +	Limité / Satisfaisa									
Ks MDF	0,003523	0,003523	0,003523	0,003523	0,003523	0,003523	0,003523	0,003523	0,003523	0,003523	0,003523	0,003523	0,003523	0,003523
XIM50	8,096	8,096	8,096	8,096	8,096	8,096	8,096	8,096	8,096	8,096	8,096	8,096	8,096	8,096
Temps équiv (ans)														
100 ans (M/M0)	92%	92%	92%	92%	92%	92%	92%	92%	92%	92%	92%	92%	61%	61% Limite
Classe	Excellent	Excellent	Excellent											

Tableau 5 : résultats des modélisations pour les matériaux HMA 200/1000 kg

3.3. Matériaux CP 0/300 mm.

3.3.1. Matériaux CP 0/300 mm influence des paramètres Bn, Cs et IC sur la dégradation en service due à l'usure.

La même procédure est ici déclinée pour les matériaux CP 0/300mm. Ceci est une première approche, en prenant comme hypothèse pour les modélisations ci-dessous, que les matériaux CP 0/300mm ne seraient protégés ni par les LMB 1/500 kg ni par la carapace et donc directement soumis à la houle.

Les modélisations ci-dessous reprennent les mêmes conditions d'exposition et les mêmes variations des critères Bn, CS et IC.

La numérotation des modélisations suit elle aussi la même logique que la numérotation précédemment employée pour les LMB 1/500 kg avec prise en compte des deux caractéristiques des matériaux de remblais en eau et hors d'eau ce qui se traduit respectivement par le cas A ($LA = 35$ et $M_{DE} = 30$) et le cas B ($LA = 45$ et $M_{DE} = 45$).

3.3.2. Cas A - $LA = 35$ et $M_{DE} = 30$.

Les simulations montrent que la tendance à la dégradation des matériaux est ici plus accentuée que pour les deux blocométries précédentes. En effet les courbes des $ks(AQD)$ et $ks(M_{DE})$ sont systématiquement positionnées à la fois dans le domaine "satisfaisant" et dans la partie haute de la zone "limite" pour une mise en œuvre dans une zone totalement immergée. L'influence de chacun des paramètres est décrite ci-dessous :

- Bn : 1 % de variation (75 à 76 % de masse résiduelle à 100 ans).
- CS : 2 % de variation (76 à 78 % de masse résiduelle à 100 ans).
- IC : 2 % de variation (75 à 77 % de masse résiduelle à 100 ans).
- La combinaison des extrêmes Bn, CS et IC : 2 % de variation (76 à 78 % de masse résiduelle à 100 ans).

3.3.3. Cas B - $LA = 45$ et $M_{DE} = 45$.

Les mêmes modélisations vont être appliquées dans les conditions de cas B.

Les simulations montrent que la tendance à la dégradation des matériaux est ici plus accentuée que pour le cas A ($LA=35$ et $M_{DE}=30$). En effet les courbes des $ks(AQD)$ et $ks(M_{DE})$ sont systématiquement positionnées à la fois dans le domaine "satisfaisant" ou dans la partie basse de la zone "limite" pour une mise en œuvre dans une zone totalement immergée. L'influence de chacun des paramètres est décrite ci-dessous :

- B_n : 1 % de variation (71 à 72 % de masse résiduelle à 100 ans).
- CS : 2 % de variation (72 à 74 % de masse résiduelle à 100 ans).
- IC : 3 % de variation (70 à 73 % de masse résiduelle à 100 ans.,
- La combinaison des extrêmes B_n , CS et IC : 3% de variation (72 à 75 % de masse résiduelle à 100 ans).

3.3.4. Synthèse des matériaux CP 0/300 mm.

Le tableau 6 ci-dessous présente de manière synthétique l'ensemble des résultats des modélisations. Les paramètres qui varient sont de couleur rouge dans le tableau. Les résultats sont exprimés soit en pourcentage de perte de masse pour une durée de 100 ans ou en années de service pour une perte de masse de 40 % (coupure de l'axe horizontale des graphiques).

Matériaux CP 0-300 mm

Influence des paramètres sur la dégradation en service due à l'usure

Fichiers	F1	F2	F3	F4	F5	F6	F7	F8	F9	F10	F11
Essais	Cerema										
AQD carrière	2,48	2,48	2,46	2,52	2,61	2,64	2,50	2,55	2,48	2,48	2,69
MV	2,90	2,90	2,90	2,90	2,90	2,90	2,90	2,90	2,90	2,90	2,90
Wa	0,90	0,90	0,90	0,90	0,90	0,90	0,90	0,90	0,90	0,90	0,90
LA	35	35	35	35	35	35	35	35	35	35	35
MDE	30	30	30	30	30	30	30	30	30	30	30
Bn	10	15	30	60	80	120	60	70	80	60	120
CS											
IC											
Zone ouvrage	immergée										
Ks AQD	0,005212	0,005212	0,005308	0,005054	0,004695	0,005374	0,005140	0,004922	0,005199	0,004434	
XAQD	2,3023	2,3023	2,3023	2,3023	2,3023	2,3023	2,3023	2,3023	2,3023	2,3023	2,3023
Temps équiv (ans)											
100 ans (M/M0)											
Classe	76%	76%	75%	76%	Satisfaisant	Satisfaisant	75%	76%	77%	76%	78%
Ks MDE	0,006433	0,006433	0,006433	0,006433	0,006433	0,006433	0,006433	0,006433	0,006433	0,006433	0,006433
XIM50	1,6445	1,6445	1,6445	1,6445	1,6445	1,6445	1,6445	1,6445	1,6445	1,6445	1,6445
Temps équiv (ans)											
100 ans (M/M0)											
Classe	64%	64%	64%	64%	64%	64%	64%	64%	64%	64%	64%
Limite +											
Zone ouvrage	immergée										
Ks AQD	0,006688	0,006688	0,006533	0,006333	0,005829	0,006855	0,006552	0,006208	0,006427	0,005389	
XAQD	2,3023	2,3023	72%	71%	72%	74%	70%	71%	73%	72%	75%
Temps équiv (ans)											
100 ans (M/M0)											
Classe	Satisfaisant										
Ks MDE	0,01175	0,01175	0,01175	0,01175	0,01175	0,01175	0,01175	0,01175	0,01175	0,01175	0,01175
XIM50	1,6445	1,6445	1,6445	1,6445	1,6445	1,6445	1,6445	1,6445	1,6445	1,6445	1,6445
Temps équiv (ans)											
100 ans (M/M0)											
Classe	Limite -										

Tableau 6 : résultats des modélisations pour les matériaux CP 0/300mm

4. CONCLUSIONS

Cette étude a permis la mise en œuvre des modèles de prédition de la dégradation en service due à l'usure des matériaux développés par le CEREMA Ouest (Laboratoire d'Angers) en application du chapitre 3.6 du Rock Manual de 2009.

Dans cette phase, le comportement de chacun des matériaux LMB 1/500 kg, HMA 200/1000 kg et CP 0/300 mm a été modélisé de manière individuelle sans prendre en compte la notion d'exposition en fonction de leur positionnement au sein de l'ouvrage et par conséquent de l'amortissement de l'onde harmonique (hauteur de la houle) dans les différentes couches de protection et notamment la carapace.

La prédition de la dégradation en service due à l'usure est appréhendée par deux modèles l'un basé sur le paramètre M_{DE} des matériaux et l'autre sur l'indice de qualité de l'enrochement AQD (intégrant dans ses critères la géologie et la qualité du gisement, la méthode de production en carrière des enrochements ainsi qu'un ensemble de caractéristiques intrinsèques du matériau...).

Ces modèles qui simulent une exposition directe aux sollicitations (exposition du site, agents d'attrition, agents climatiques...) permettent, de manière relative, d'effectuer des études paramétriques, et en l'occurrence d'évaluer l'impact de variations de différents paramètres tels que B_n , CS , IC et M_{DE} .

Les résultats de ces travaux démontrent les points suivants :

- Concernant les matériaux LMB 1/500 kg dans un contexte immergé ou intertidal, l'impact sur la perte de masse à 100 ans, des variations des paramètres B_n , CS et IC est négligeable, de l'ordre de quelques pourcents uniquement.
- Concernant les matériaux HMA 200/1000 kg, les conclusions sont identiques.
- Concernant les matériaux CP 0/300 mm en immergé, les conclusions sont identiques pour les paramètres B_n , CS et IC . Par contre l'impact d'une variation du M_{DE} de 30 à 45, est notable sur le modèle basé sur l'indice AQD et bien évidemment plus encore sur le modèle M_{DE} .

Afin de dépasser cette approche comparative, cette étude se poursuivra par la mise au point d'un modèle d'atténuation de l'onde harmonique dans les différentes couches de l'ouvrage, permettant in fine, de pouvoir mieux estimer les sollicitations auxquelles sont soumis les matériaux CP 0/300 mm et LMB 1/500 kg. Les résultats de ces modélisations devraient pouvoir confirmer la faible exposition, au sens du Rock Manual, de ces matériaux du cœur de digue.

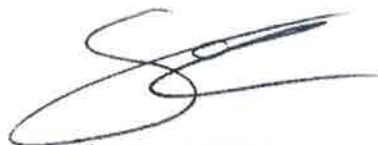
Rédigé par,

Valéry LE TURDU
Géologue



Vérifié par,

Sébastien BARLIER
Technicien enrochement


Nicolas ROUXEL
Responsable PCI Maritime

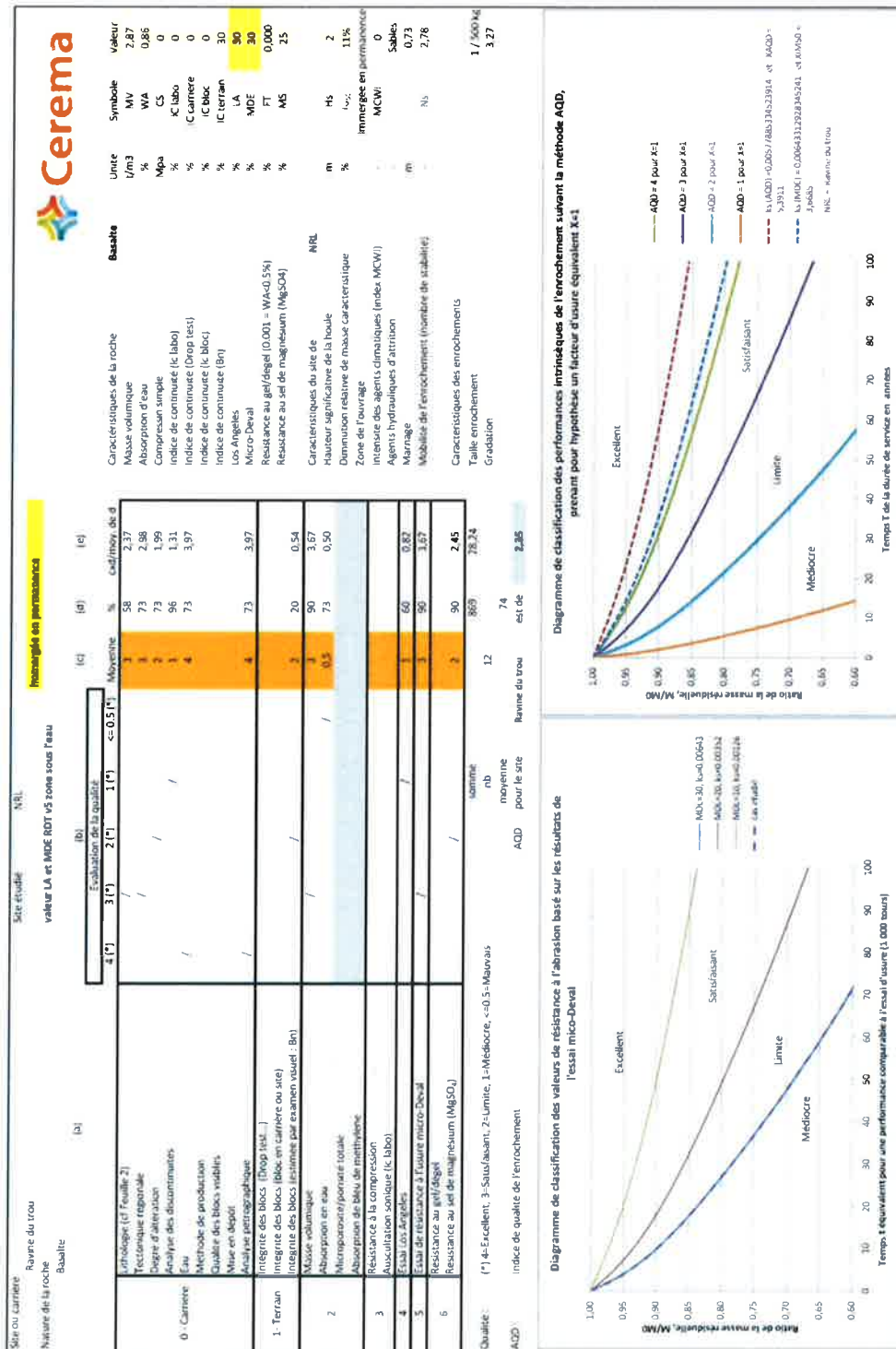
Le Directeur du département
laboratoire et CECP
d'Angers,

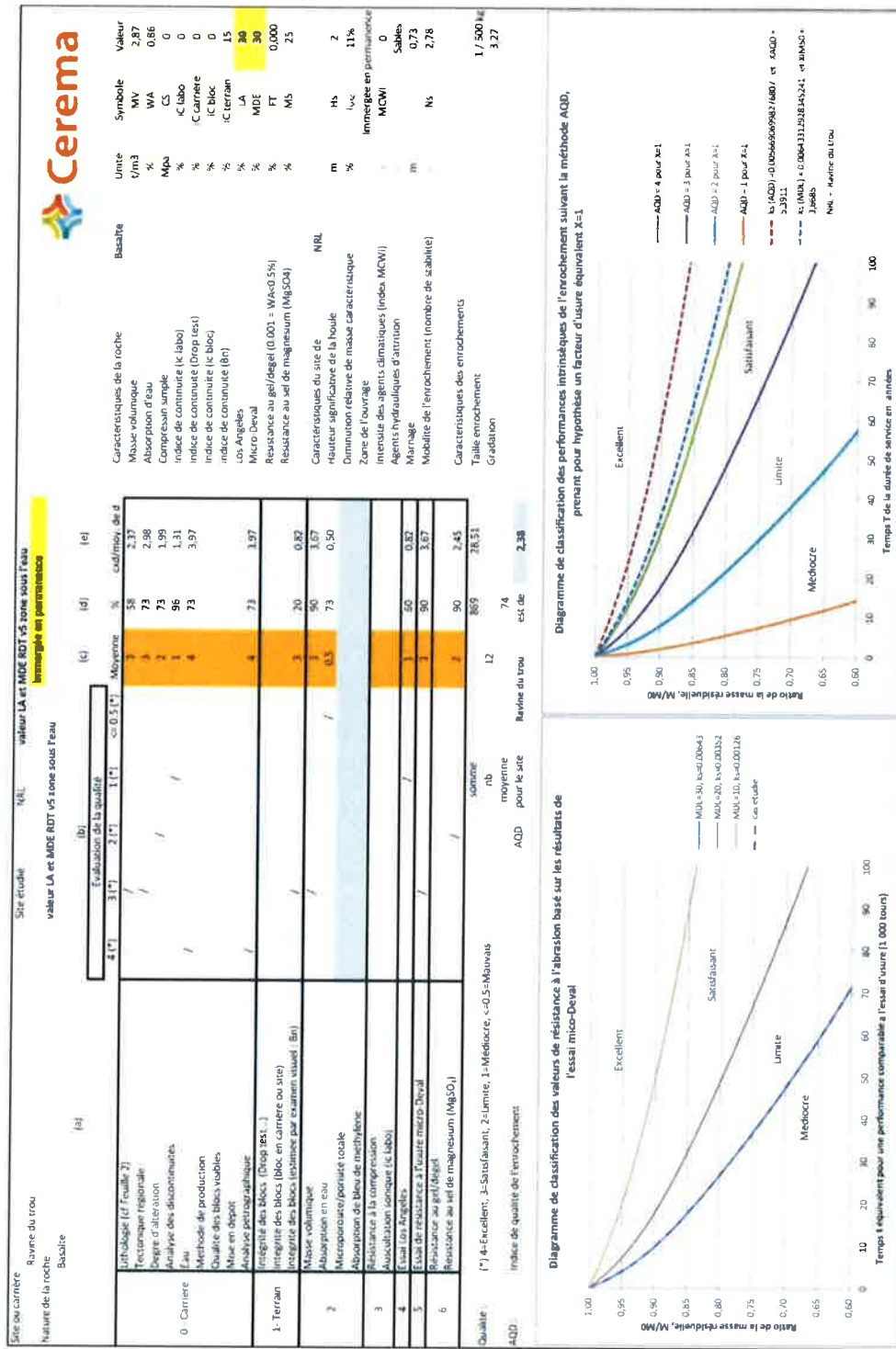

René-Henri MILIN

ANNEXE 1

Matériaux LMB 1/500 kg, influence des paramètres Bn, Cs et IC sur la dégradation en service due à l'usure.

Annexe 1.1 LMB 1/500 kg – F1 : modélisation pour LMB 1/500 kg avec LA=30, MDE=30 et Bn=30

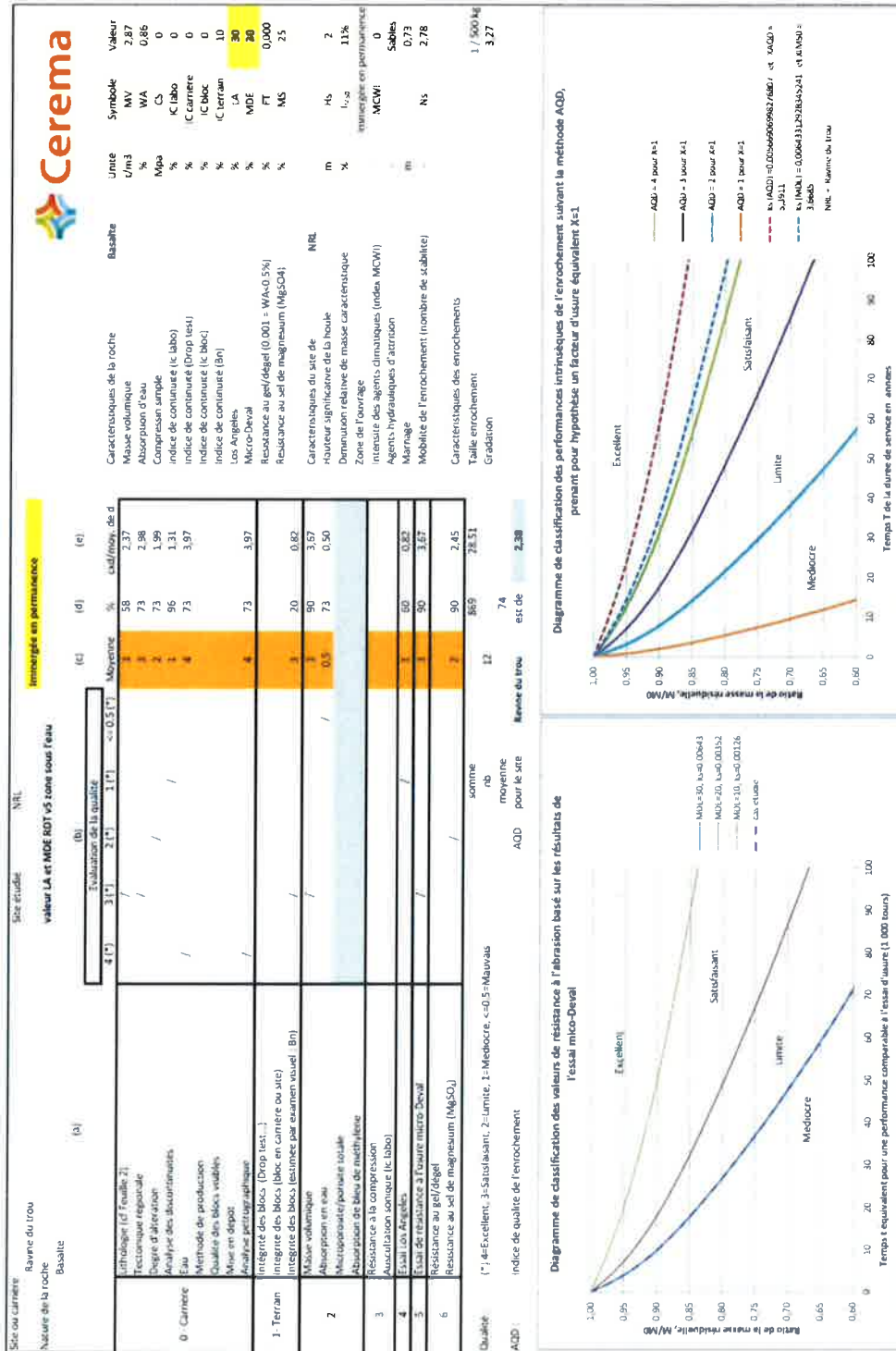




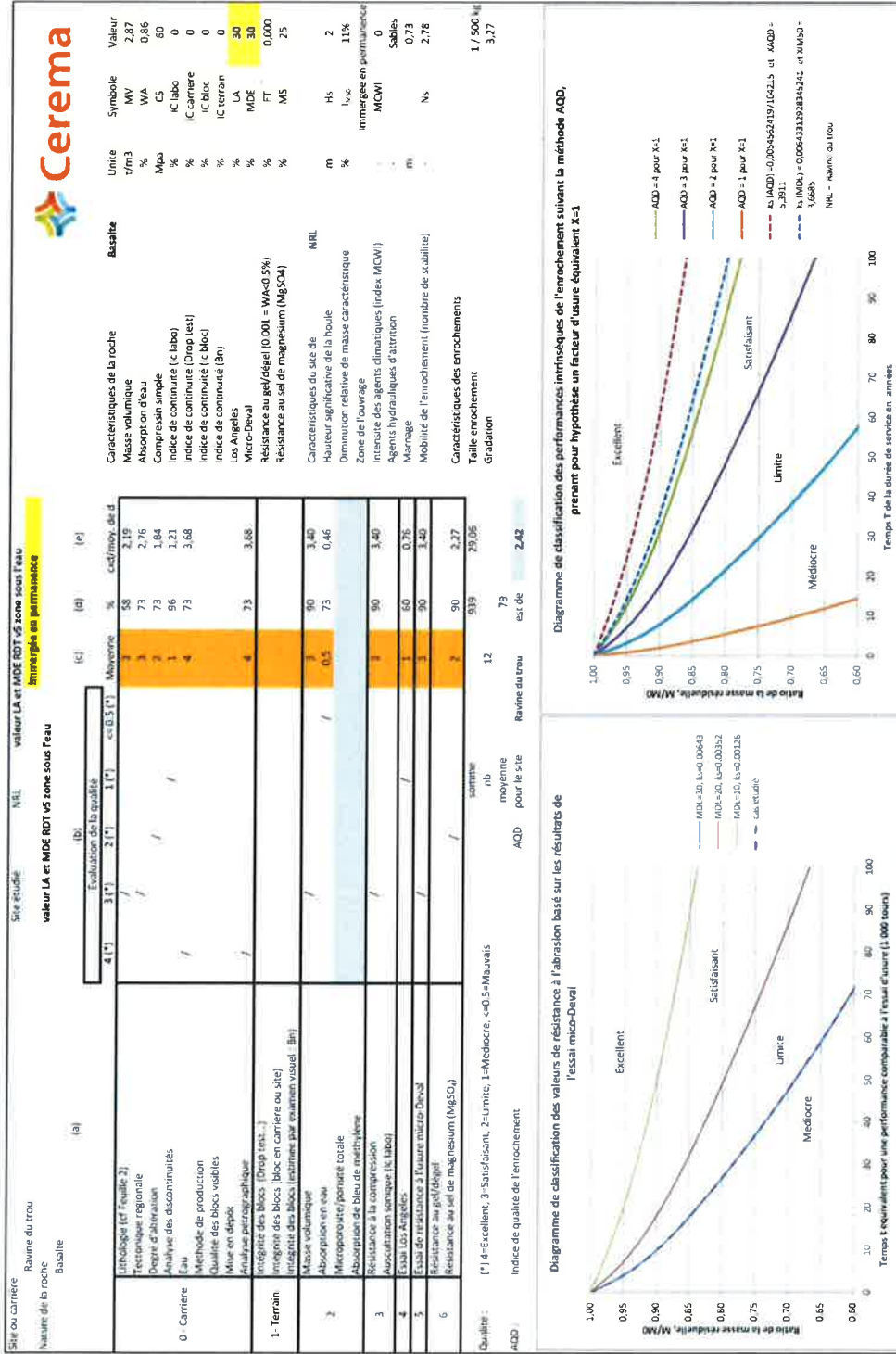
Annexe 1.2 LMB 1/500 kg – F2 : modélisation pour le LMB1/500 kg avec LA=30, MDE=30 et Bn=15

C16OA0356 -Expertise des matériaux de la future carrière de la Ravine du Trou à la Réunion – Rapport phase A

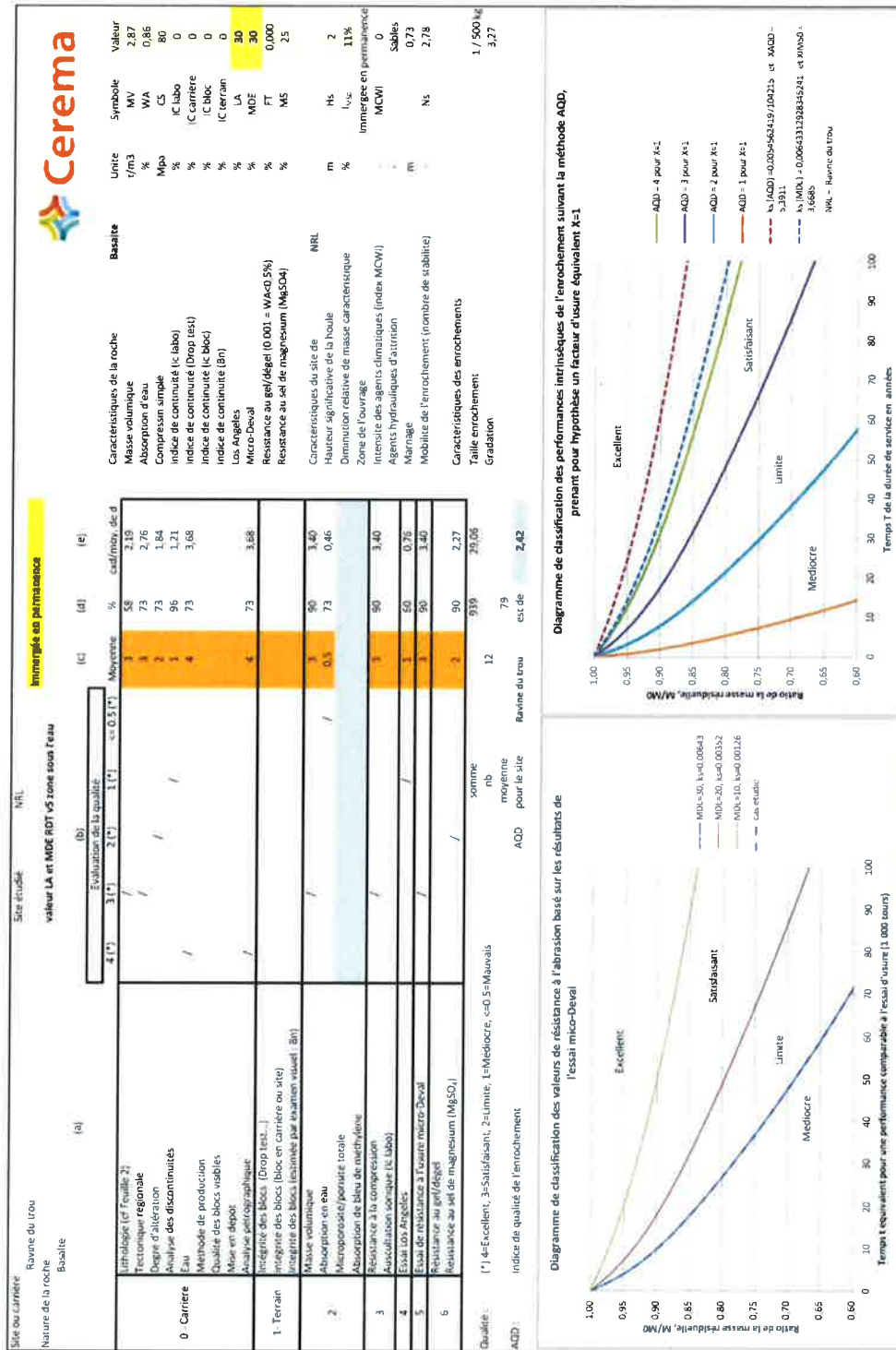
Annexe 1.3 LMB 1/500 kg – F3 : modélisation pour le LMB1/500 kg avec LA=30, MDE=30 et BN=10

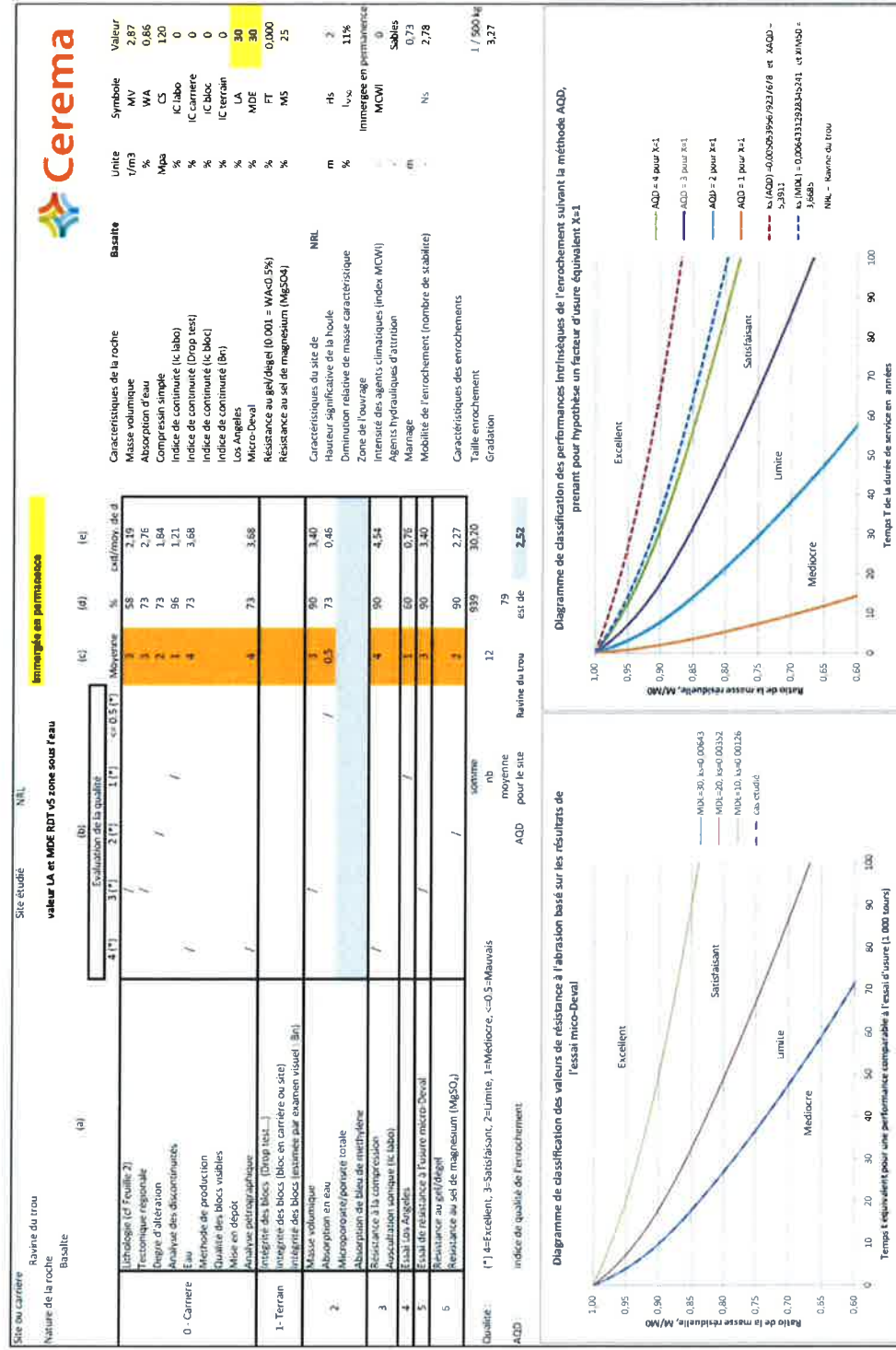


Annexe 1.4 LMB 1/500 kg – F4 : modélisation pour le LMB1/500 kg avec LA=30, MDE=30 et CS=60 MPa



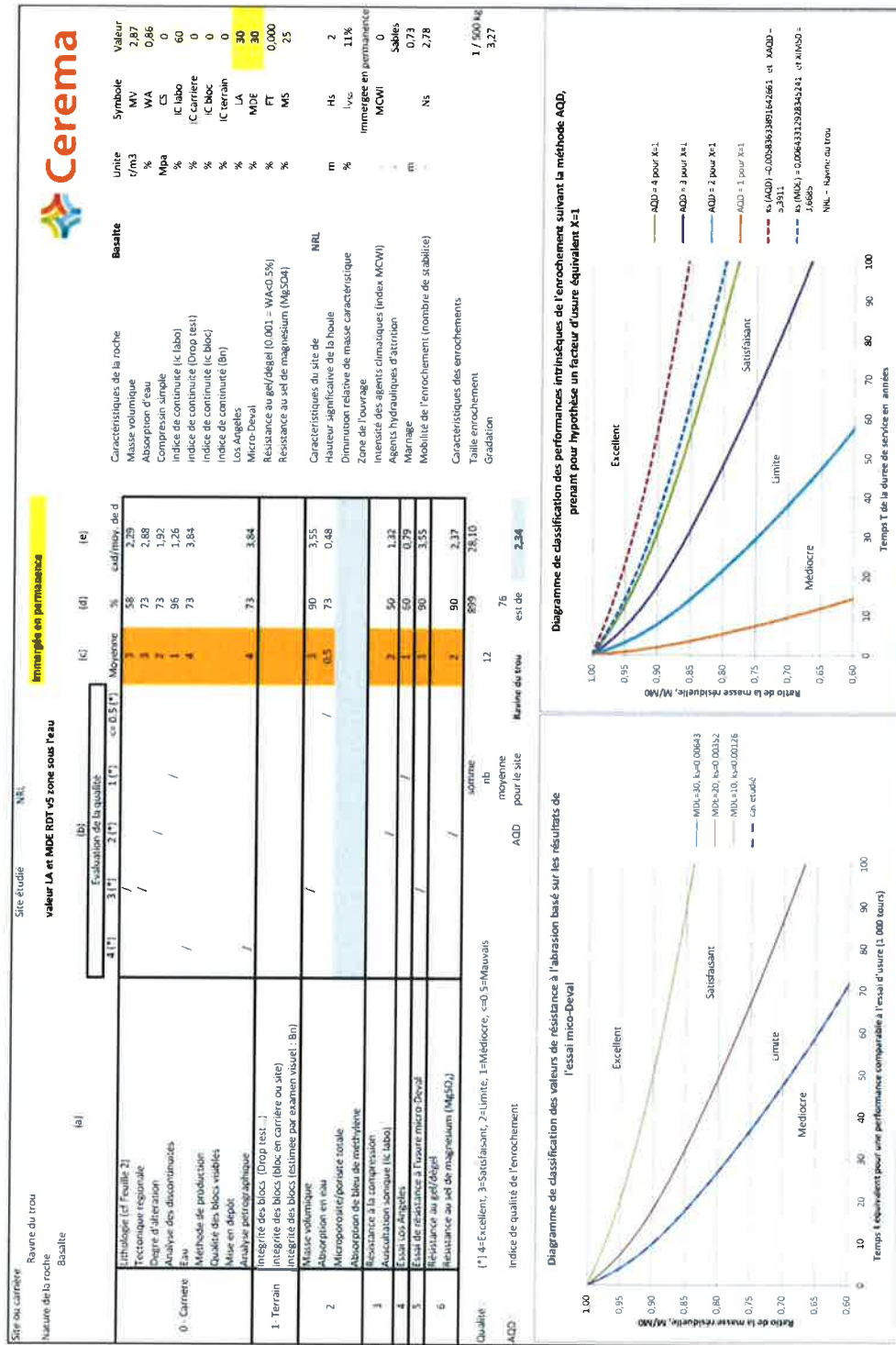
Annexe 1.5 LMB 1/500 kg – F5 : modélisation pour le LMB1/500 kg avec LA=30 et CS=80 MPa





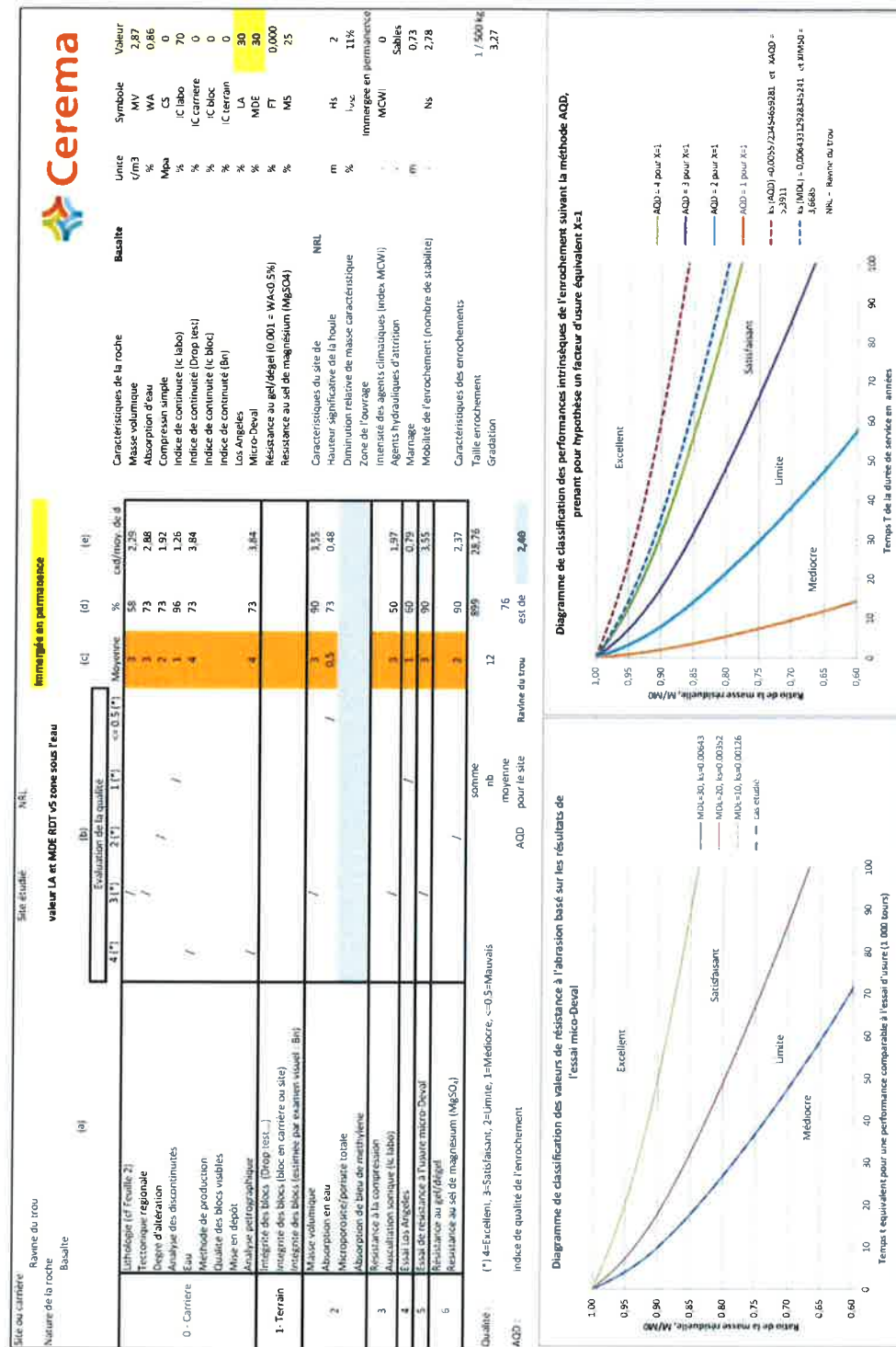
Annexe 1.6 LMB 1/500 kg – F6 : modélisation pour le LMB1/500 kg avec LA=30, MDE=30 et CS=120 MPa

C16OA0356 -Expertise des matériaux de la future carrière de la Ravine du Trou à la Réunion – Rapport phase A



Annexe 1.7 LMB 1/500 kg – F7 : modélisation pour le LMB1/500 kg avec LA=30, MDE=30 et IC=60

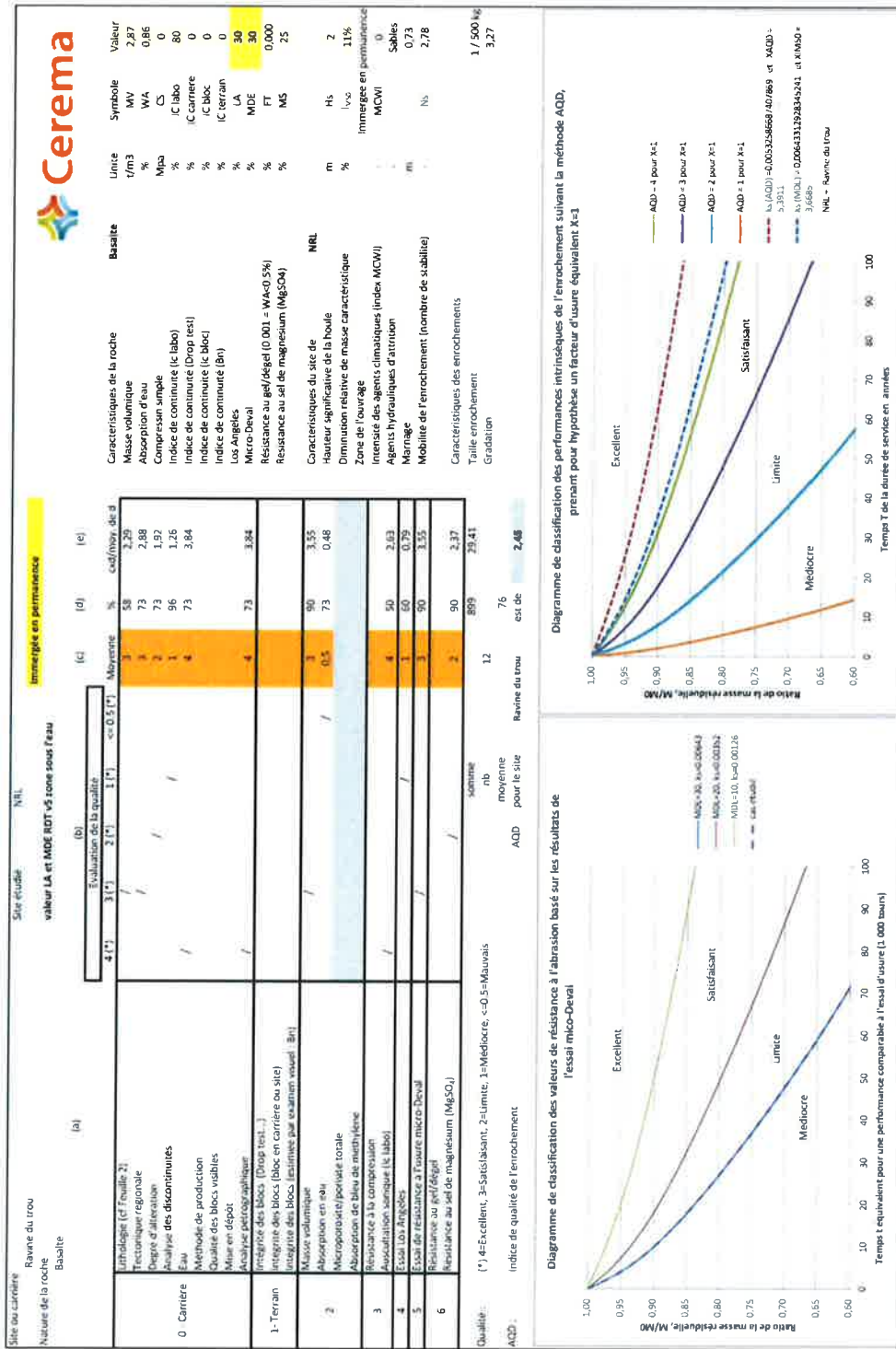
C16OA0356 -Expertise des matériaux de la future carrière de la Ravine du Trou à la Réunion – Rapport phase A



Annexe 1.8 LMB 1/500 kg – F8 : modélisation pour le LMB1/500 kg avec LA=30, MDE=30 et IC=70

C16OA0356 -Expertise des matériaux de la future carrière de la Ravine du Trou à la Réunion – Rapport phase A

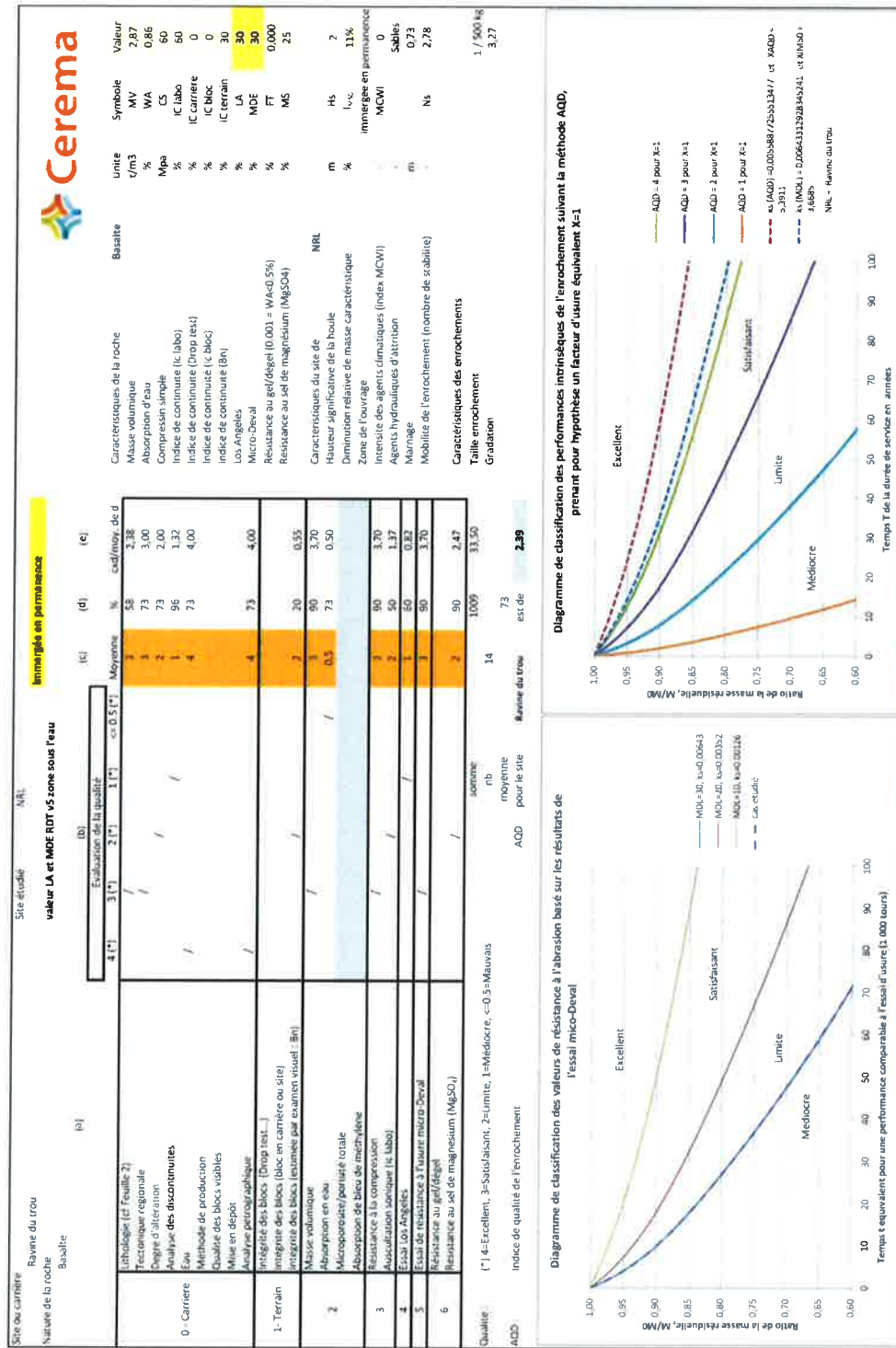
Annexe 1.9 LMB 1/500 kg – F9 : modélisation pour le LMB1/500 kg avec LA=30, MDE=30 et IC=80



EXPERTISE DES MATERIAUX DE LA FUTURE CARRIERE DE LA RAVINE DU TROU A LA REUNION

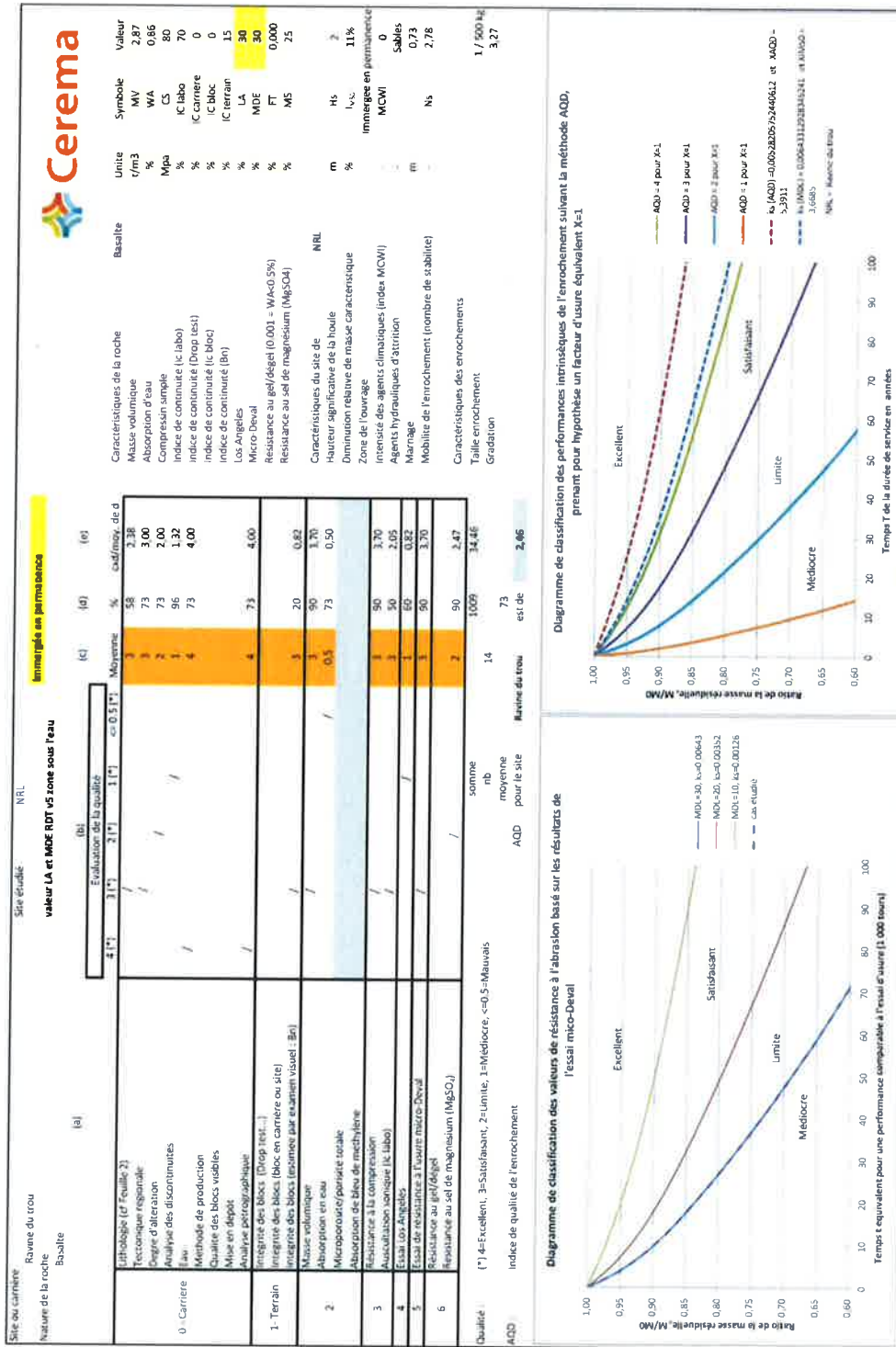
Rapport phase A





Annexe 1.10 LMB 1/500 kg – F10 : modélisation pour le LMB1/500 kg avec LA=30, MDE=30 et Bn=30, CS=60 MPa et IC=60

C16OA0356 -Expertise des matériaux de la future carrière de la Ravine du Trou – Rapport phase A

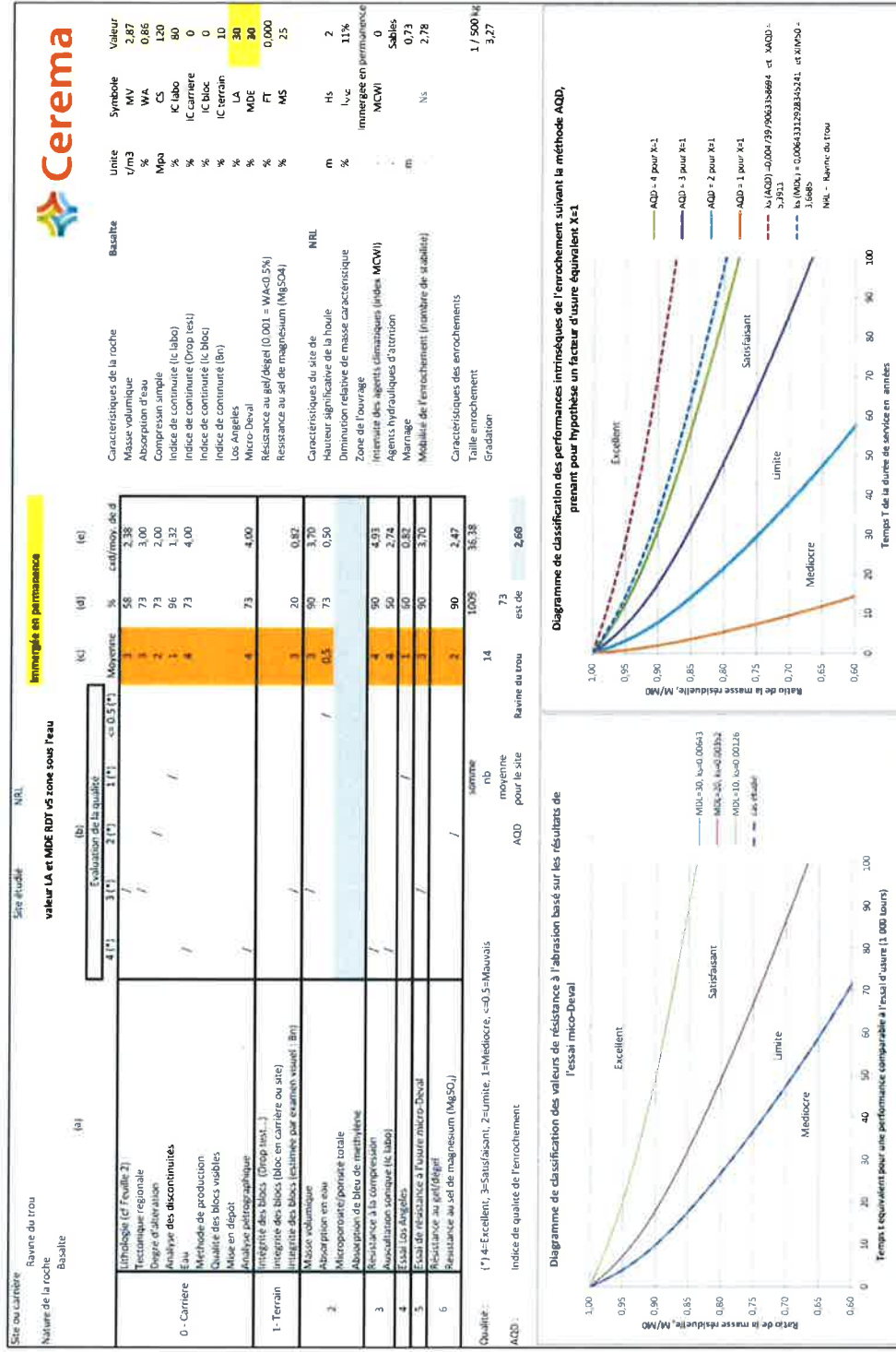


Annexe 1.11 LMB 1/500 kg – F11 : modélisation pour le LMB1/500 kg avec LA=30, MDE=30 et Bn=15, CS=80 MPa et IC=70

C16OA0356 -Expertise des matériaux de la future carrière de la Ravine du Trou à la Réunion – Rapport phase A

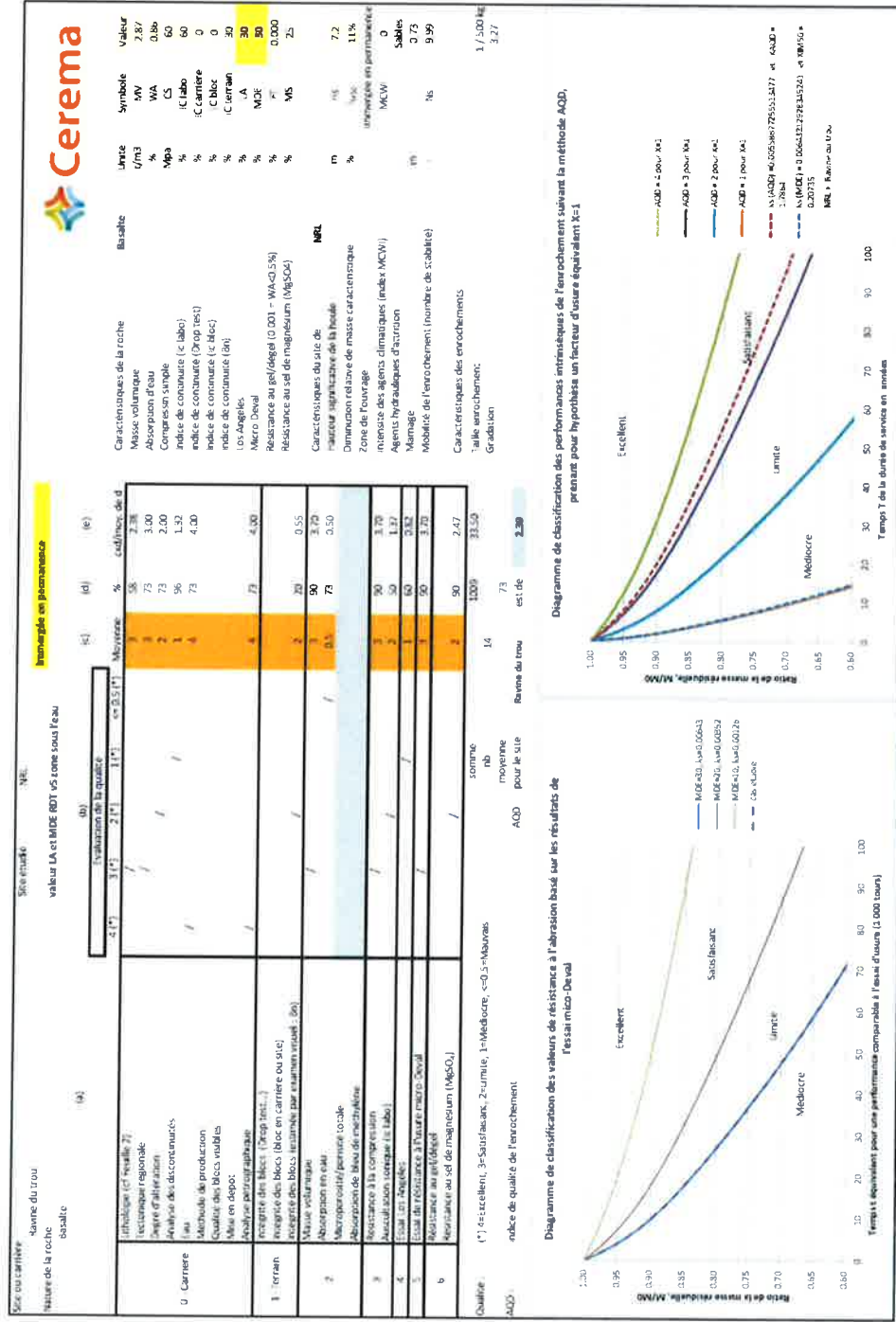
Annexe 1.12 LMB 1/500 kg – F12 : modélisation pour le LMB1/500 kg avec LA=30, MDE=30 et BN=10, CS=120 MPa et IC=80

C16OA0356 -Expertise des matériaux de la future carrière de la Ravine du Trou à la Réunion – Rapport phase A

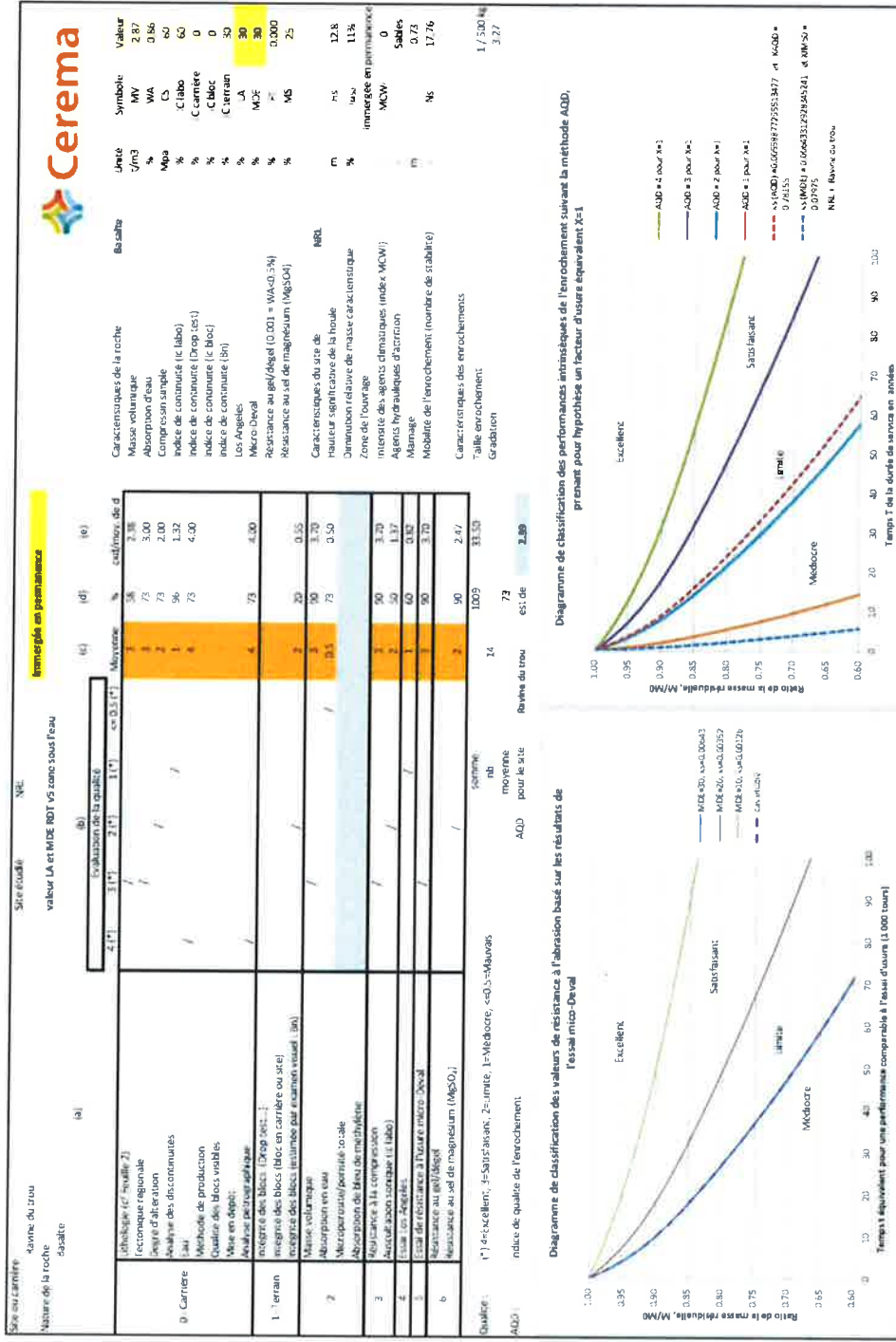


ANNEXE 2

Matériaux LMB 1/500 kg, influence de la hauteur significative de la houle pour des périodes de retour 10 ans et 100 ans sur la dégradation en service due à l'usure.



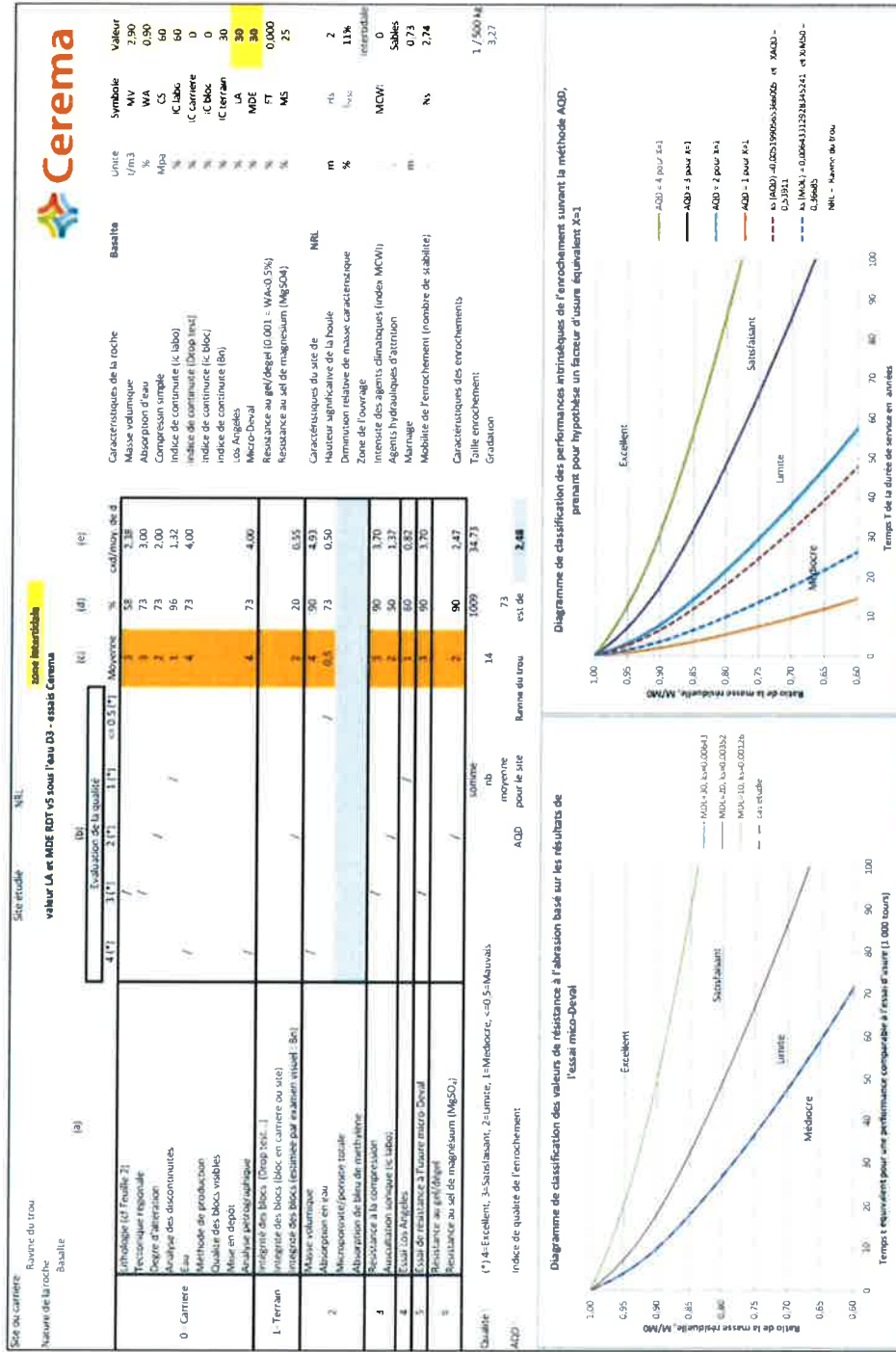
Annexe 2.1 LMB 1/500 kg-F13: modélisation pour le LMB1/500 kg avec LA=30, MDE=30 et Bn=30, CS=60 MPa, IC=60 et Hs = 7,2 mètres (10 ans)



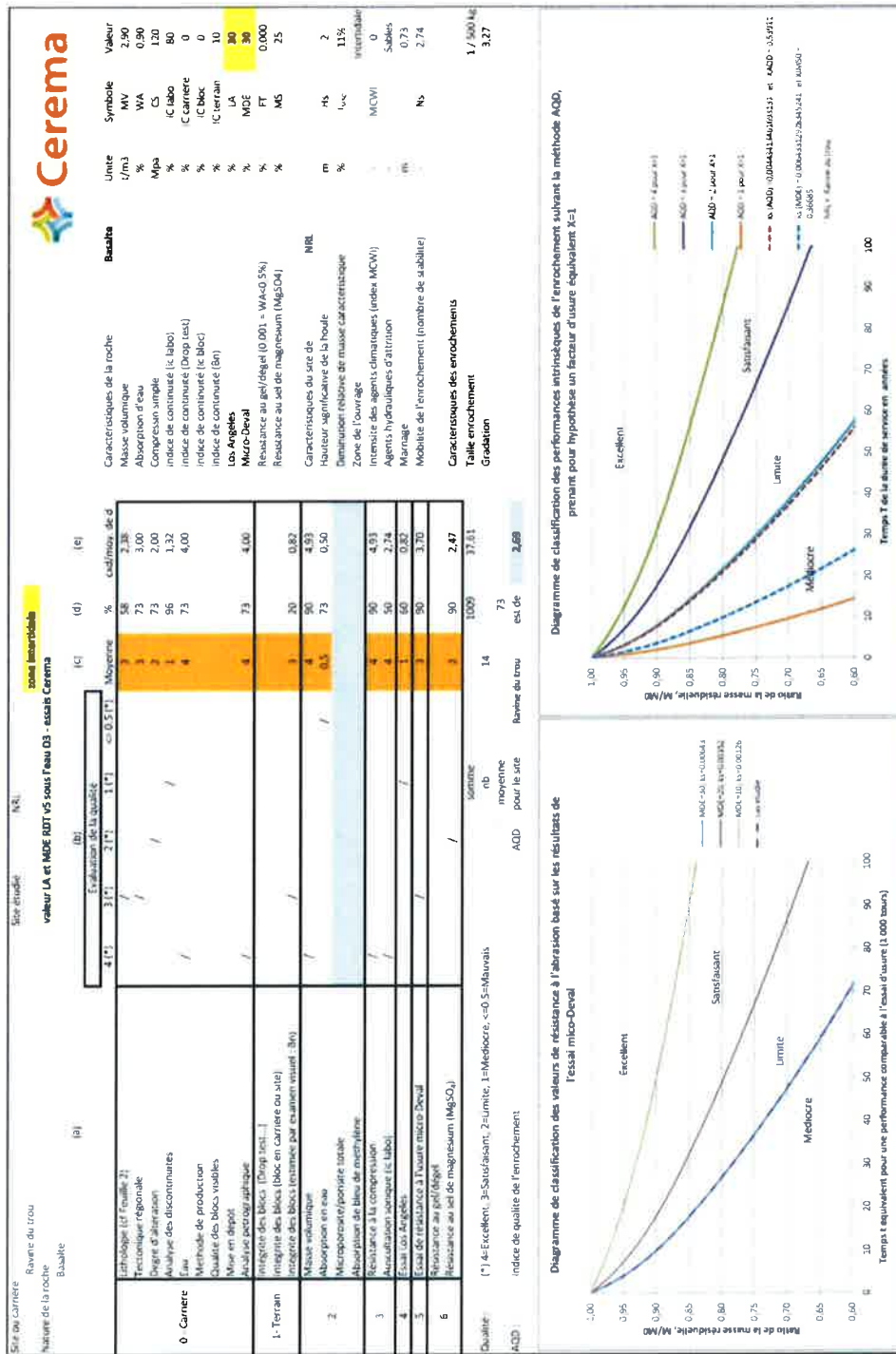
**Annexe 2.2 LMB 1/500 kg – F14 : modélisation pour le LMB1/500 kg avec LA=30, MDE=30 et Bn=30,
CS=60 MPa, IC=60 et Hs = 12,5 mètres (100 ans)**

ANNEXE 3

Matériaux LMB 1/500 kg influence de la zone de l'ouvrage.



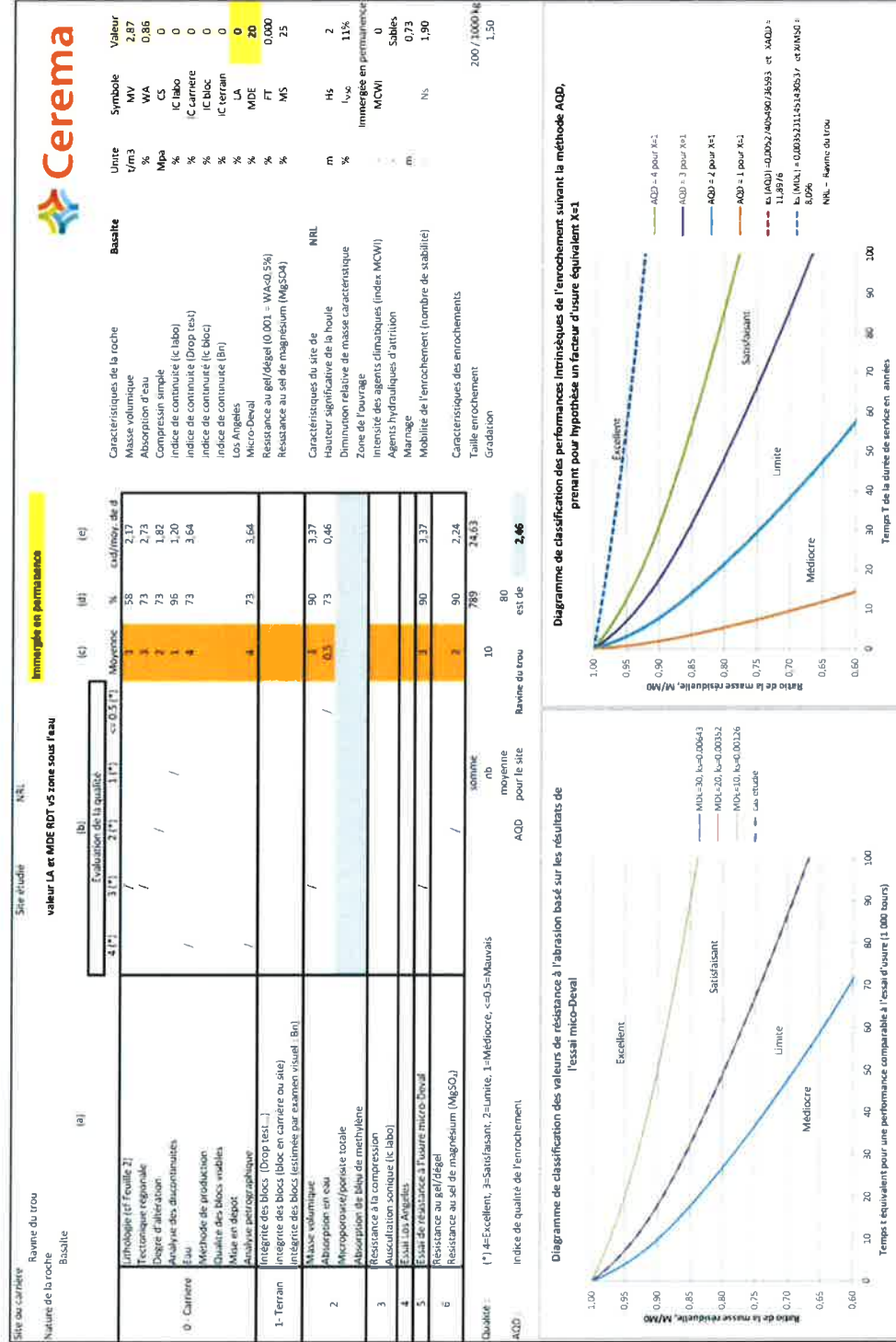
Annexe 3.1 LMB 1/500 kg – F15 : modélisation pour le LMB1/500 kg avec LA=30, MDE=30, Bn=30, CS=60 MPa, IC =60 et zone intertidale



Annexe 3.2 LMB 1/500 kg – F16 : modélisation pour le LMB1/500 kg avec LA=30, MDE=30, Bn=10, CS=120 MPa, IC =80 et zone intertidale

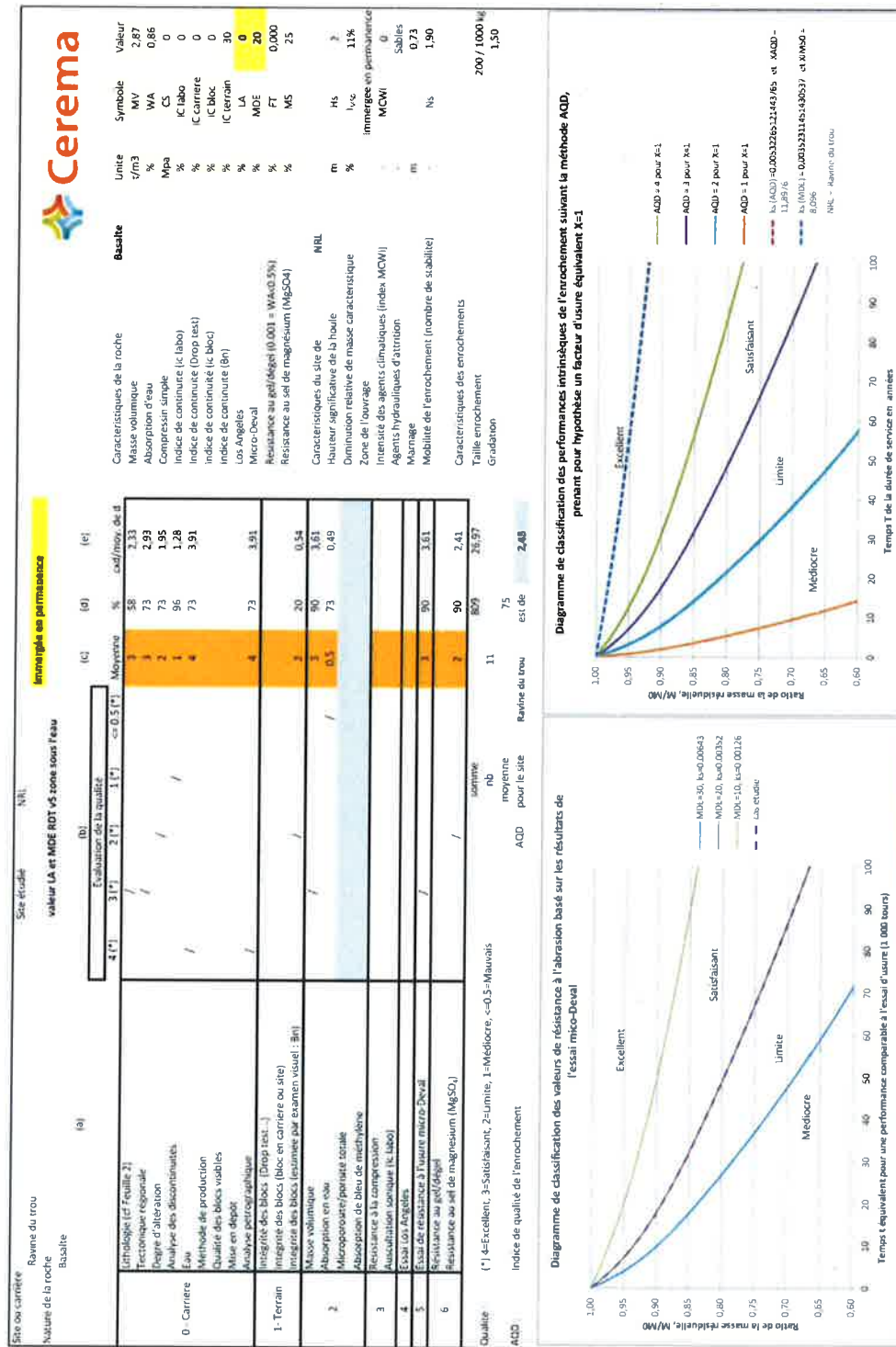
ANNEXE 4

**Matériaux HMA 200/1000 kg influence
des paramètres Bn, Cs et IC sur la
dégradation en service due à l'usure.**



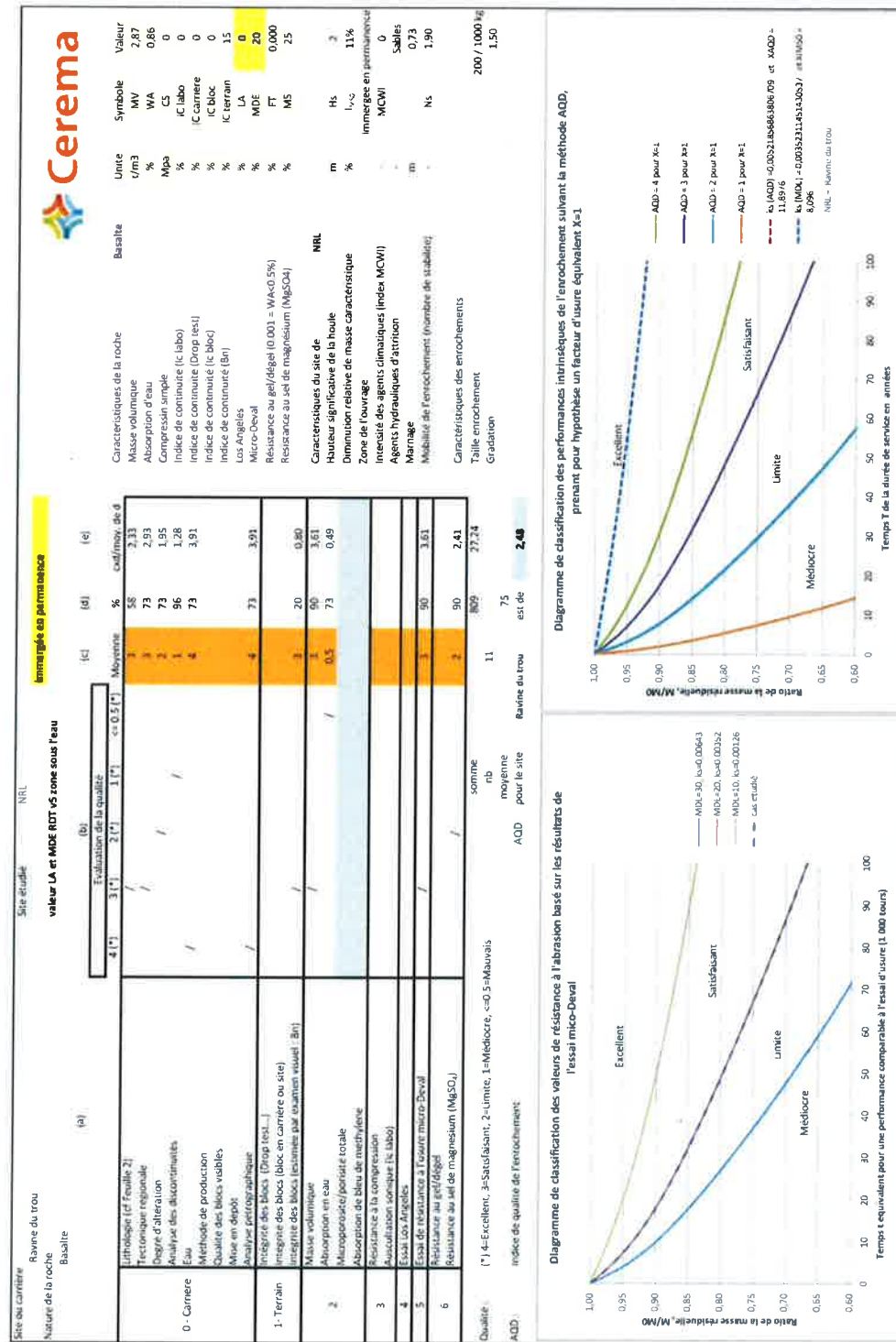
Annexe 4.1 HMMA 200/1000 kg – F1 : modélisation pour le HMMA200/1000 kg avec MDE=20

C16OA0356 -Expertise des matériaux de la future carrière de la Ravine du Trou à la Réunion – Rapport phase A



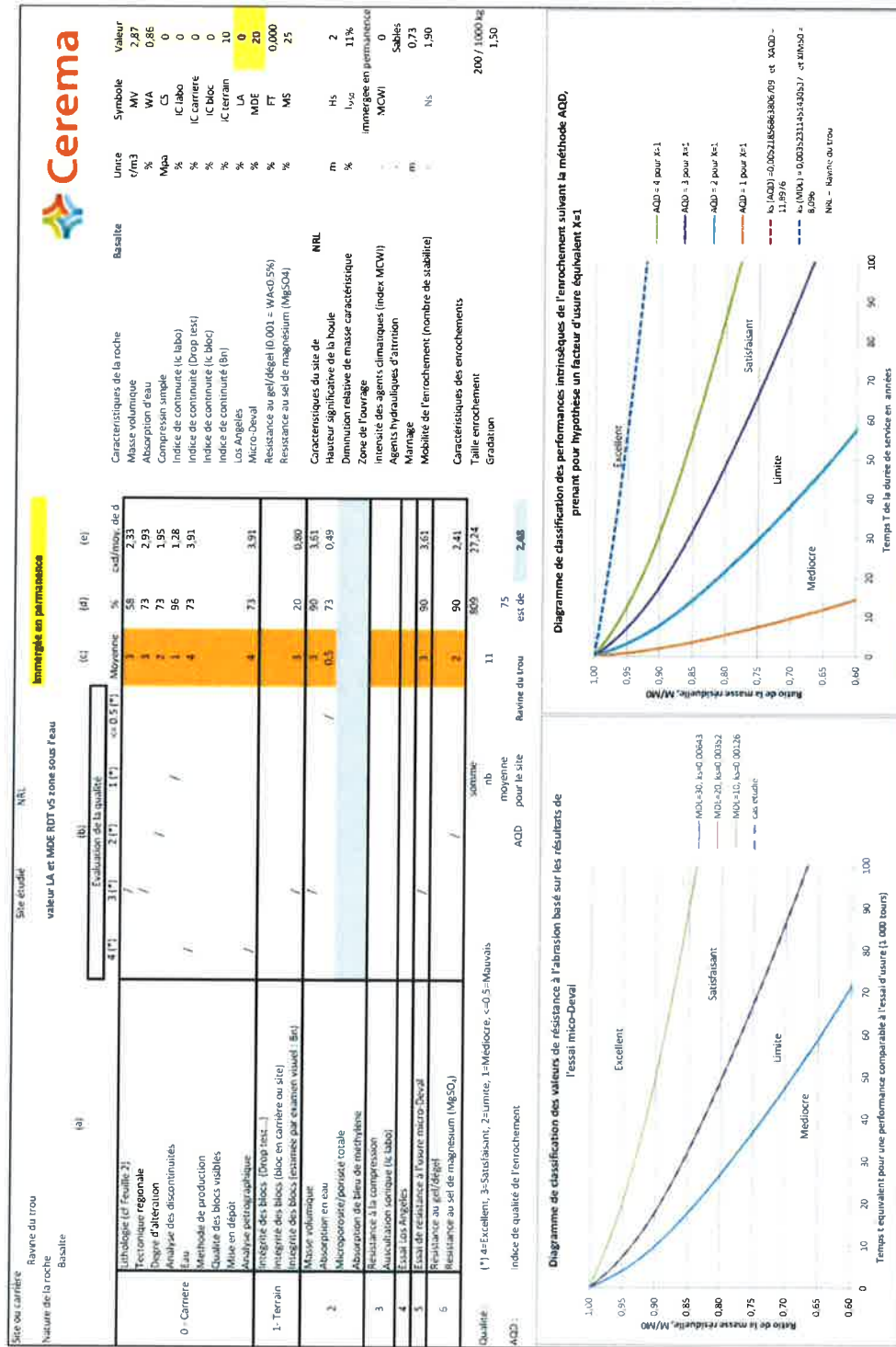
Annexe 4.2 HMA 200/1000 kg - F2 : modélisation pour le HMA200/1000 kg avec MDE=20 et Bn=30

C16OA0356 -Expertise des matériaux de la future carrière de la Ravine du Trou à la Réunion – Rapport phase A

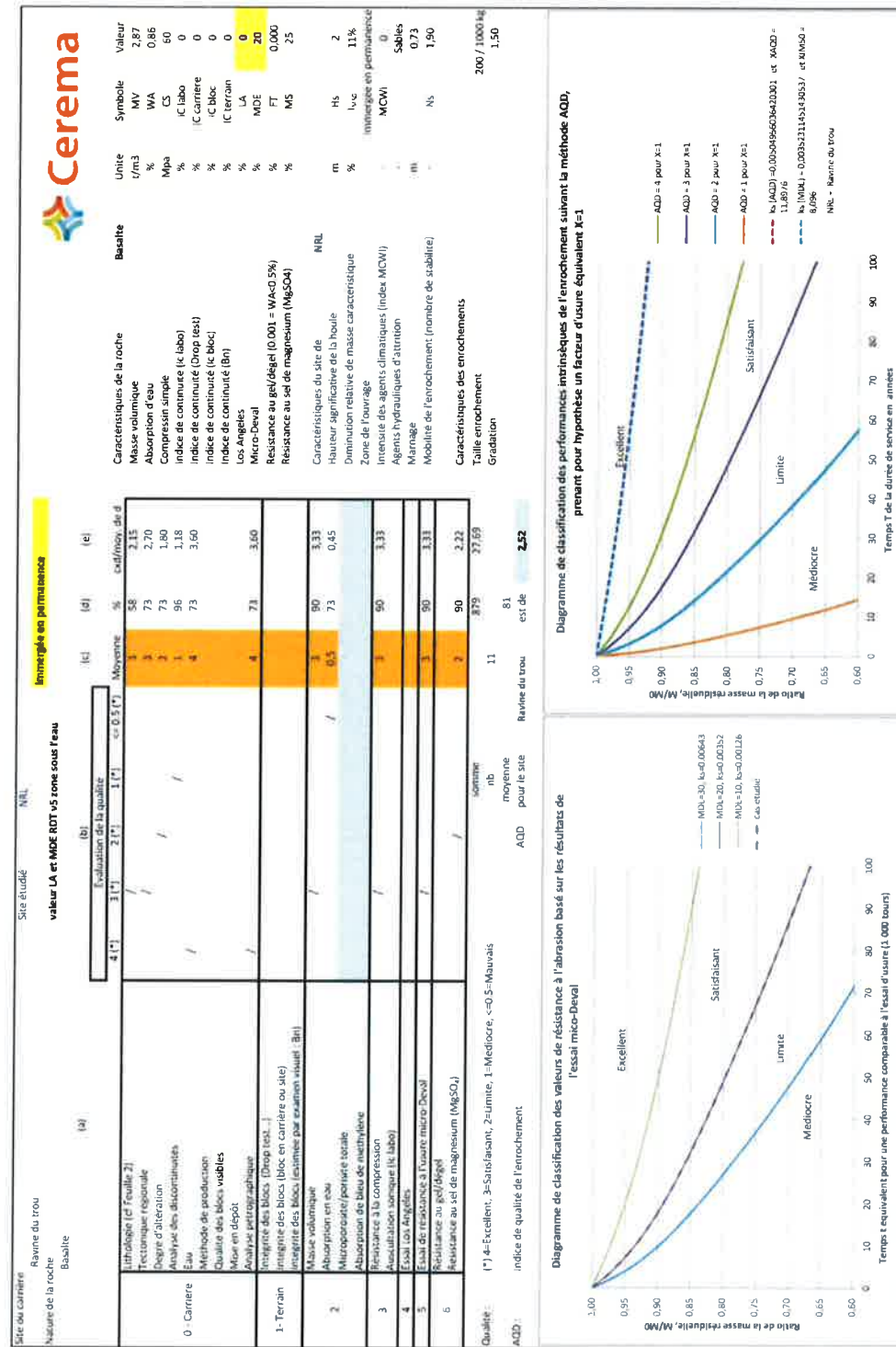


Annexe 4.3 HMA 200/1000 kg: modélisation N°F3 pour le HMA200/1000 kg avec MDE=20 et Bn=15

C16OA0356 -Expertise des matériaux de la future carrière de la Ravine du Trou à la Réunion – Rapport phase A

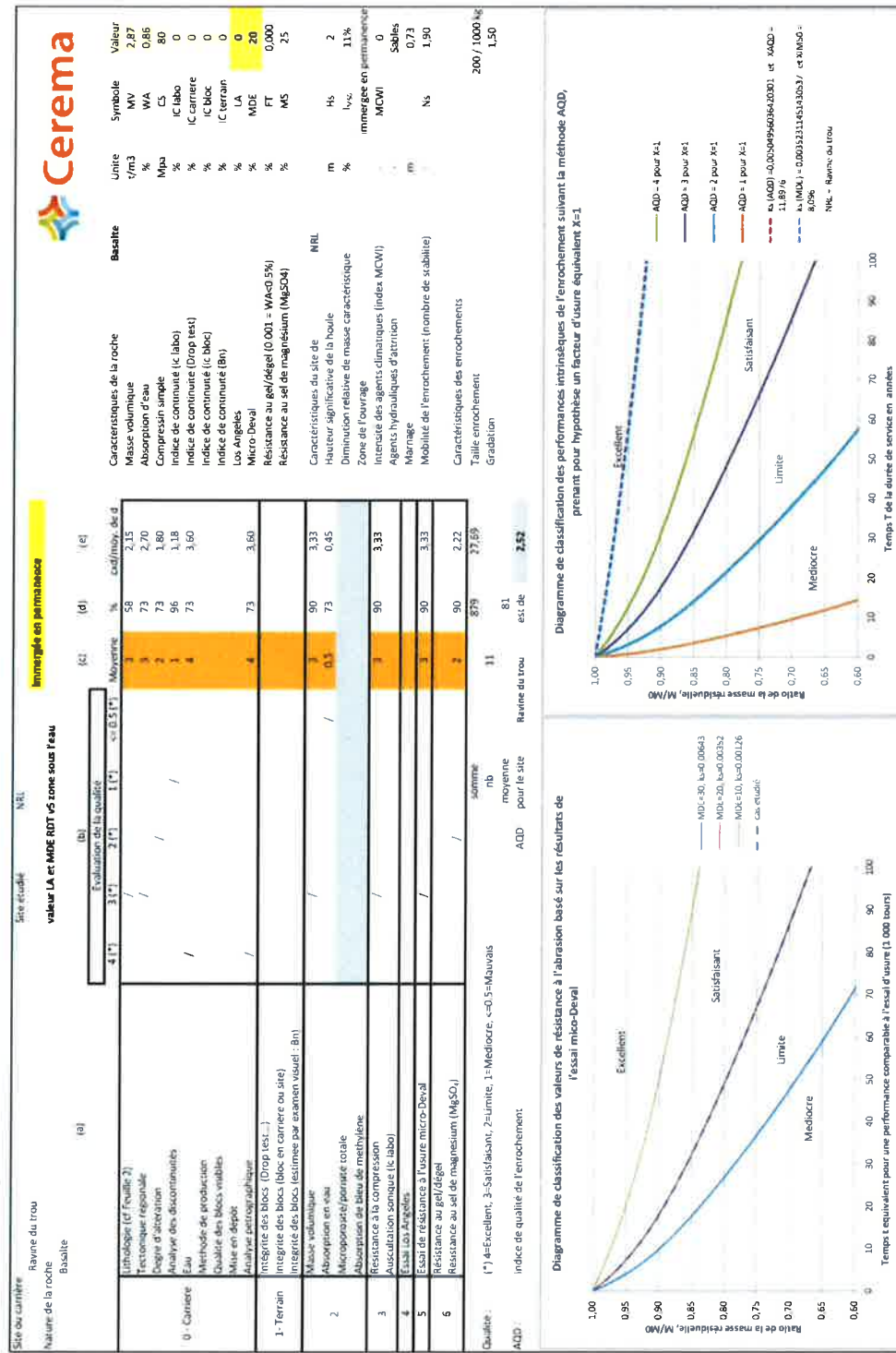


Annexe 4.4 HMA 200/1000 kg – F4 : modélisation pour le HMA200/1000 kg avec MDE=20 et Bn=10



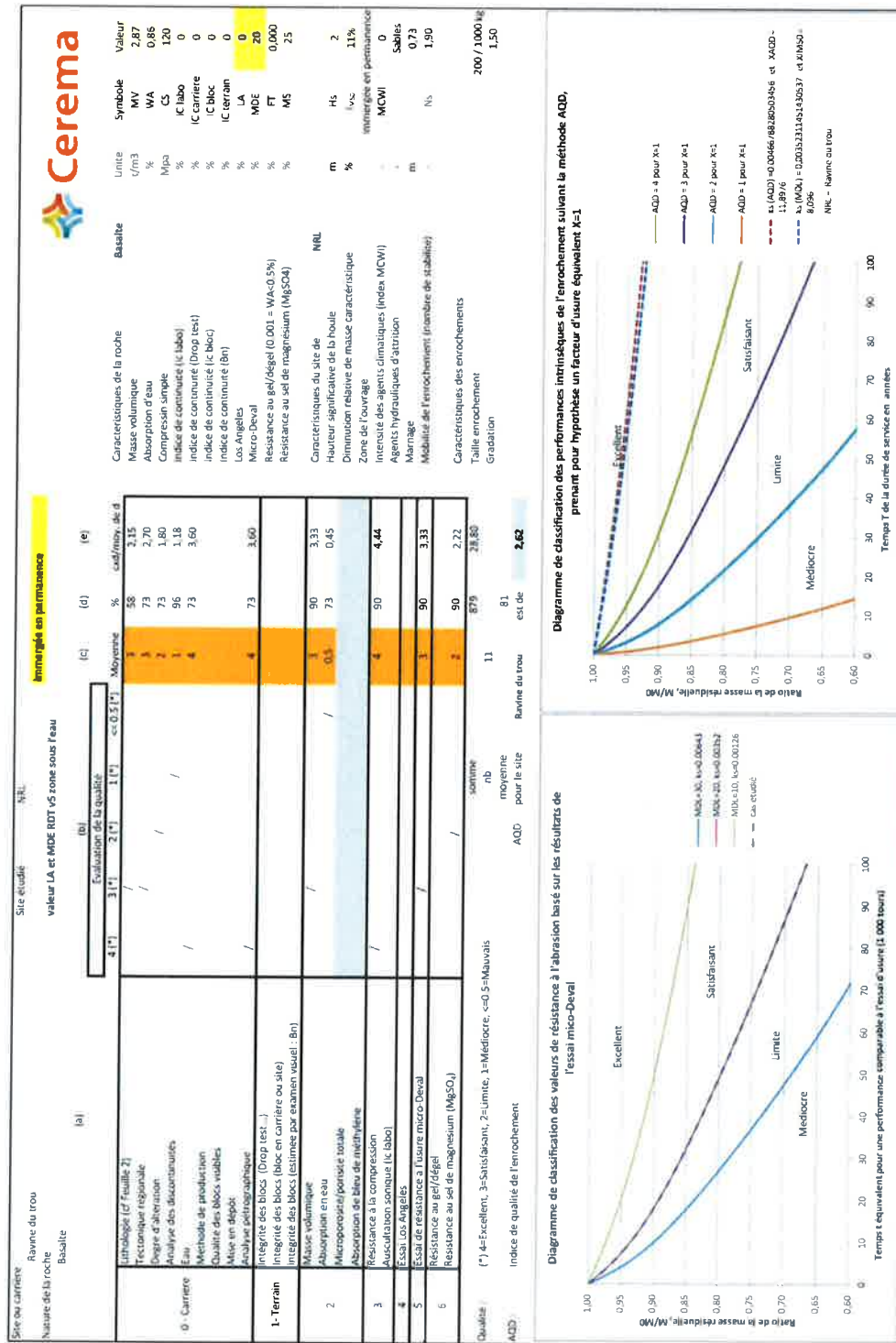
Annexe 4.5 HMA 200/1000 kg – F5 : modélisation pour le HMA200/1000 kg avec MDE=20 et CS=60 MPa

C16OA0356 -Expertise des matériaux de la future carrière de la Ravine du Trou à la Réunion – Rapport phase A



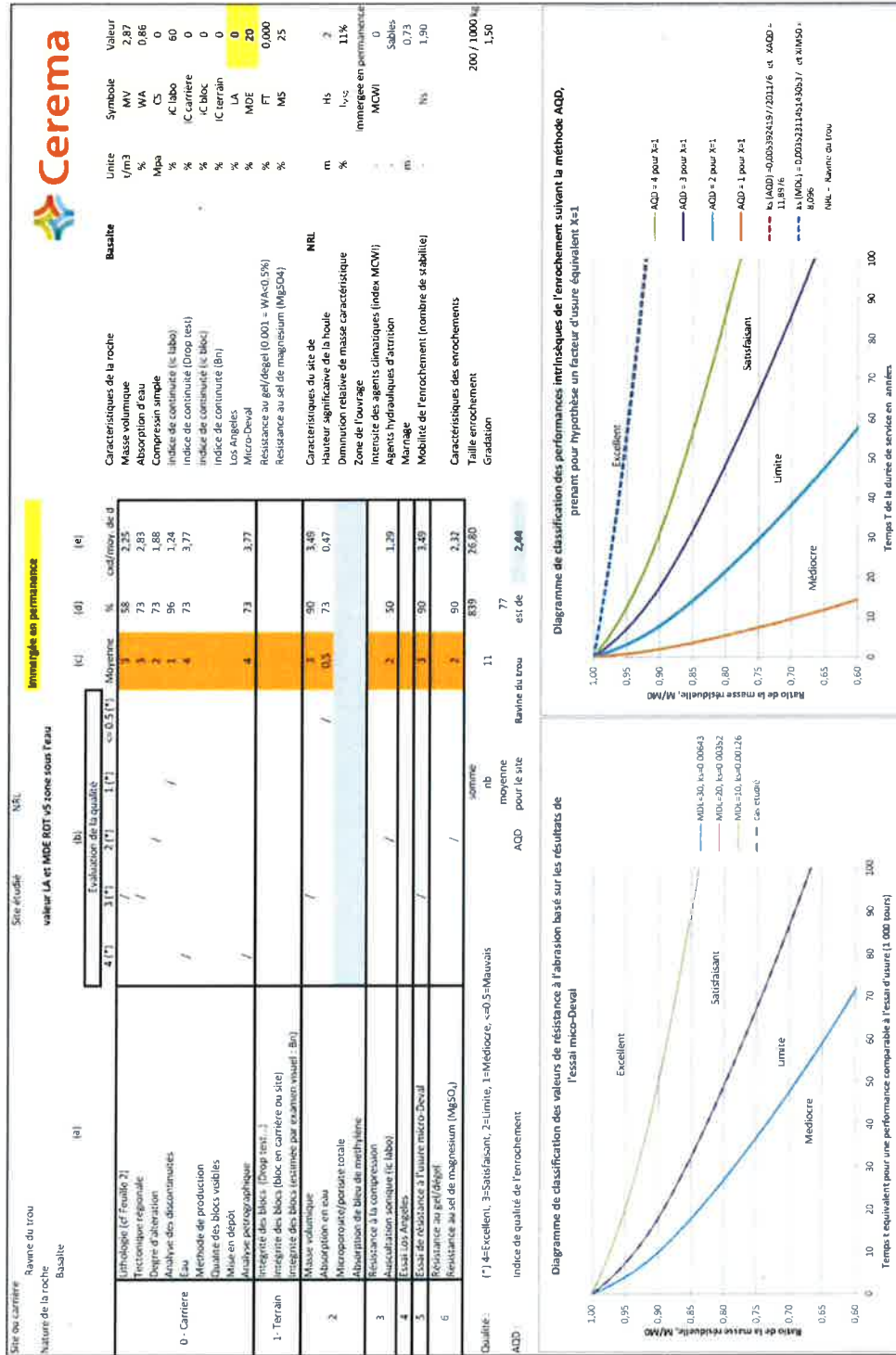
Annexe 4.6 HMA 200/1000 kg – F6 : modélisation pour le HMA200/1000 kg avec MDE=20 et CS=80 MPa

C16OA0356 -Expertise des matériaux de la future carrière de la Ravine du Trou à la Réunion – Rapport phase A



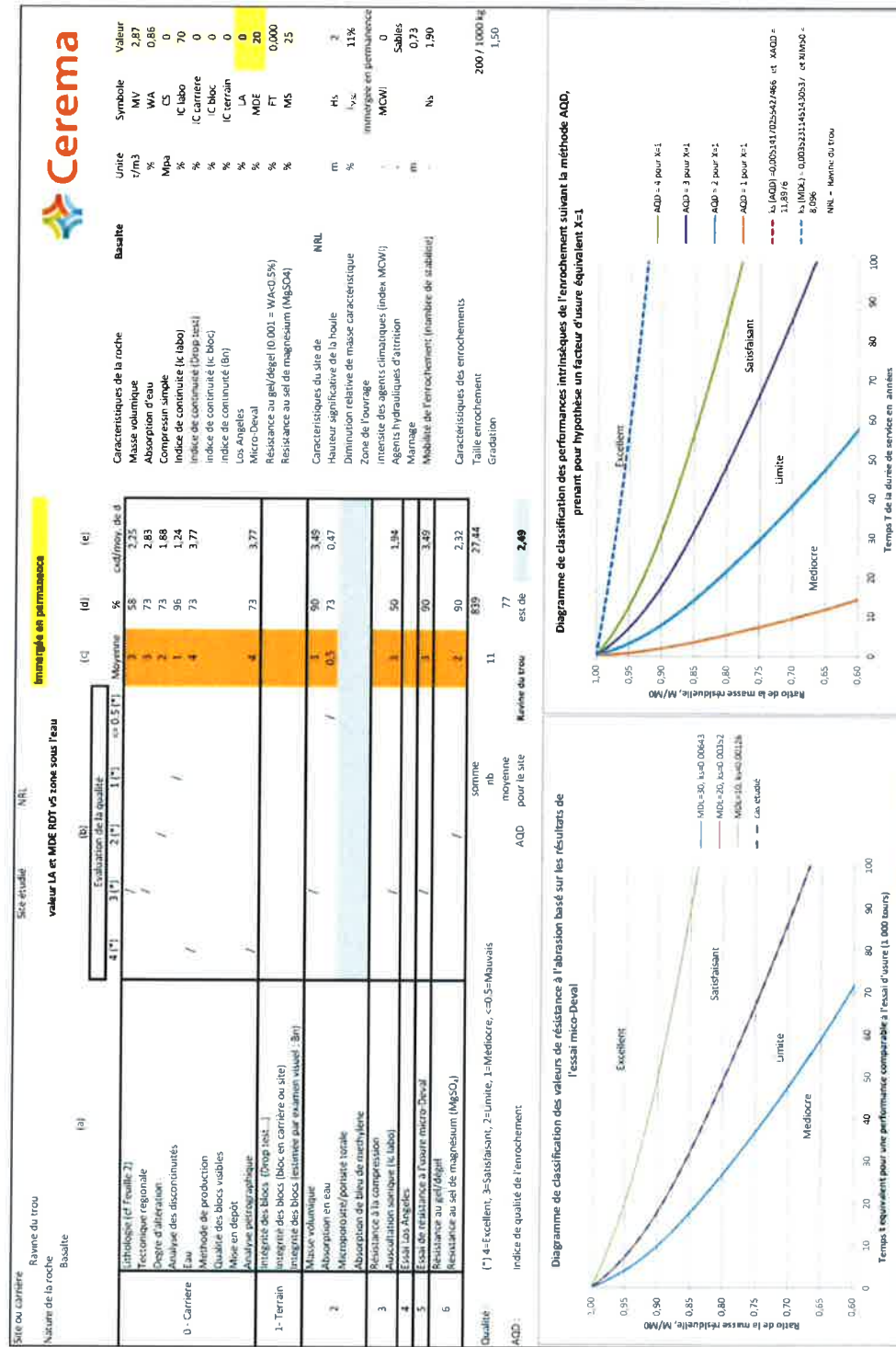
Annexe 4.7 HMA 200/1000 kg – F7 : modélisation pour le HMA200/1000 kg avec MDE=20 et CS=120 MPa

C16OA0356 -Expertise des matériaux de la future carrière de la Ravine du Trou à la Réunion – Rapport phase A

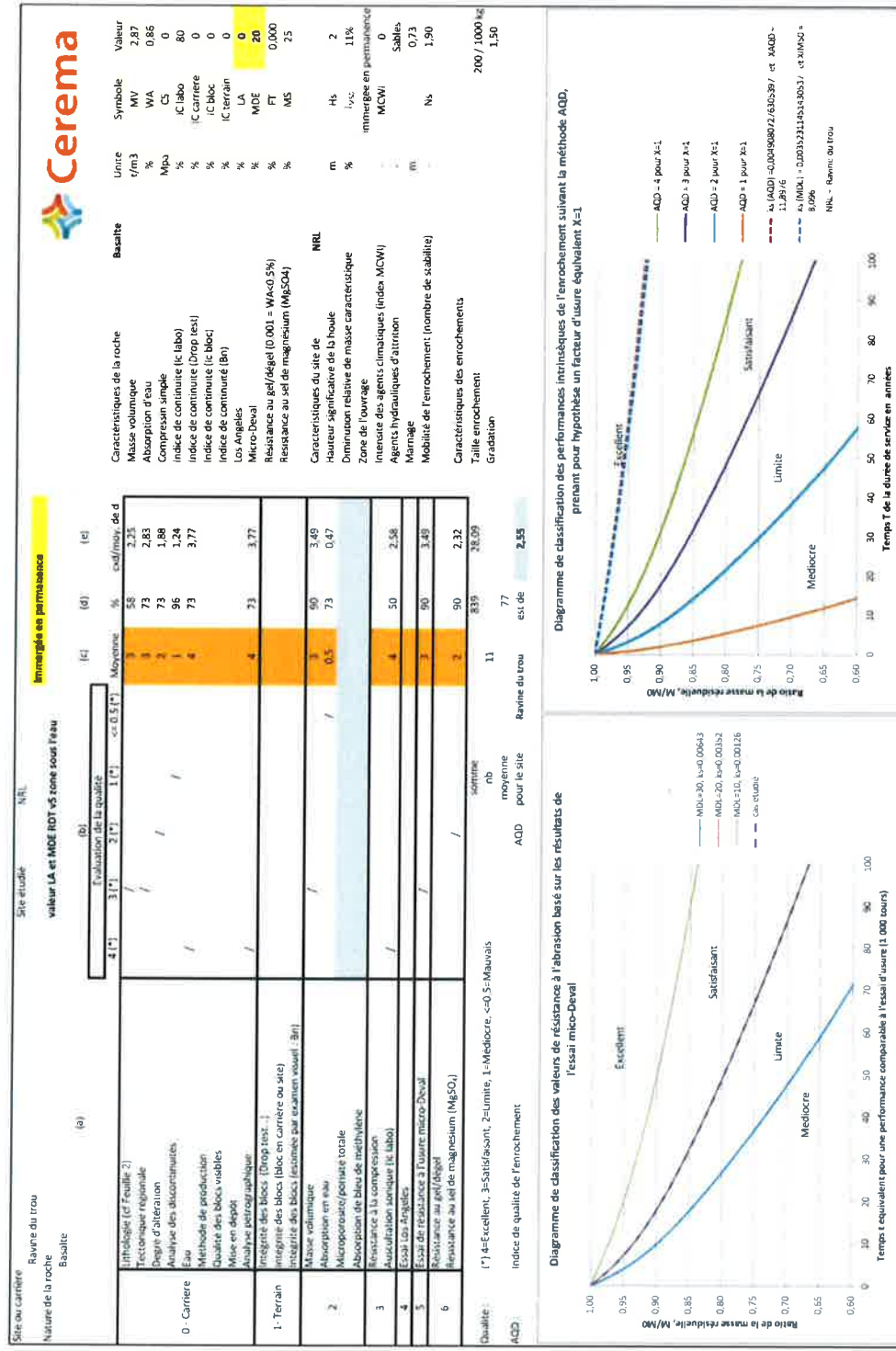


Annexe 4.8 HMA 200/1000 kg – F8 : modélisation pour le HMA200/1000 kg avec MDE=20 et IC=60

C16OA0356 - Expertise des matériaux de la future carrière de la Ravine du Trou à la Réunion – Rapport phase A

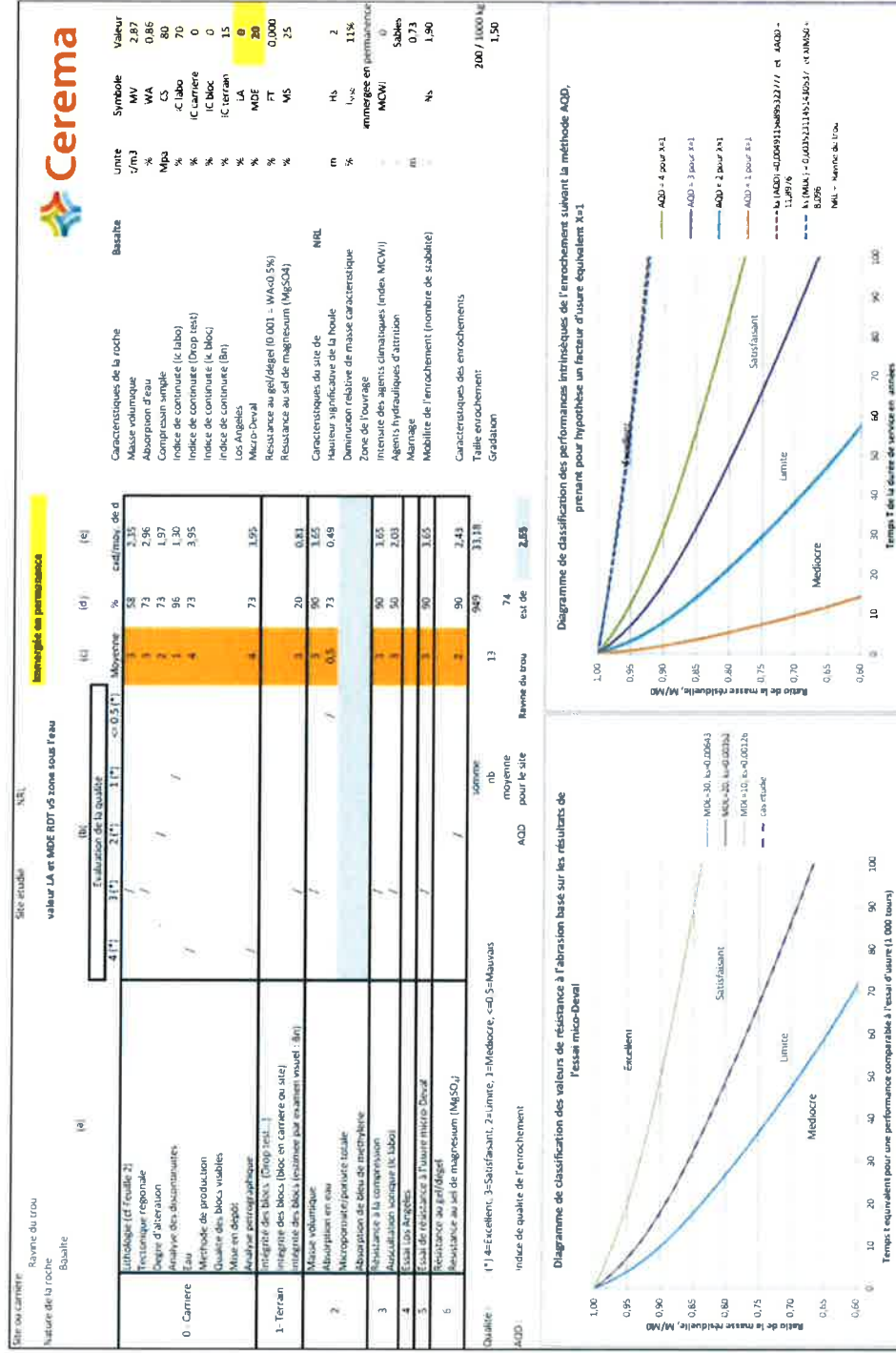


Annexe 4.9 HMA 200/1000 kg – F9 : modélisation pour le HMA200/1000 kg avec MDE=20 et IC=70

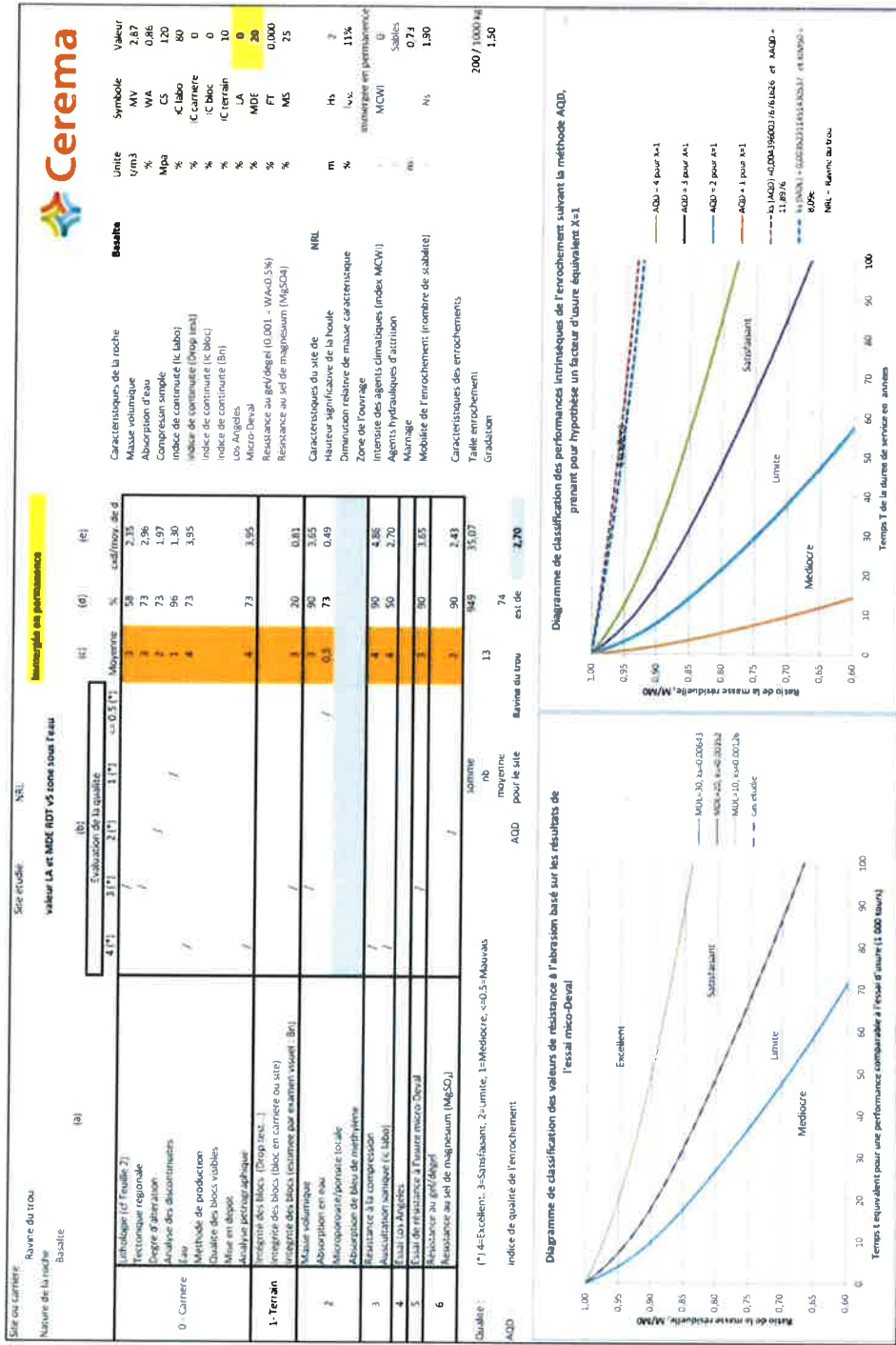


Annexe 4.10 HMA 200/1000 kg – F10 : modélisation pour le HMA200/1000 kg avec MDE=20 et IC=80

C16OA0356 -Expertise des matériaux de la future carrière de la Ravine du Trou à la Réunion – Rapport phase A



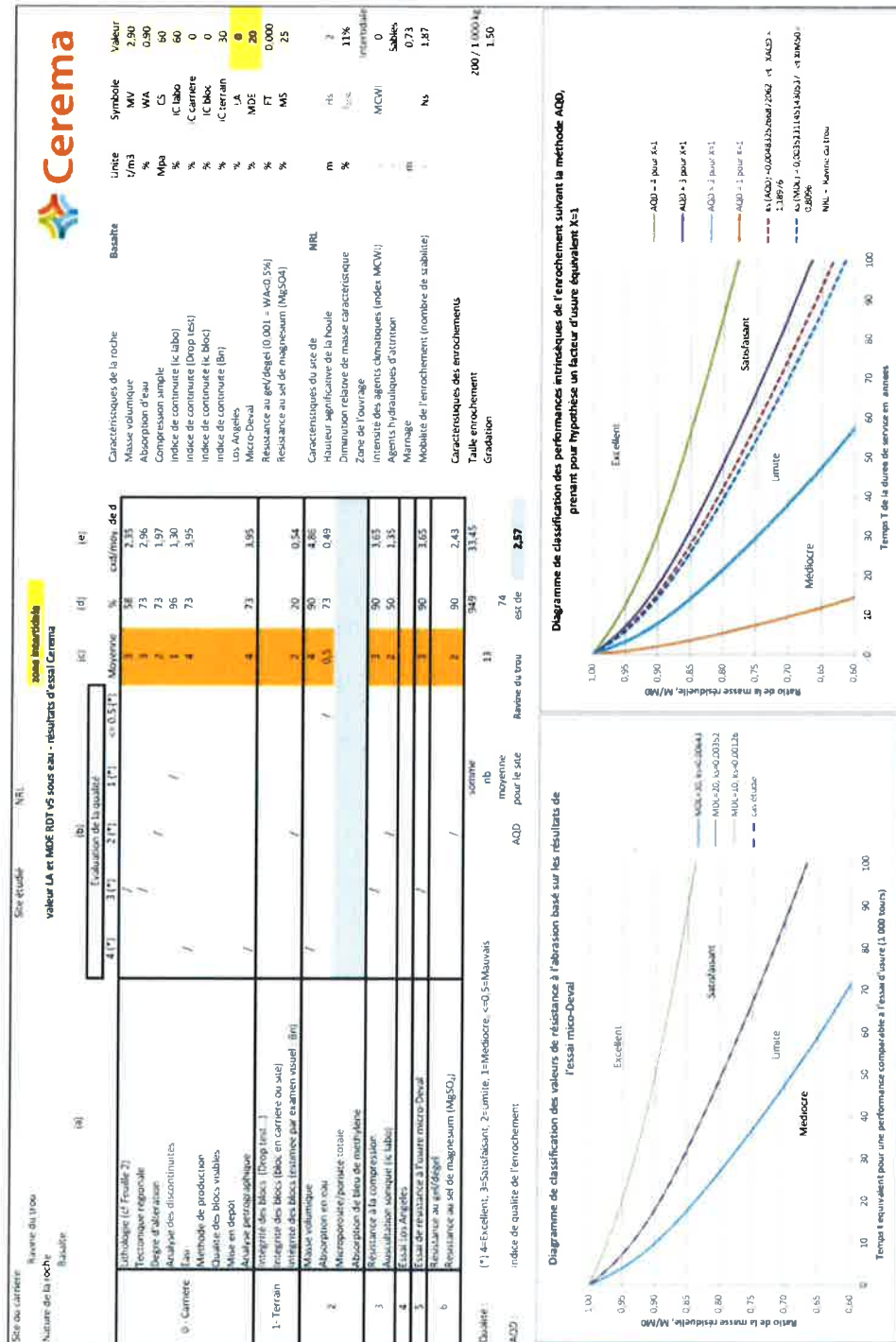
Annexe 4.11 HMA 200/1000 kg – F11 : modélisation pour le HMA200/1000 kg avec MDE=20 et Bn=15, CS=80 MPa et IC=70



Annexe 4.12 HMA 200/1000 kg – F12 : modélisation pour le HMA 200/1000 kg avec MDE=20 et Bn=10, CS=120 MPa et IC=80

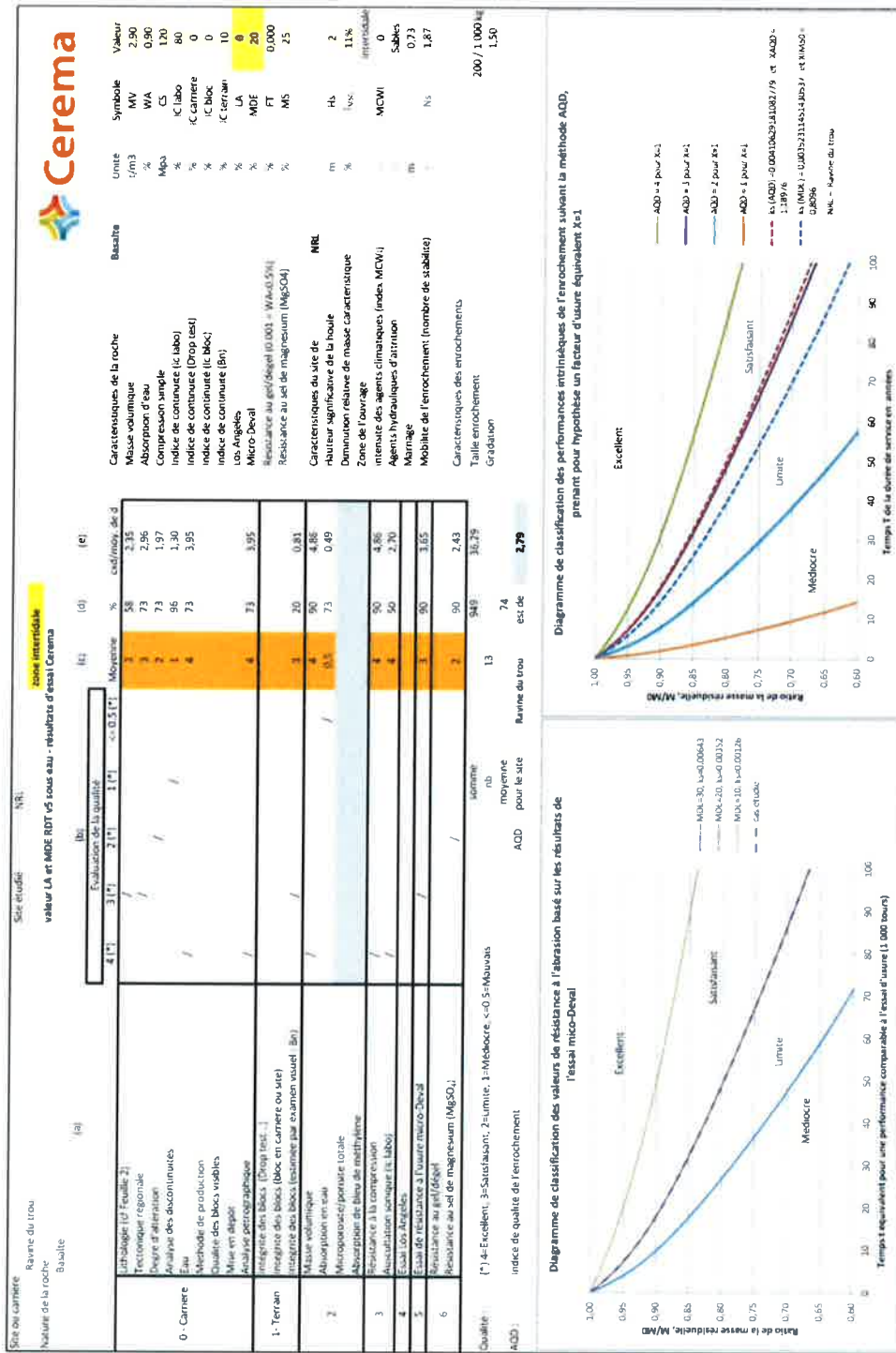
ANNEXE 5

**Matériaux HMA 200/1000 kg influence
de la zone de l'ouvrage.**



Annexe 5.1 HMA 200/1000 kg – F13 : modélisation pour le HMA200/1000 kg avec MDE=20, Bn=30 CS=60 MPa IC=60 et zone intertidale

C16OA0356 -Expertise des matériaux de la future carrière de la Ravine du Trou à la Réunion – Rapport phase A



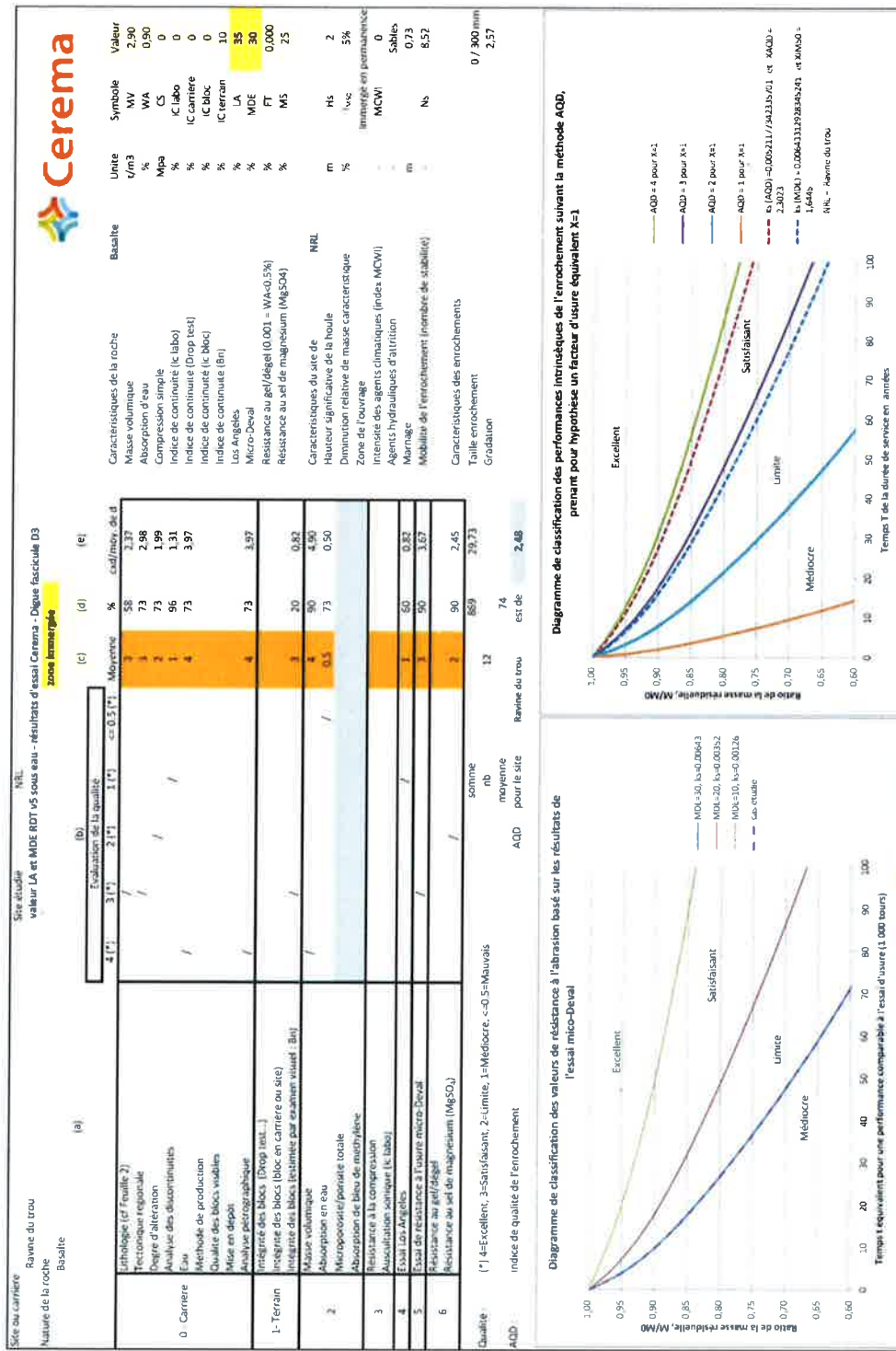
Annexe 5.2 HMA 200/1000 kg – F14 : modélisation pour le HMA200/1000 kg avec MDE=20, Bn=10 CS=120 MPA IC=80 et zone intertidale

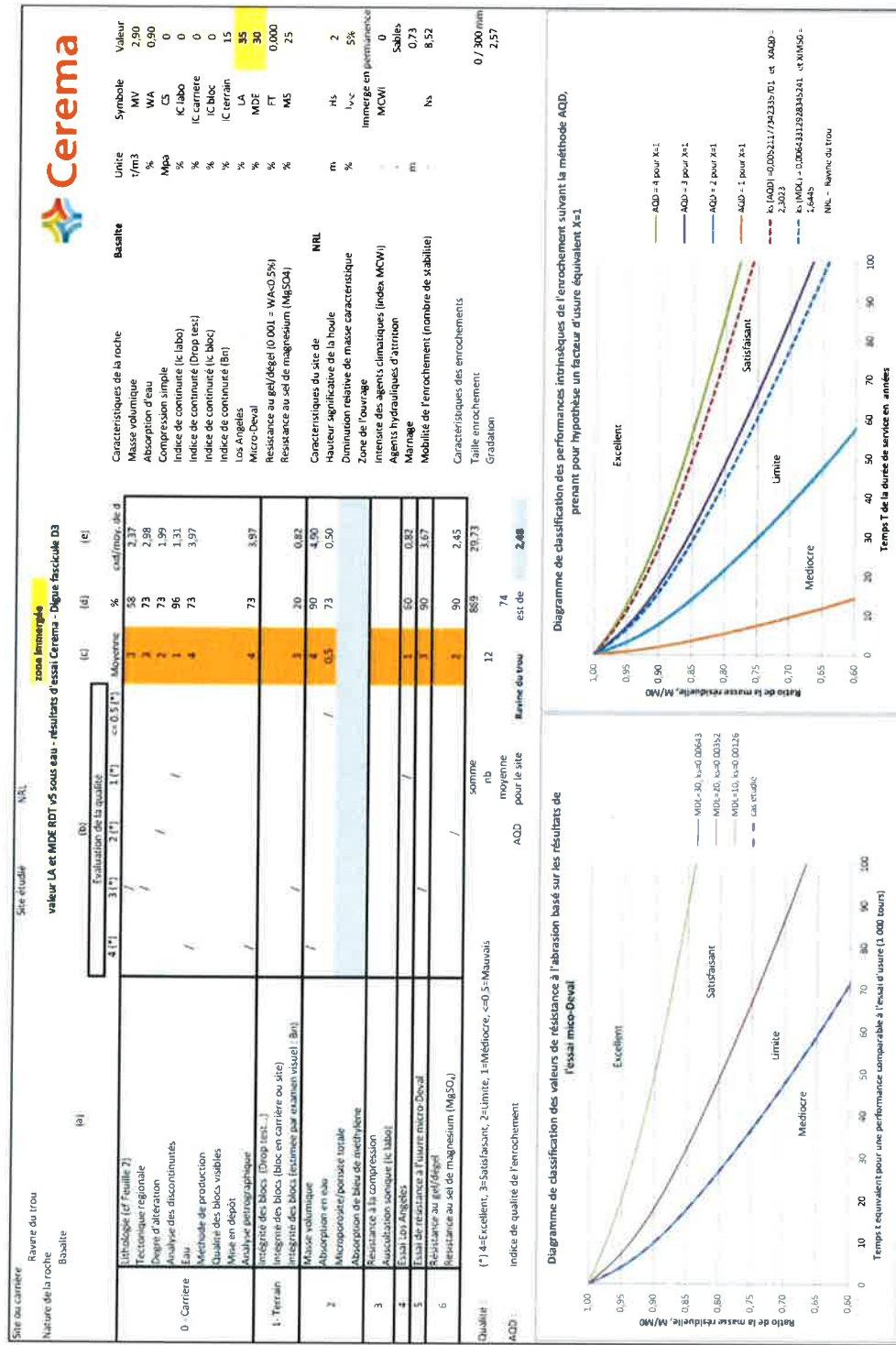
C16OA0356 -Expertise des matériaux de la future carrière de la Ravine du Trou à la Réunion – Rapport phase A

ANNEXE 6

**Matériaux CP 0/300 mm cas A - LA=35
et MDE=30.**

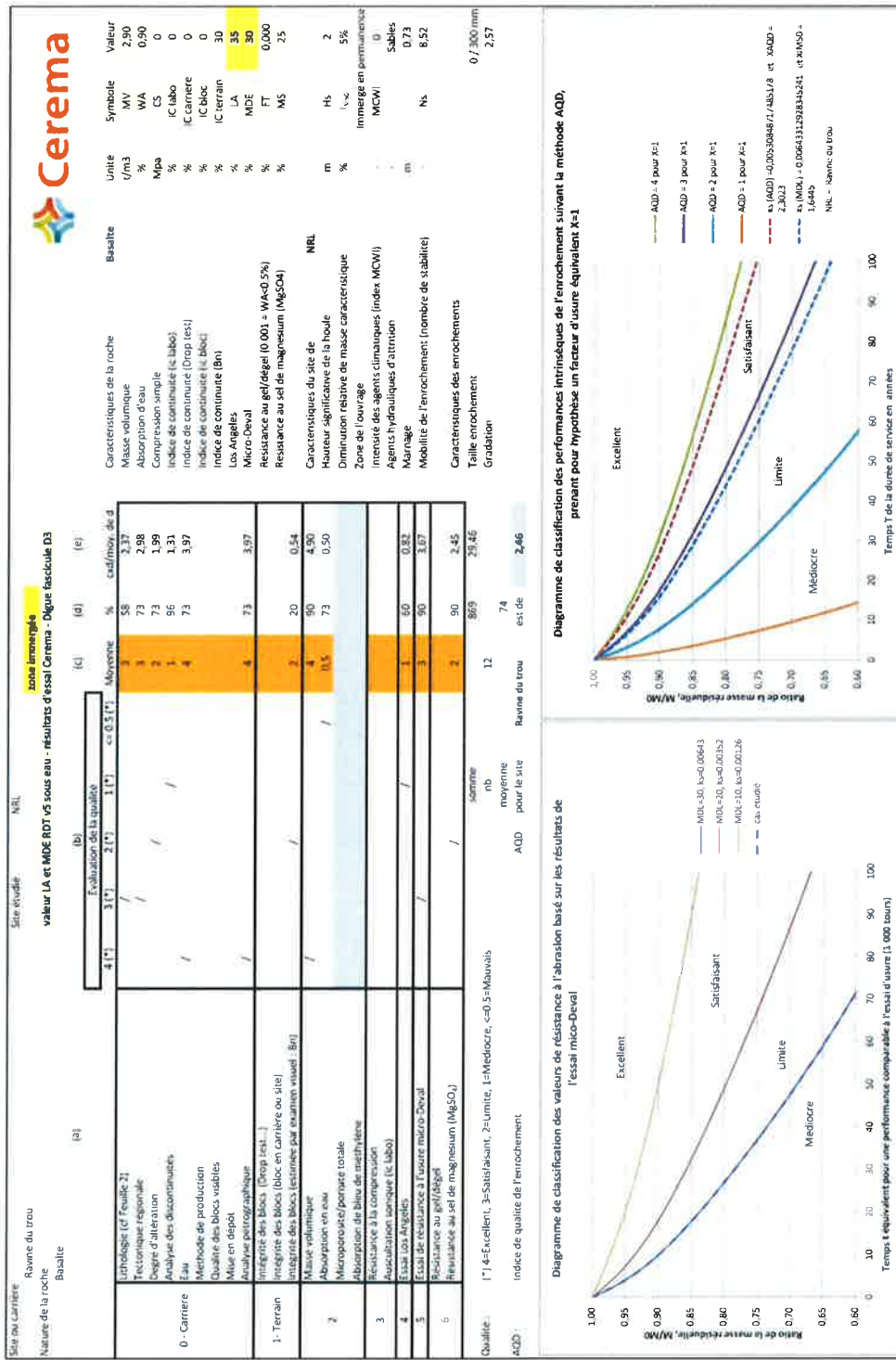
Annexe 6.1 CP 0/300 mm – F1 : modélisation pour le CP 0/300mm avec LA=35, MDE=30 et Bn=10



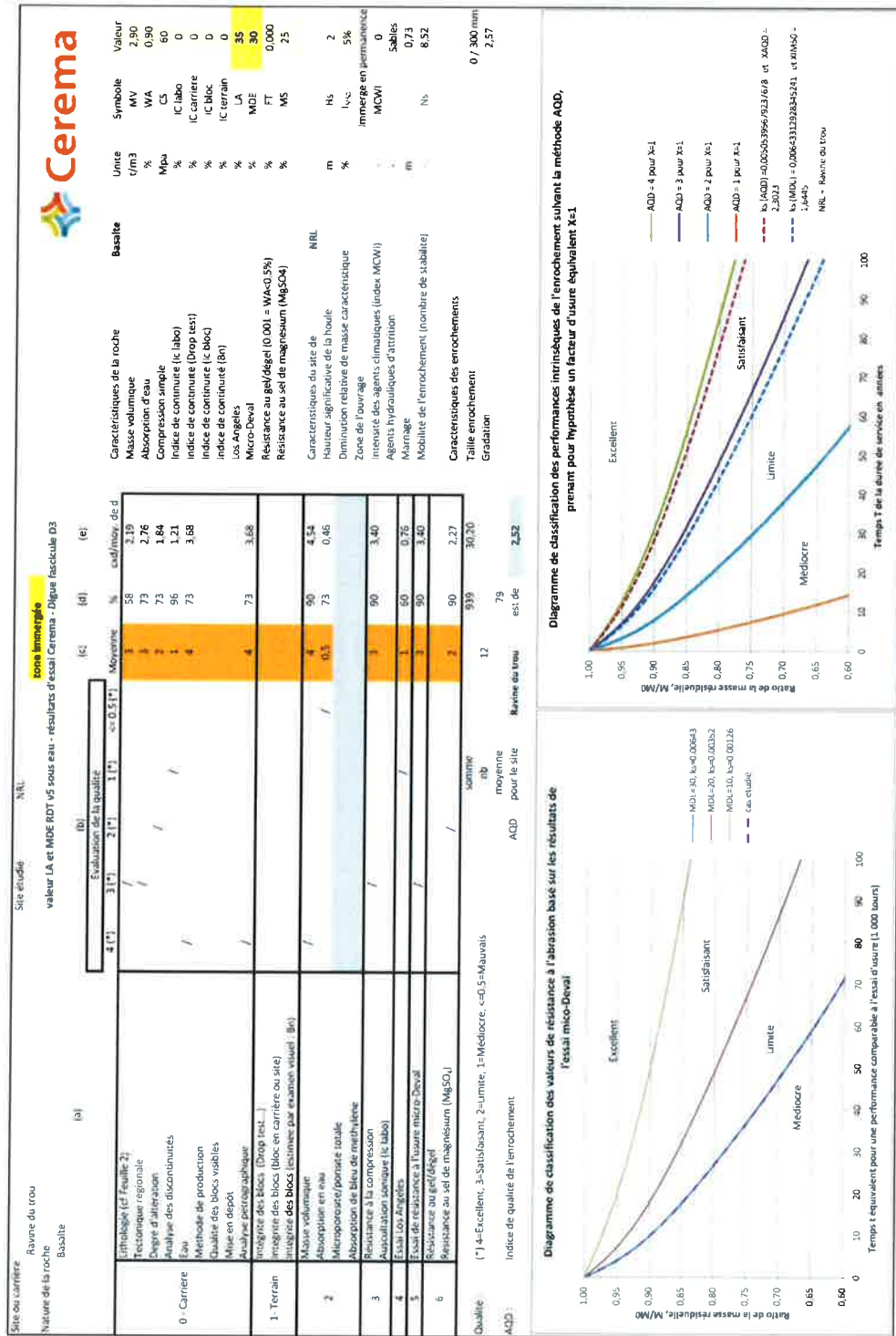


Annexe 6.2 CP 0/300 mm – F2 : modélisation pour le CP 0/300mm avec LA=35, MDE=30 et Bn=15

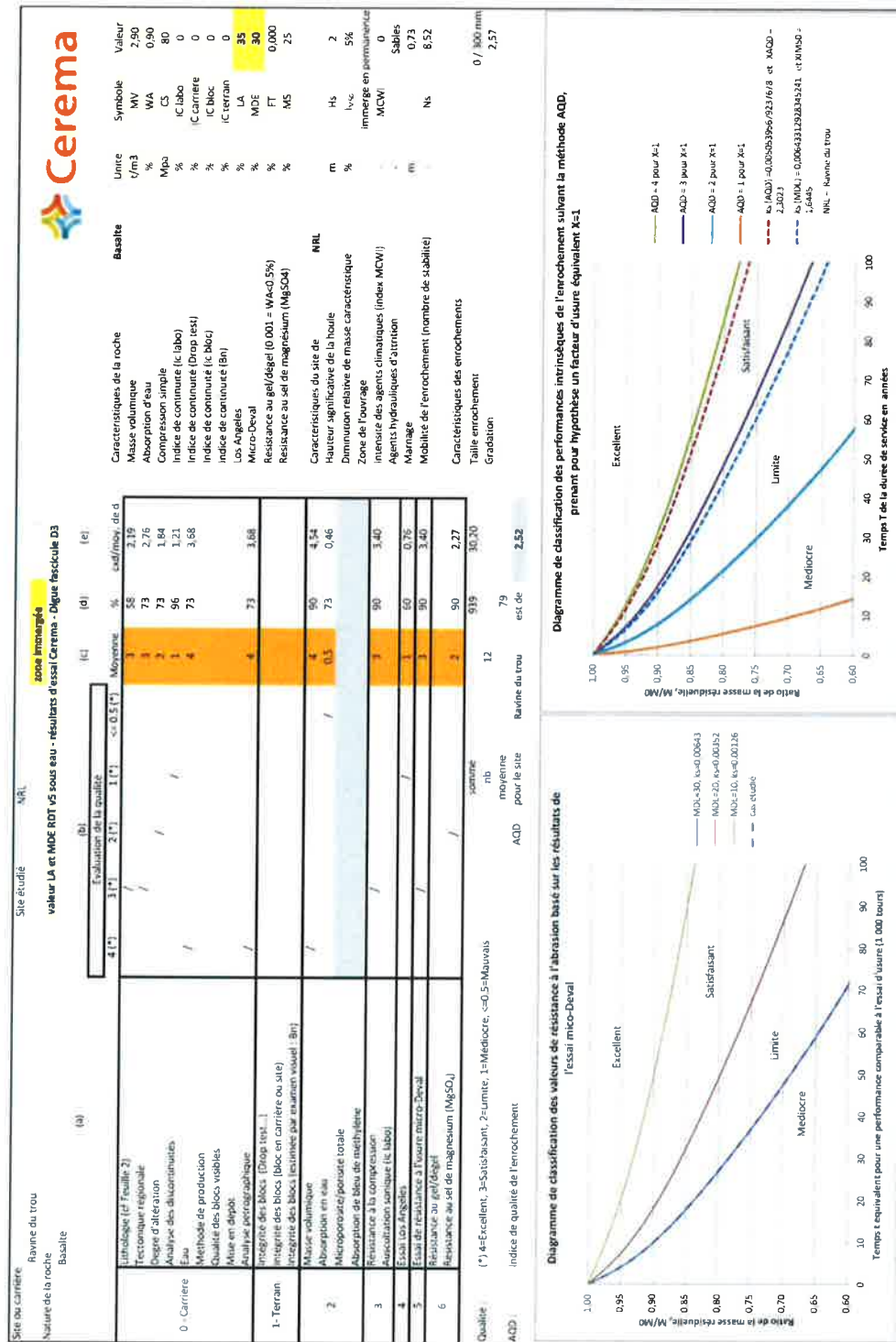
C16OA0356 -Expertise des matériaux de la future carrière de la Ravine du Trou à la Réunion – Rapport phase A



Annexe 6.3 CP 0/300 mm – F3 : modélisation pour le CP 0/300mm avec LA=35, MDE=30 et Bn=30

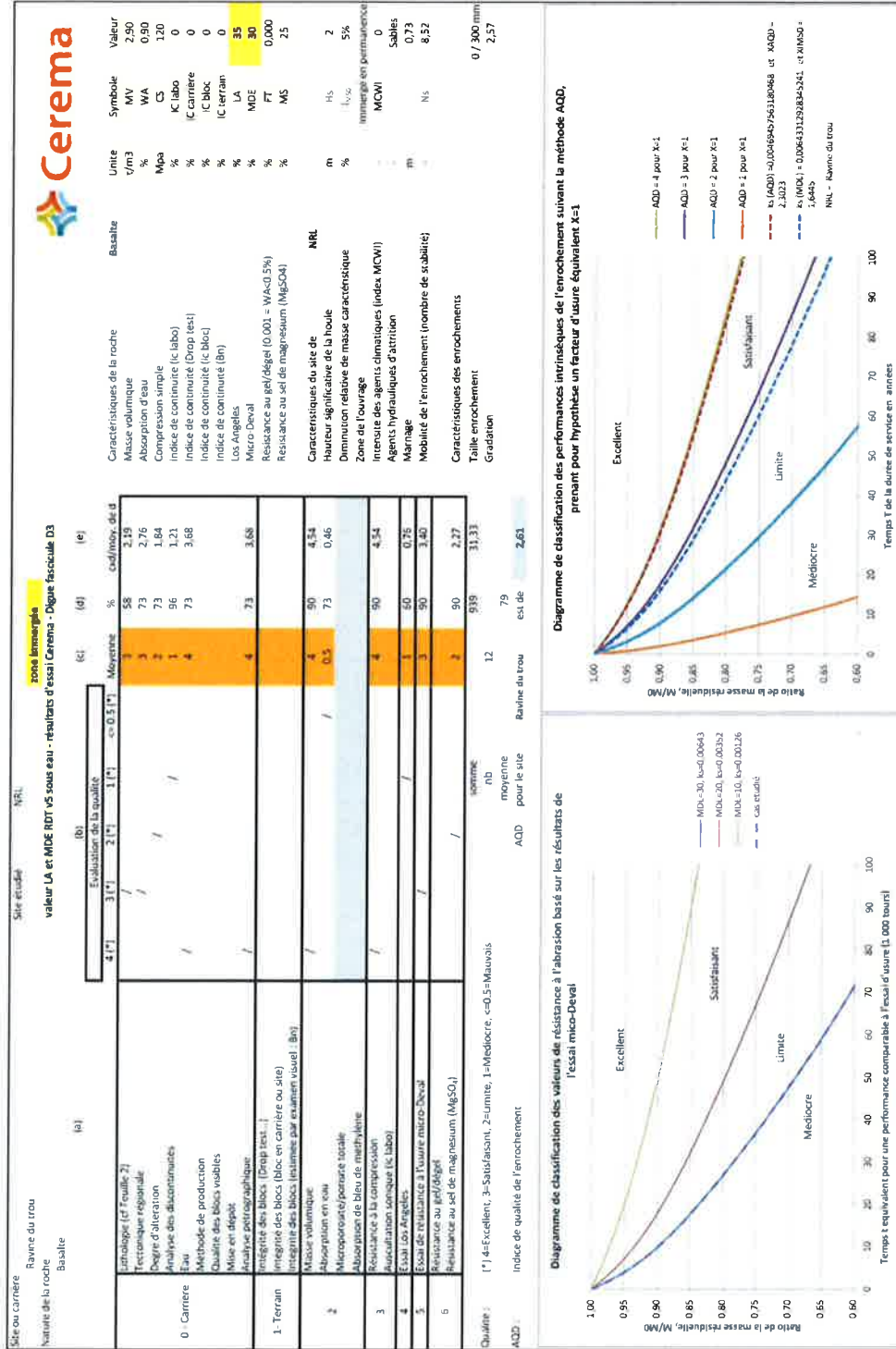


Annexe 6.4 CP 0/300 mm – F4 : modélisation pour le CP 0/300mm avec LA=35, MDE=30 et CS=60 MPa

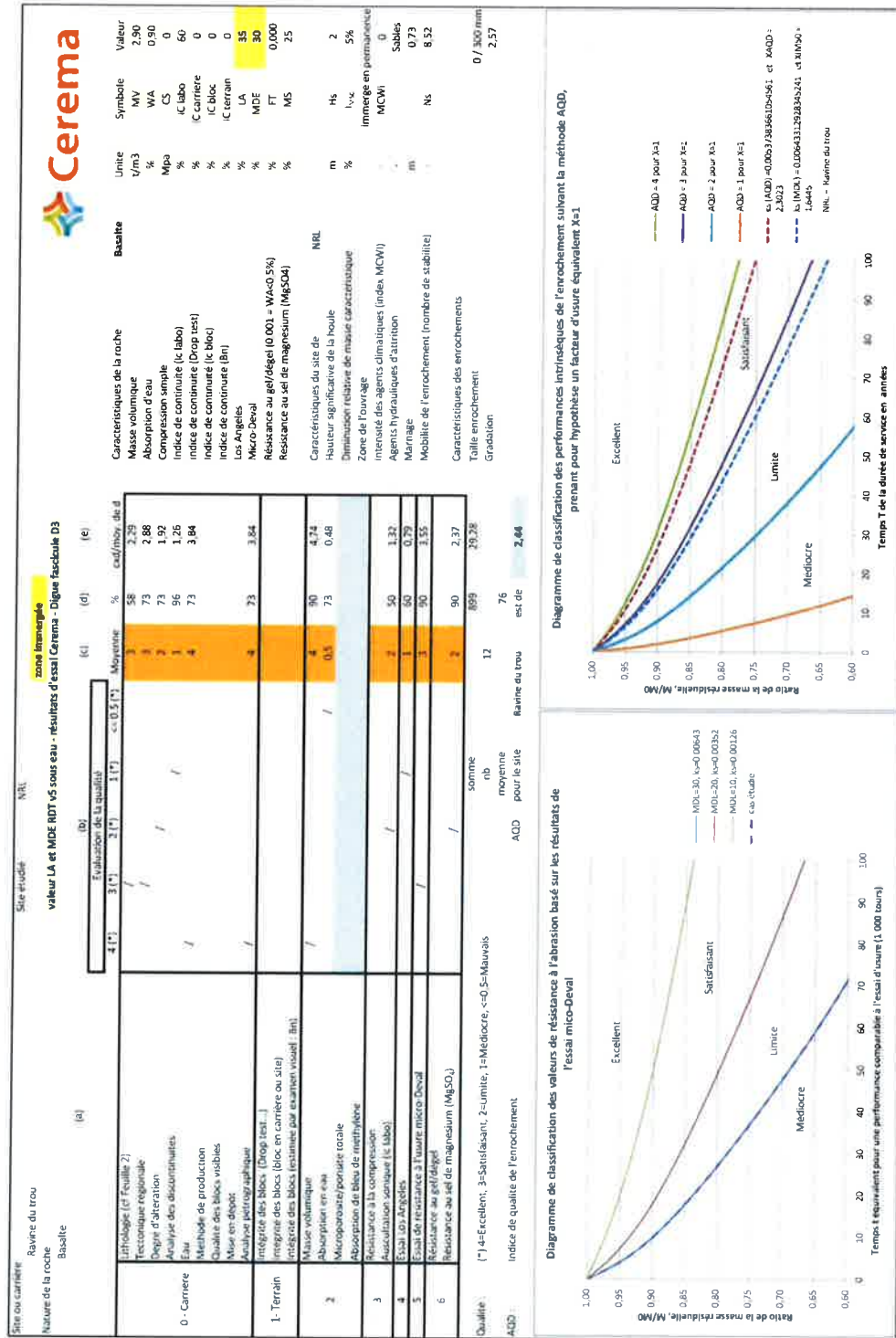


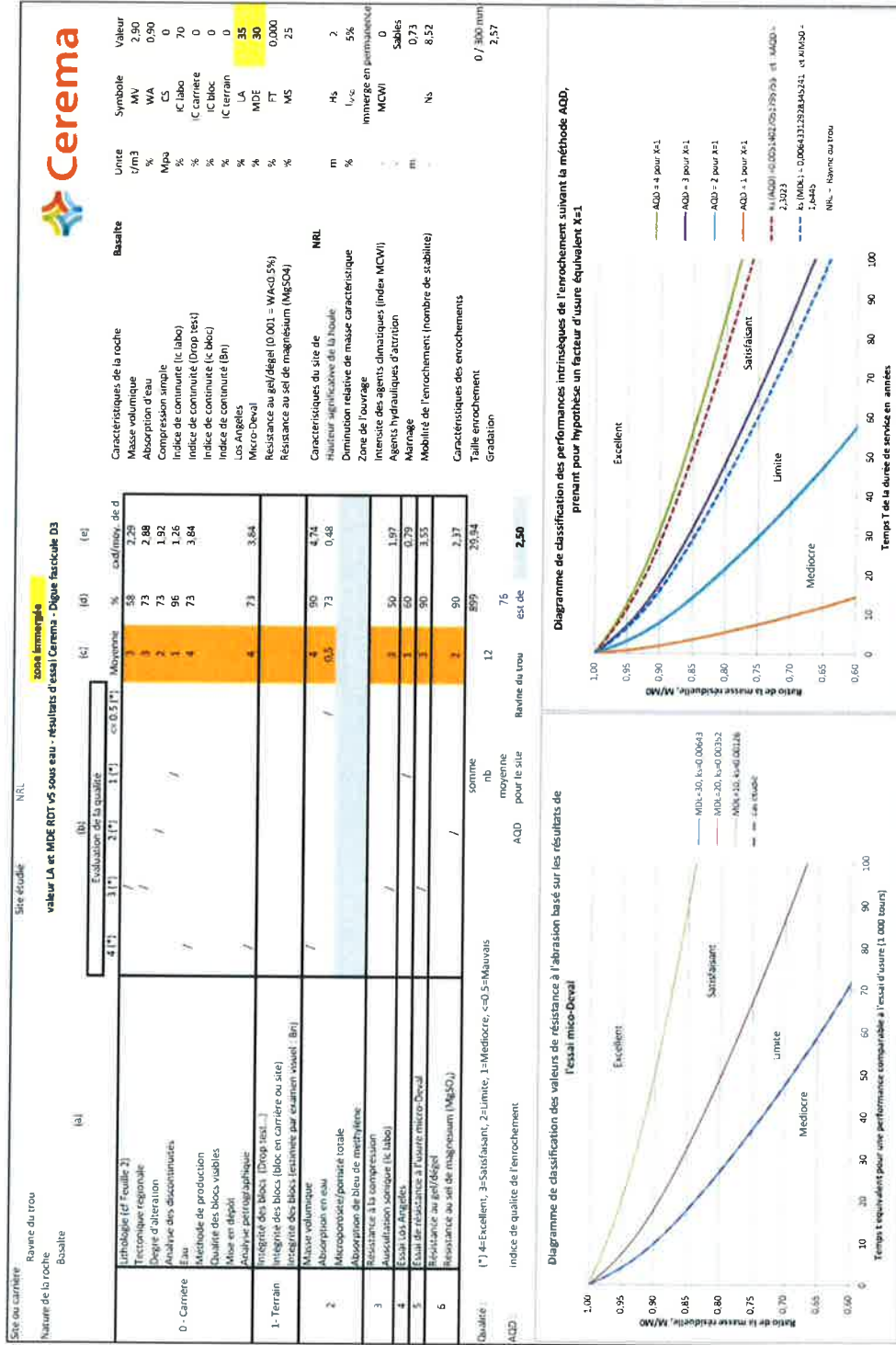
Annexe 6.5 CP 0/300 mm – F5 : modélisation pour le CP 0/300mm avec LA=35, MDE=30 et CS=80 MPa

Annexe 6.6 CP 0/300 mm – F6 : modélisation pour le CP 0/300mm avec LA=35, MDE=30 et CS=120 MPa

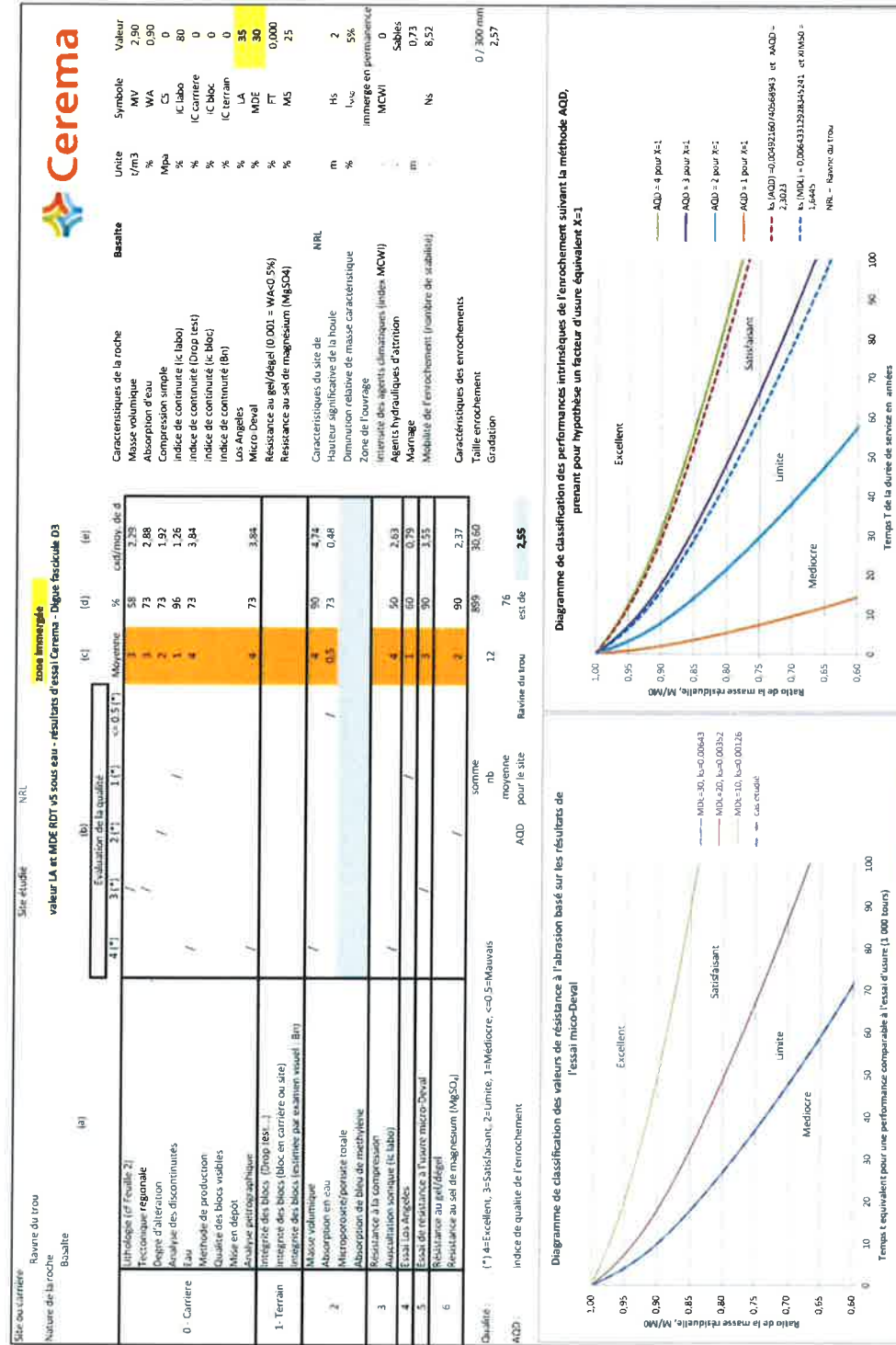


Annexe 6.7 CP 0/300 mm – F7 : modélisation pour le CP 0/300mm avec LA=35, MDE=30 et IC=60



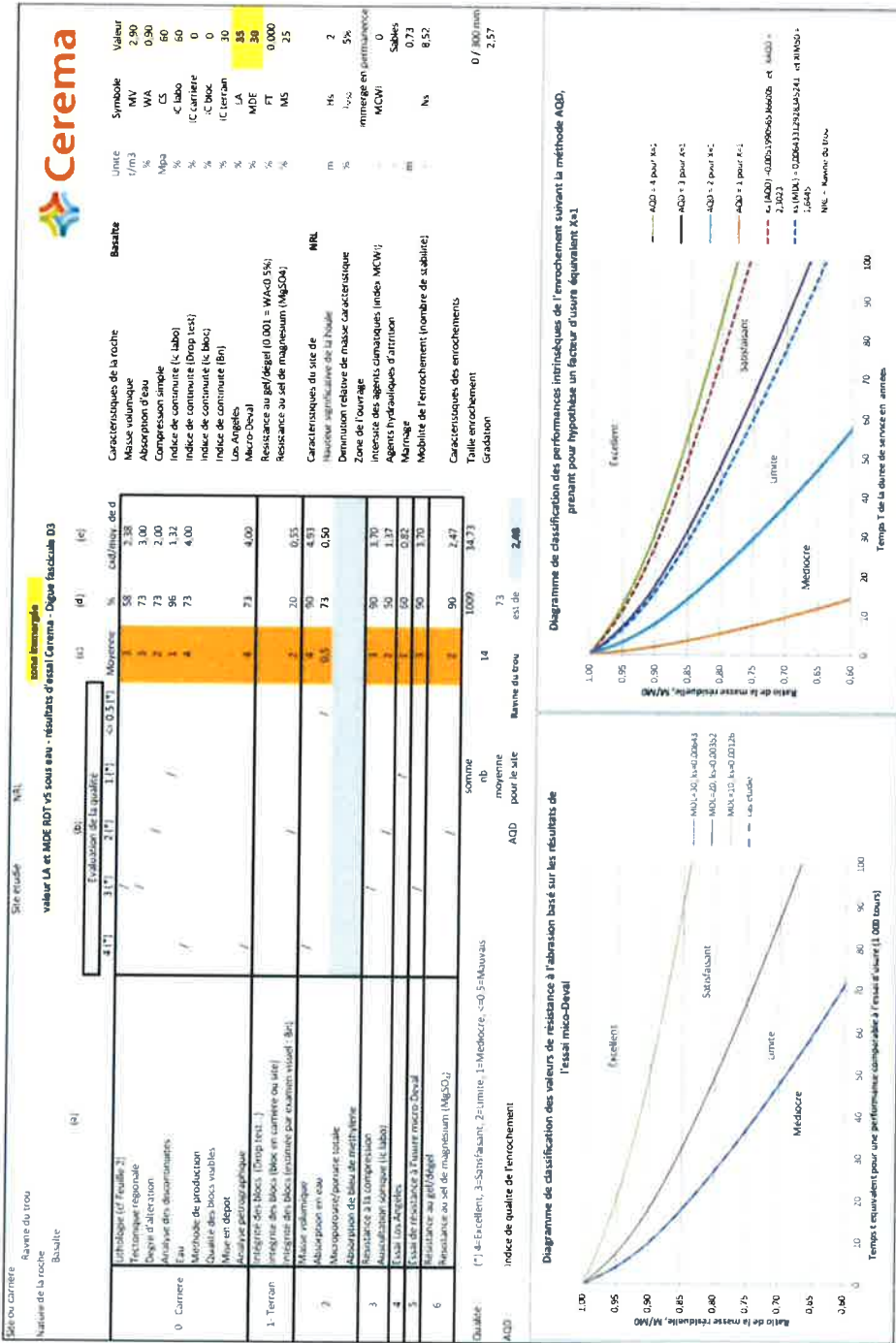


Annexe 6.8 CP 0/300 mm – F8 : modélisation pour le CP 0/300mm avec LA=35, MDE=30 et IC=70

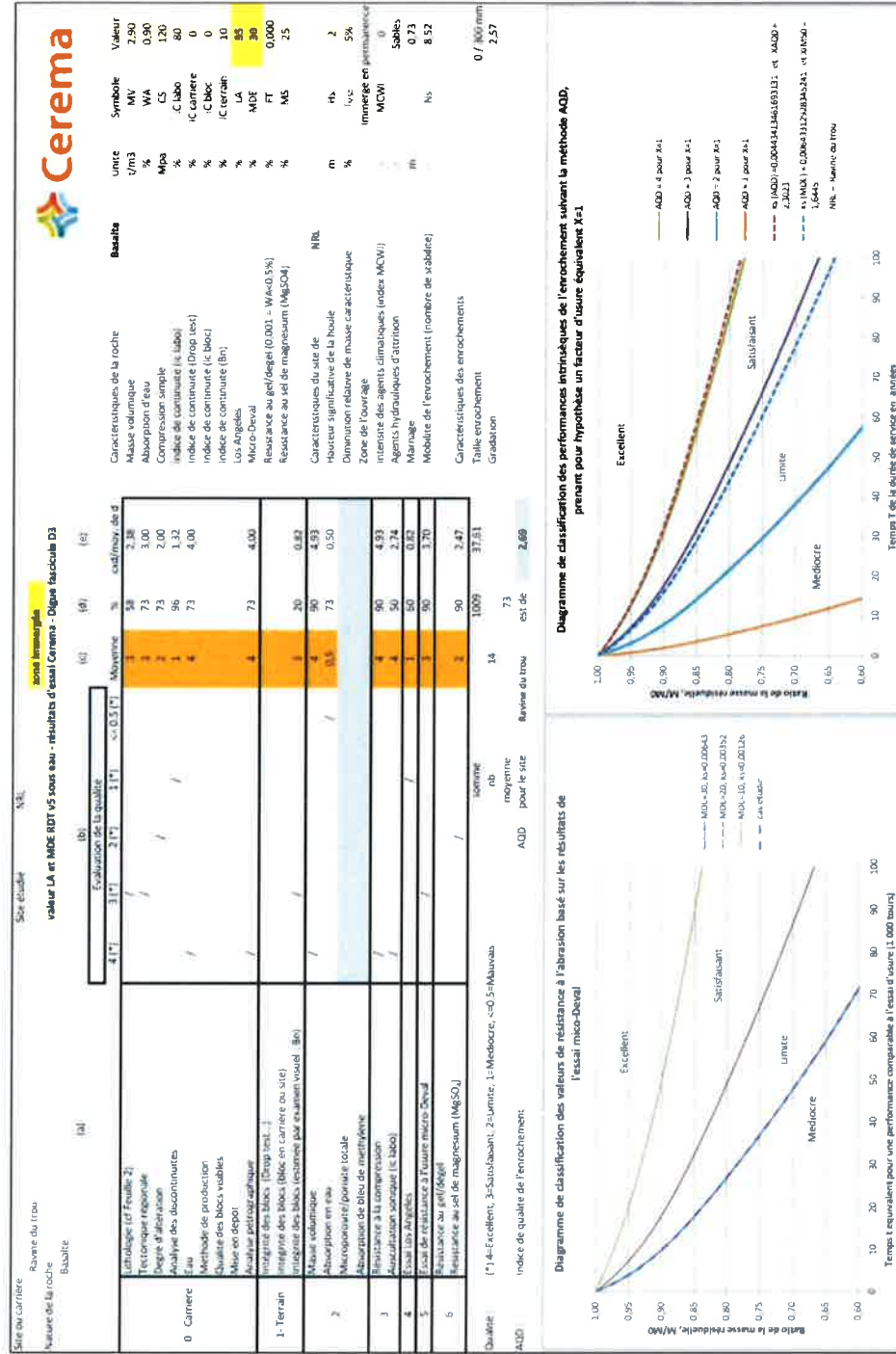


Annexe 6.9 CP 0/300 mm – F9 : modélisation pour le CP 0/300mm avec LA=35, MDE=30 et IC=80

C16OA0356 -Expertise des matériaux de la future carrière de la Ravine du Trou à la Réunion – Rapport phase A



Annexe 6.10 CP 0/300 mm – F10 : modélisation pour le CP 0/300mm avec LA=35, MDE=30 Bn=30, CS=60 MPa et IC=60



Annexe 6.11 CP 0/300 mm – F11 : modélisation pour le CP 0/300mm avec LA=35, MDE=30 Bn=10, CS=120 MPa et IC=80

C16OA0356 -Expertise des matériaux de la future carrière de la Ravine du Trou à la Réunion – Rapport phase A

ANNEXE 7

**Matériaux CP 0/300 mm cas B - LA=45
et MDE=45.**

Cerema

Site étudié: Rive droite du trou Basselle

Valeur Lé et MDE ROT vs sous eau - résultats d'essai Cerema - Digue fascicule D3

Qualité	Evaluation de la qualité			échafaudage	épaisseur de la roche	Caractéristiques de la roche	Basseuse	Unité	Symbol	Valeur
	(a)	(b)	(c)							
0 Carrière	4 (*)	3 (*)	2 (*)	1 (*)	< 0,5 (*)	Moyenne	%	t/m ³	WW	2,90
1 Tertiaire régionale	/	/	/	/	/	Massé volumique	%	WA	0,90	
2 Erosion d'érosion	/	/	/	/	/	Absorption d'eau	%	CS	0	
3 Adhérence des discontinuités	/	/	/	/	/	Compréssion simple	%	IC	0	
4 Eau	/	/	/	/	/	Indice de continuité (le labo)	%	labo	0	
5 Méthode de production	/	/	/	/	/	Indice de continuité (le bloc)	%	carrière	0	
6 Qualité des blocs visibles	/	/	/	/	/	Indice de continuité (le bloc)	%	IC bloc	0	
7 Milieu en dépôt	/	/	/	/	/	Indice de continuité (le bloc)	%	IC terrain	10	
8 Analyse pétrographique	/	/	/	/	/	Indice de continuité (le bloc)	%	LA	0	
9 Intégrité des blocs (Dip test.)	/	/	/	/	/	Indice de continuité (le bloc)	%	MD	45	
10 Impact des blocs (poids en carrière ou site)	/	/	/	/	/	Indice de continuité (le bloc)	%	FT	0,000	
11 Indicateur des blocs testinés par l'essai en site (Bei)	/	/	/	/	/	Indice de continuité (le bloc)	%	MS	25	
12 Massé volumique	/	/	/	/	/	Caractéristiques du site de	NBL			
13 Absorption en eau	/	/	/	/	/	Hauteur significative de la houle	m	HS	2	
14 Manipulation/Opératrice initiale	/	/	/	/	/	Déminoration relative de masse volumique	%	IVS	5%	
15 Absorption de bélots de mér舐�	/	/	/	/	/	Zone de l'ouvrage	MCW	0		
16 Résistance à la compression	/	/	/	/	/	Intensité des agents climatiques (index MCW)		Sables	0	
17 Auscultation sonique (le labo)	/	/	/	/	/	Agents s'hydrauliques d'armement			0,73	
18 Eau (Los Angeles)	/	/	/	/	/	Marche			0,52	
19 Eau de rétention, érosion marine/Déval	/	/	/	/	/	Mobilité de l'enrocement (nombre de stabilité)			2,57	
20 Résistance au gel/HS8	/	/	/	/	/	Caractéristiques des enrochements			0 / 300 mm	
21 Résistance des sols de magnésium (MgSO ₄)	/	/	/	/	/	Taille en roches/terre				
Qualité:	6	5	4	3	2	1	érosion du trou			
ADG:	indice de qualité de l'enrocement	ADG	ADG pour le site	ADG moyenne	ADG somme	nb	12	74	2,19	

(*) 4=Excellent, 3=Satisfaisant, 2=limite, 1=Médiocre, <-0,5=Mauvais.

ADG : indice de qualité de l'enrocement.

Diagramme de classification des valeurs de résistance à l'abrasion basé sur les résultats de l'essai micco-Déval

Y-axis: Ratio de la masse résistante / Ratio de l'abrasion (kg/m²) [kg/m²]

X-axis: Temps de l'érosion (en minutes) [minutes]

Legend:

- ADG = 4 pour x1: Yellow solid line
- ADG = 3 pour x1: Orange dashed line
- ADG = 2 pour x1: Blue dash-dot line
- ADG = 1 pour x1: Red dotted line
- ADG = 0 pour x1: Green long-dashed line
- ADG = 1 pour x2: Yellow solid line
- ADG = 2 pour x2: Orange dashed line
- ADG = 3 pour x2: Blue dash-dot line
- ADG = 4 pour x2: Red dotted line
- ADG = 0 pour x2: Green long-dashed line
- ADG = 1 pour x3: Yellow solid line
- ADG = 2 pour x3: Orange dashed line
- ADG = 3 pour x3: Blue dash-dot line
- ADG = 4 pour x3: Red dotted line
- ADG = 0 pour x3: Green long-dashed line

Diagramme de classification des performances intrinsèques de l'enrocement suivant la méthode ADG, prenant pour hypothèse un facteur d'usure équivalent à 1

Y-axis: Évaluation: Excellent, Satisfaisant, Limite, Médiocre, Mauvais.

X-axis: Temps de l'érosion (en minutes) [minutes]

Legend:

- ADG = 4 pour x1: Yellow solid line
- ADG = 3 pour x1: Orange dashed line
- ADG = 2 pour x1: Blue dash-dot line
- ADG = 1 pour x1: Red dotted line
- ADG = 0 pour x1: Green long-dashed line
- ADG = 1 pour x2: Yellow solid line
- ADG = 2 pour x2: Orange dashed line
- ADG = 3 pour x2: Blue dash-dot line
- ADG = 4 pour x2: Red dotted line
- ADG = 0 pour x2: Green long-dashed line
- ADG = 1 pour x3: Yellow solid line
- ADG = 2 pour x3: Orange dashed line
- ADG = 3 pour x3: Blue dash-dot line
- ADG = 4 pour x3: Red dotted line
- ADG = 0 pour x3: Green long-dashed line

Diagramme de classification des performances empiriques à l'essai du trou (1000 litres/h)

Y-axis: Qualité: Excellent, Satisfaisant, Limite, Médiocre, Mauvais.

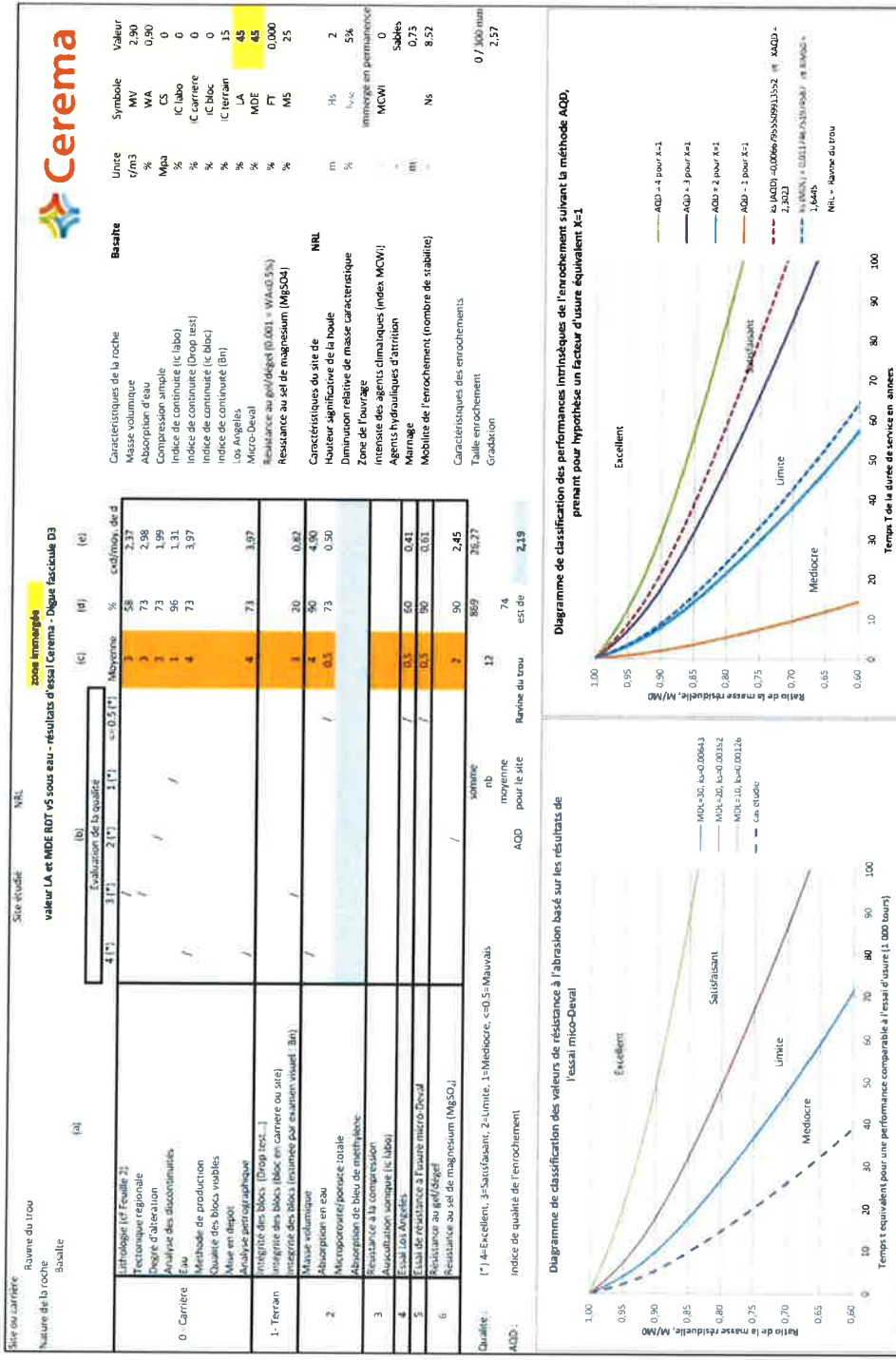
X-axis: Temps de l'érosion (en minutes) [minutes]

Legend:

- ADG = 4 pour x1: Yellow solid line
- ADG = 3 pour x1: Orange dashed line
- ADG = 2 pour x1: Blue dash-dot line
- ADG = 1 pour x1: Red dotted line
- ADG = 0 pour x1: Green long-dashed line
- ADG = 1 pour x2: Yellow solid line
- ADG = 2 pour x2: Orange dashed line
- ADG = 3 pour x2: Blue dash-dot line
- ADG = 4 pour x2: Red dotted line
- ADG = 0 pour x2: Green long-dashed line
- ADG = 1 pour x3: Yellow solid line
- ADG = 2 pour x3: Orange dashed line
- ADG = 3 pour x3: Blue dash-dot line
- ADG = 4 pour x3: Red dotted line
- ADG = 0 pour x3: Green long-dashed line

Annexe 7.1 CP 0/300 mm - F12 : modélisation pour le CP 0/300mm avec $|A|=45^\circ$, $MDE=45^\circ$ et

Bn=10



Annexe 7.2 CP 0/300 mm – F13 : modélisation pour le CP 0/300mm avec LA=45, MDE=45 et Bn=15

Diagramme de classification des performances intrinsecques de l'enrochement suivant la méthode ADD, prenant pour hypothèse un facteur d'usure équivalent à 1.

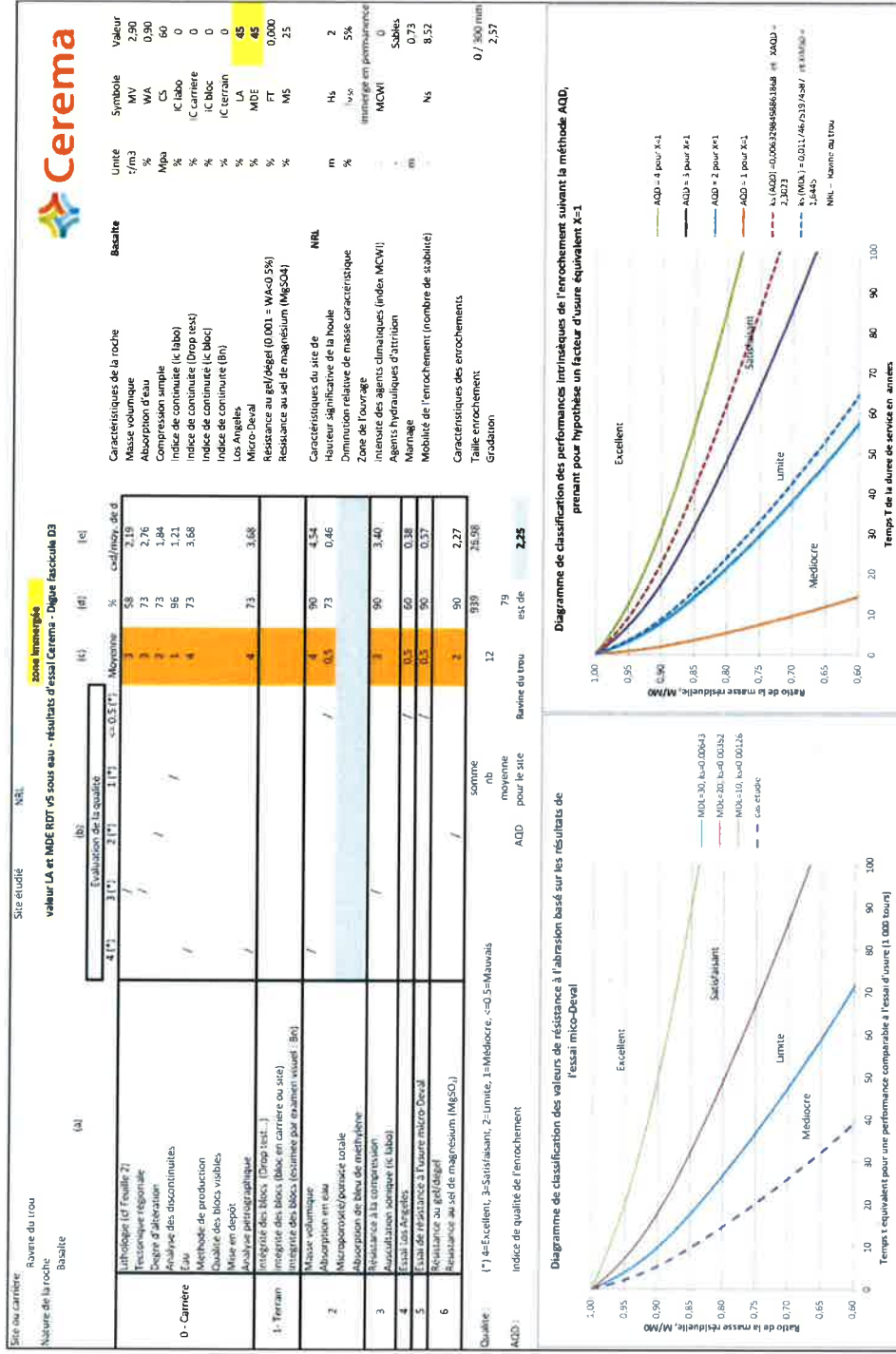
Y-axis: Valeur ADD et MDE ROT vs sous eau - résultats d'essai Cerema - Digue fascicule D3

X-axis: Temps 1 de l'enrochement (en années)

Legend:

- ADD = 4 pour x=1
- ADD = 3 pour x=1
- ADD = 2 pour x=1
- ADD = 1 pour x=1
- ADD = 0,5 pour x=1
- ADD = 0 pour x=1
- ADD = 0,5 pour x=2
- ADD = 0 pour x=2
- ADD = 0,5 pour x=3
- ADD = 0 pour x=3
- ADD = 0,5 pour x=4
- ADD = 0 pour x=4
- ADD = 0 pour x=5
- ADD = 0 pour x=5
- ADD = 0 pour x=6
- ADD = 0 pour x=6
- ADD = 0 pour x=7
- ADD = 0 pour x=7
- ADD = 0 pour x=8
- ADD = 0 pour x=8
- ADD = 0 pour x=9
- ADD = 0 pour x=9
- ADD = 0 pour x=10
- ADD = 0 pour x=10
- ADD = 0 pour x=11
- ADD = 0 pour x=11
- ADD = 0 pour x=12
- ADD = 0 pour x=12
- ADD = 0 pour x=13
- ADD = 0 pour x=13
- ADD = 0 pour x=14
- ADD = 0 pour x=14
- ADD = 0 pour x=15
- ADD = 0 pour x=15
- ADD = 0 pour x=16
- ADD = 0 pour x=16
- ADD = 0 pour x=17
- ADD = 0 pour x=17
- ADD = 0 pour x=18
- ADD = 0 pour x=18
- ADD = 0 pour x=19
- ADD = 0 pour x=19
- ADD = 0 pour x=20
- ADD = 0 pour x=20
- ADD = 0 pour x=21
- ADD = 0 pour x=21
- ADD = 0 pour x=22
- ADD = 0 pour x=22
- ADD = 0 pour x=23
- ADD = 0 pour x=23
- ADD = 0 pour x=24
- ADD = 0 pour x=24
- ADD = 0 pour x=25
- ADD = 0 pour x=25
- ADD = 0 pour x=26
- ADD = 0 pour x=26
- ADD = 0 pour x=27
- ADD = 0 pour x=27
- ADD = 0 pour x=28
- ADD = 0 pour x=28
- ADD = 0 pour x=29
- ADD = 0 pour x=29
- ADD = 0 pour x=30
- ADD = 0 pour x=30
- ADD = 0 pour x=31
- ADD = 0 pour x=31
- ADD = 0 pour x=32
- ADD = 0 pour x=32
- ADD = 0 pour x=33
- ADD = 0 pour x=33
- ADD = 0 pour x=34
- ADD = 0 pour x=34
- ADD = 0 pour x=35
- ADD = 0 pour x=35
- ADD = 0 pour x=36
- ADD = 0 pour x=36
- ADD = 0 pour x=37
- ADD = 0 pour x=37
- ADD = 0 pour x=38
- ADD = 0 pour x=38
- ADD = 0 pour x=39
- ADD = 0 pour x=39
- ADD = 0 pour x=40
- ADD = 0 pour x=40
- ADD = 0 pour x=41
- ADD = 0 pour x=41
- ADD = 0 pour x=42
- ADD = 0 pour x=42
- ADD = 0 pour x=43
- ADD = 0 pour x=43
- ADD = 0 pour x=44
- ADD = 0 pour x=44
- ADD = 0 pour x=45
- ADD = 0 pour x=45
- ADD = 0 pour x=46
- ADD = 0 pour x=46
- ADD = 0 pour x=47
- ADD = 0 pour x=47
- ADD = 0 pour x=48
- ADD = 0 pour x=48
- ADD = 0 pour x=49
- ADD = 0 pour x=49
- ADD = 0 pour x=50
- ADD = 0 pour x=50
- ADD = 0 pour x=51
- ADD = 0 pour x=51
- ADD = 0 pour x=52
- ADD = 0 pour x=52
- ADD = 0 pour x=53
- ADD = 0 pour x=53
- ADD = 0 pour x=54
- ADD = 0 pour x=54
- ADD = 0 pour x=55
- ADD = 0 pour x=55
- ADD = 0 pour x=56
- ADD = 0 pour x=56
- ADD = 0 pour x=57
- ADD = 0 pour x=57
- ADD = 0 pour x=58
- ADD = 0 pour x=58
- ADD = 0 pour x=59
- ADD = 0 pour x=59
- ADD = 0 pour x=60
- ADD = 0 pour x=60
- ADD = 0 pour x=61
- ADD = 0 pour x=61
- ADD = 0 pour x=62
- ADD = 0 pour x=62
- ADD = 0 pour x=63
- ADD = 0 pour x=63
- ADD = 0 pour x=64
- ADD = 0 pour x=64
- ADD = 0 pour x=65
- ADD = 0 pour x=65
- ADD = 0 pour x=66
- ADD = 0 pour x=66
- ADD = 0 pour x=67
- ADD = 0 pour x=67
- ADD = 0 pour x=68
- ADD = 0 pour x=68
- ADD = 0 pour x=69
- ADD = 0 pour x=69
- ADD = 0 pour x=70
- ADD = 0 pour x=70
- ADD = 0 pour x=71
- ADD = 0 pour x=71
- ADD = 0 pour x=72
- ADD = 0 pour x=72
- ADD = 0 pour x=73
- ADD = 0 pour x=73
- ADD = 0 pour x=74
- ADD = 0 pour x=74
- ADD = 0 pour x=75
- ADD = 0 pour x=75
- ADD = 0 pour x=76
- ADD = 0 pour x=76
- ADD = 0 pour x=77
- ADD = 0 pour x=77
- ADD = 0 pour x=78
- ADD = 0 pour x=78
- ADD = 0 pour x=79
- ADD = 0 pour x=79
- ADD = 0 pour x=80
- ADD = 0 pour x=80
- ADD = 0 pour x=81
- ADD = 0 pour x=81
- ADD = 0 pour x=82
- ADD = 0 pour x=82
- ADD = 0 pour x=83
- ADD = 0 pour x=83
- ADD = 0 pour x=84
- ADD = 0 pour x=84
- ADD = 0 pour x=85
- ADD = 0 pour x=85
- ADD = 0 pour x=86
- ADD = 0 pour x=86
- ADD = 0 pour x=87
- ADD = 0 pour x=87
- ADD = 0 pour x=88
- ADD = 0 pour x=88
- ADD = 0 pour x=89
- ADD = 0 pour x=89
- ADD = 0 pour x=90
- ADD = 0 pour x=90
- ADD = 0 pour x=91
- ADD = 0 pour x=91
- ADD = 0 pour x=92
- ADD = 0 pour x=92
- ADD = 0 pour x=93
- ADD = 0 pour x=93
- ADD = 0 pour x=94
- ADD = 0 pour x=94
- ADD = 0 pour x=95
- ADD = 0 pour x=95
- ADD = 0 pour x=96
- ADD = 0 pour x=96
- ADD = 0 pour x=97
- ADD = 0 pour x=97
- ADD = 0 pour x=98
- ADD = 0 pour x=98
- ADD = 0 pour x=99
- ADD = 0 pour x=99
- ADD = 0 pour x=100
- ADD = 0 pour x=100

Annexe 7.3 CP 0/300 mm – F14 : modélisation pour le CP 0/300mm avec LA=45, MDE=45 et Bn=30



Annexe 7.4 CP 0/300 mm – F15 : modélisation pour le CP 0/300mm avec LA=45, MDE=45 et CS=60 MPa

Cerema

Site ou carrière Rayon du trou
Nature de la roche Basalte

valeur LA et MDE ADL vs sous eau - résultats d'essai Cerema - Digue fascicule D3

2006 Immergée

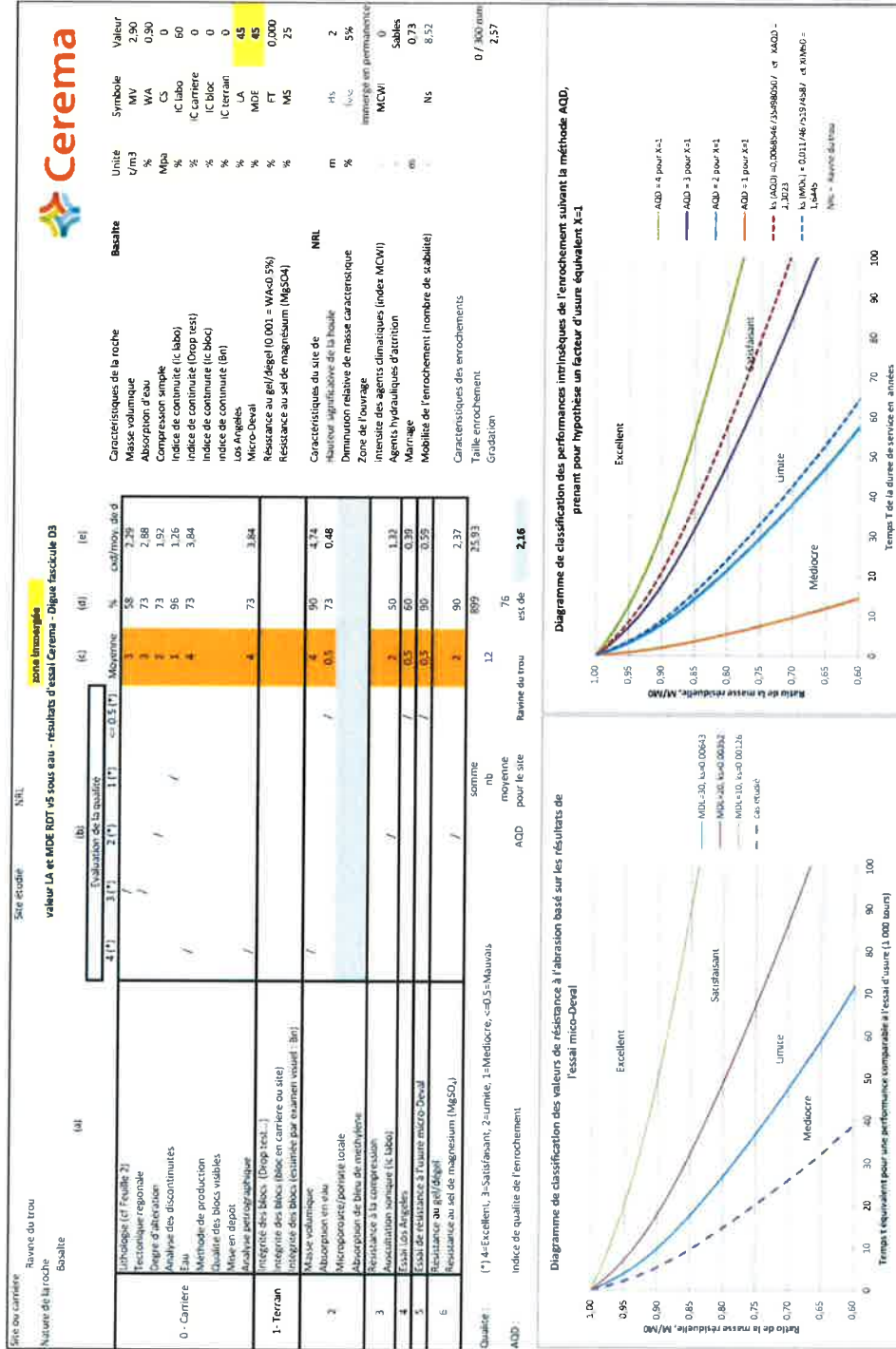
Site et/ou carrière	Rayon du trou	Nature de la roche	Basalte	évaluation de la qualité						Caractéristiques de la roche	Basilote	Unité	Symbol
				(a)	(b)	(c)	(d)	(e)	(f)				
0 - Carrière	Lithologie (cf Feuille 2)	/	/	3	58	2,19	Massé volumétrique	dm ³	MV	2,90			
	Fréquence régionale	/	/	3	73	2,75	Absorption d'eau	%	WA	0,90			
	Degré d'alvéolisation	/	/	2	73	1,84	Compresion simple	%	CS	80			
	Analyses des discontinuités	/	/	1	96	1,21	Indice de continuité (cf labo)	%	IC labo	0			
	Méthode de production	/	/	4	73	3,68	Indice de continuité (cf bleu)	%	IC carrière	0			
	Classeur des blocs visibles	/	/	4	73	3,68	Indice de continuité (cf bleu)	%	IC bleu	0			
Eau	/	/	4	73	3,68	Indice de continuité (cf bleu)	%	IC terrain	0				
Wise en dépôt	/	/	4	73	3,68	Indice de continuité (cf bleu)	%	MD	45				
Micro-Deval	/	/	4	73	3,68	Indice de continuité (cf bleu)	%	FT	0,000				
Analyste pétrographique	/	/	4	73	3,68	Indice de continuité (cf bleu)	%	MS	MS				
Intégrité des blocs (Dong test.)	/	/	4	73	3,68	Indice de continuité (cf bleu)	%						
Intégrité des blocs (testée par examen visual. Bn)	/	/	4	90	4,54	Caractéristiques du site de	NRI						
Massé volumétrique	/	/	4	90	4,54	Hauteur significative de la houle	m	HS	2				
Absorption en eau	/	/	4	90	4,54	Diminution relative de masse caractéristique	%	Irreversible en permanence	5%				
Microperforation ponctuelle totale	/	/	4	90	4,54	Zone de l'ouragan	%	MCW	0				
Absorption de bleu de méthylène	/	/	4	90	4,54	Intensité des agents climatiques (index MCW)		Sobriété	0				
Resistance à la compression:	/	/	4	90	4,54	Agents hydrauliques d'attrition			0,73				
Autoflouissement ponctuel (cf bleu)	/	/	4	90	4,54	Marchage	m		0,52				
Eau Los Angeles	/	/	4	90	4,54	Mobileté de l'enrochement (nombre de stabilité)			0 / 100 mm				
Resistance au sel de magnésium (MgSO ₄)	/	/	4	90	4,54	Caractéristiques des enrochements			2,57				
Indice de qualité de l'enrochement	/	/	4	90	4,54	Taille enrochement:							
Qualité:	1 (*) = Excellent, 3 = Satisfaisant, 2 = limite, 1 = Médiocre, <0 = Mauvais		nb moyenne pour le site	12	79	Excellent							
ADL:	Indice de qualité de l'enrochement		ADL moyenne pour le site	12	79								
	Qualité:	1 (*) = Excellent, 3 = Satisfaisant, 2 = limite, 1 = Médiocre, <0 = Mauvais		nb moyenne pour le site	12	79							
	ADL:	Indice de qualité de l'enrochement		ADL moyenne pour le site	12	79							

Diagramme de classification des performances intrinsèques de l'enrochement suivant la méthode ADL prenant pour hypothèse un facteur d'usure équivalent $\chi=1$

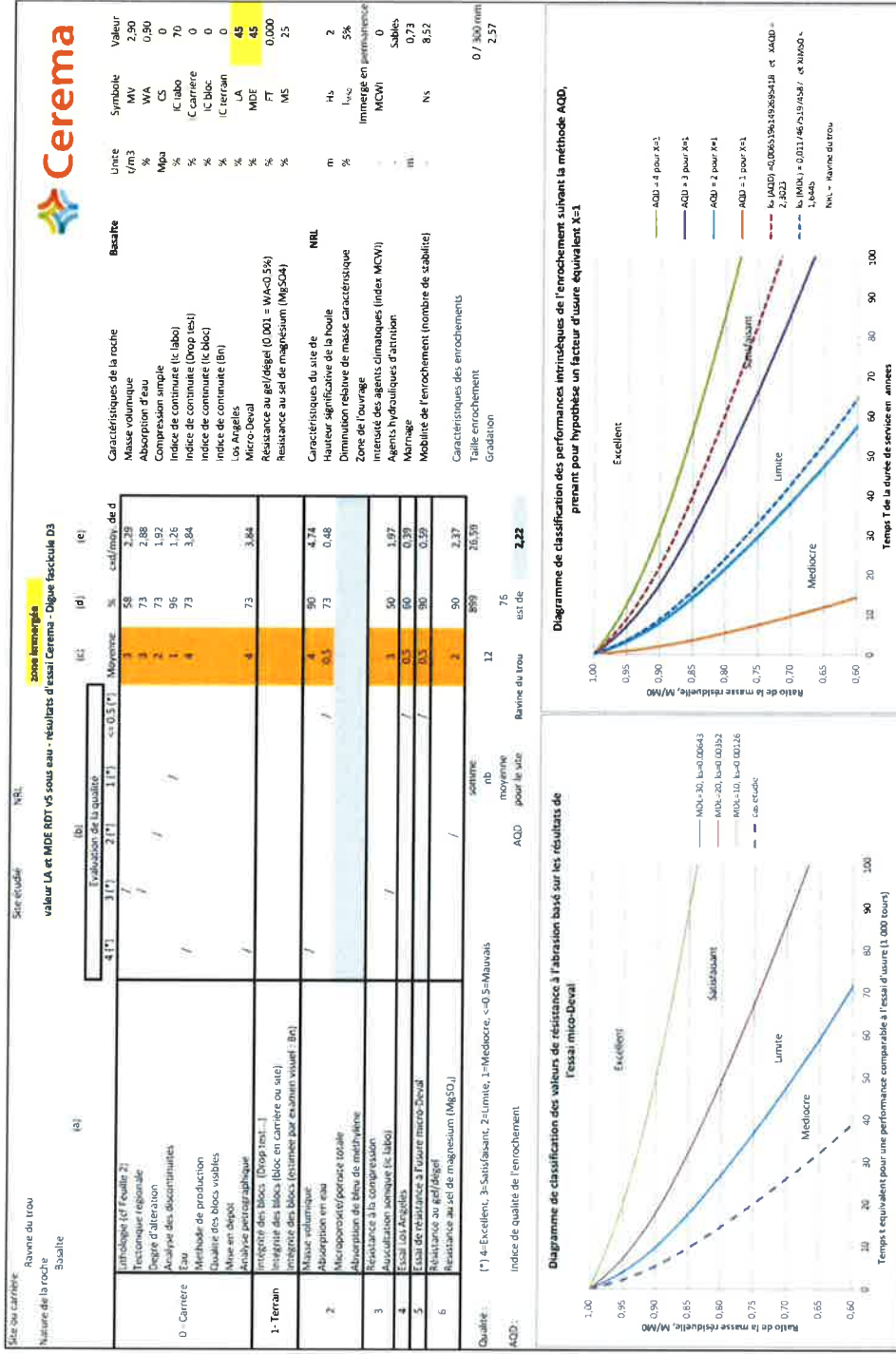
Diagramme de classification des valeurs de résistance à l'abrasion basé sur les résultats de l'essai micro-Deval

Annexe 7.5 CP 0/300 mm – F16 : modélisation pour le CP 0/300mm avec LA=45, MDE=45 et CS=80 MPa

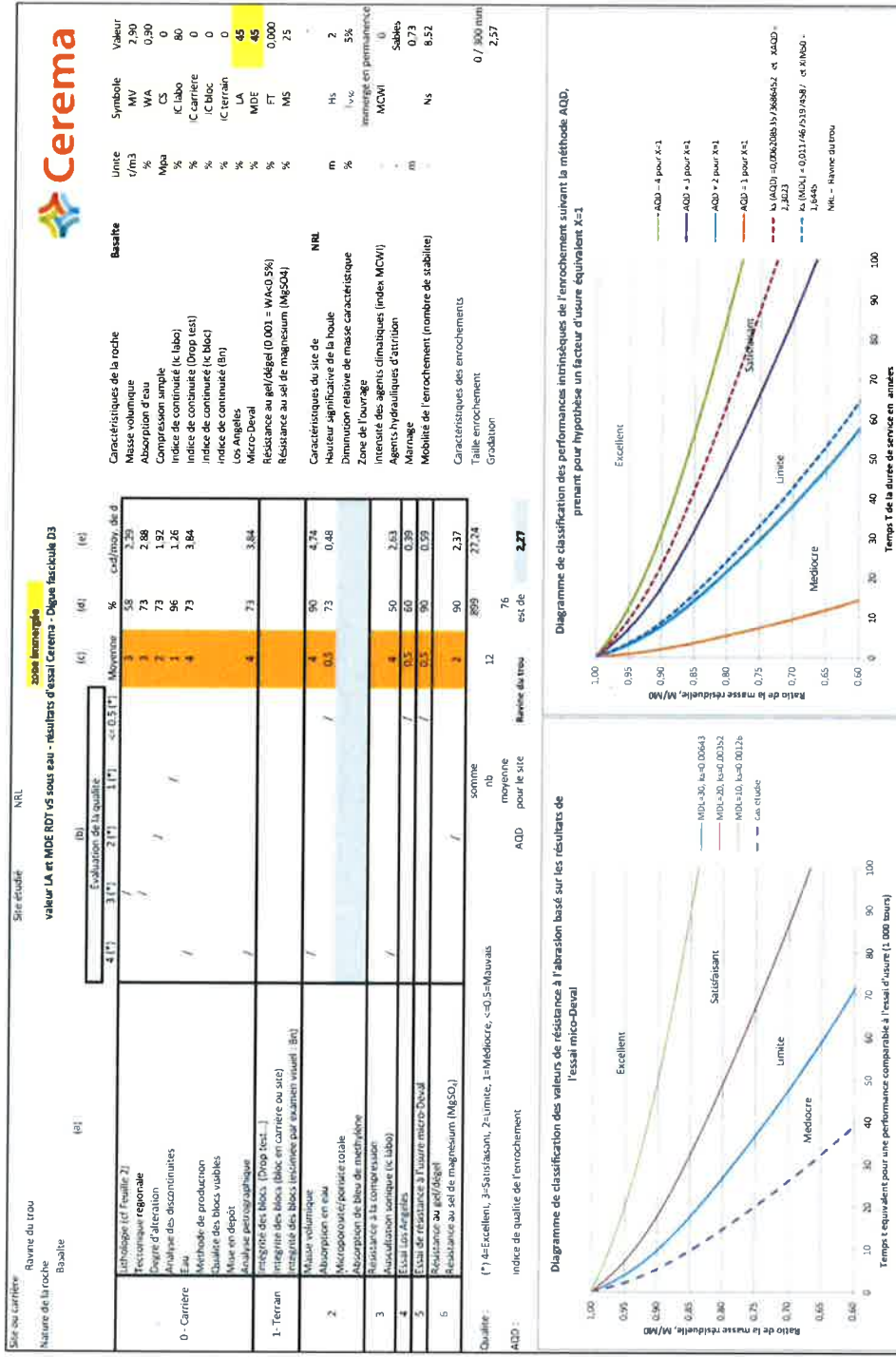
Annexe 7.6 CP 0/300 mm – F17 : modélisation pour le CP 0/300mm avec LA=45, MDE=45 et CS=120 MPa



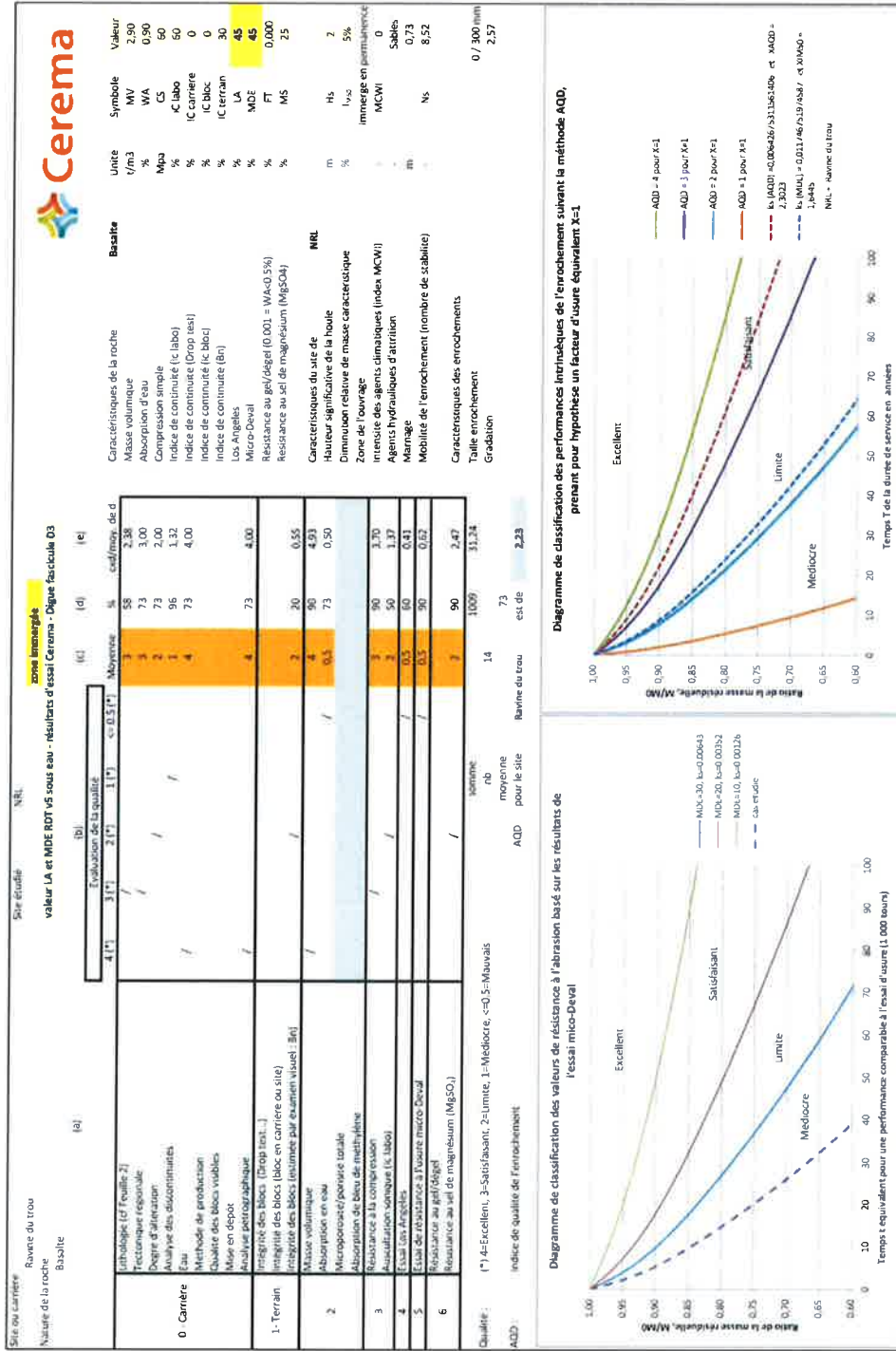
Annexe 7.7 CP 0/300 mm – F18 : modélisation pour le CP 0/300mm avec LA=45, MDE=45 et IC=60



Annexe 7.8 CP 0/300 mm – F19 : modélisation pour le CP 0/300mm avec LA=45, MDE=45 et Ic=70



Annexe 7.9 CP 0/300 mm – F20 : modélisation pour le CP 0/300mm avec $LA=45$, $MDE=45$ et $IC=80$



Annexe 7.10 CP 0/300 mm – F21 : modélisation pour le CP 0/300mm avec LA=45, MDE=45, BN=30, CS=60 MPa et IC=60

Site du carrière Ravine du trou Basalte

Nature de la roche

Site de l'essai

NRL

valeur LA et MDE RDT vs sous eau - résultats d'essai Cerema - Digue fascicule D3

zone immergée

(a) [4 (*)] Evaluation de la qualité

	(b) [4 (*)] Evaluation de la qualité	(c) [4 (*)] <= 0,1%*	(d) [4 (*)] Moyenne	(e)
1) Utilisation (cf Feuille 2)	/	/	/	Caractéristiques de la roche
2) Textuature régionale	/	/	/	Masse volumique
3) Degradation	/	/	/	Absorption d'eau
4) Analyse des discontinuités	/	/	/	Compression simple
Eau	/	/	/	Indice de continuité (IC labo)
5) Méthode de production	/	/	/	Indice de continuité (Drop test)
6) Qualité des blocs visibles	/	/	/	Indice de continuité (IC bloc)
Mauvais résultat	/	/	/	Indice de continuité (Sh)
7) Mauvais résultat	/	/	/	Los Angeles
8) Analyse historique	/	/	/	Micro-Deval
9) Intégrité des blocs (Drop test)	/	/	/	Résistance au gel/dégel (0.001 = WACD 5%)
10) Intégrité des blocs (box en carrière ou site)	/	/	/	Résistance au sel de magnésium (MsCo4)
11) Indication des blocs (estimation par examen visuel) [n°]	/	/	/	Caractéristiques du site de
Mauvais résultat	/	/	/	Hauteur significative de la houle
12) Absorption en eau	/	/	/	Diminution relative de masse caractéristique
13) Microprospection/pourcent totale	/	/	/	Zone de l'ouvrage
14) Absorption du bleu de méthylène	/	/	/	Intensité des agents climatiques (indice MCW)
15) Résistance à la compression	/	/	/	Agents hydrologiques d'attack
16) Auscultation sismique (s libao)	/	/	/	Marégraphe
17) Eau (Los Angeles)	/	/	/	Mobilité de l'enrochement (nombre de stabilité)
18) Eau de référence à l'essai micro-Deval	/	/	/	Caractéristiques des érosions
19) Résistance au gel/dégel	/	/	/	Taille érosionnement
20) Résistance au sel de magnésium (MsCo4)	/	/	/	Gradation
Qualité : (*) 4=Excellent, 3=Satisfaisant, 2=limite, 1=Médiocre, <0,5=Nauvais	AQD	nb moyenne pour le site	Ravine du trou	test de 244
AQD : indice de qualité de l'enrochement				

Qualité : (*) 4=Excellent, 3=Satisfaisant, 2=limite, 1=Médiocre, <0,5=Nauvais

AQD : indice de qualité de l'enrochement

Diagramme de classification des valeurs de résistance à l'abrasion basé sur les résultats de l'essai micro-Deval

Diagramme de classification des performances intrinsèques de l'enrochement suivant la méthode AQD, prenant pour hypothèse un facteur d'usure équivalent X=1

Diagramme de classification des performances intrinsèques de l'enrochement suivant la méthode AQD, prenant pour hypothèse un facteur d'usure équivalent X=1

Annexe 7.11 CP 0/300 mm – F22 : modélisation pour le CP 0/300mm avec LA=45, MDE=45, Bn=10, CS=120 MPa et IC=80

*Ce document ne peut être vendu. La reproduction totale du document est libre de droits.
En cas de reproduction partielle, l'accord préalable de l'auteur devra être demandé.
Référence : [REDACTED]*



Cerema Ouest

23 avenue de l'Amiral Chauvin – CS 20069 – 49136 Les Ponts de Cé cedex
Tel : 02 41 79 13 00 – Fax : 02 41 44 32 76 – mel : DLRCA.DTerOuest@cerema.fr



www.cerema.fr